

การศึกษาเชิงตัวเลขของการไหลของเลือดผ่านชุดลวดที่หลอดเลือดแยกสองส่วน
Numerical study of blood flow through stented bifurcation



นายบุญญฤทธิ์ รุ่งคำ รหัส 54360681
นายมนต์ชัย คงสุจิตร รหัส 54363453

ห้องทดลองชั้น ๓ ห้อง ๑๕๒	วันที่ ๓๐ ก.ย. ๒๕๕๘
เลขที่บัตร: ๑๖๐๑๔๕๖๑	ผู้ที่ออกบัตร: ผู้ช่วยศาสตราจารย์ ดร. นพ. น.ส. ๙๕
ออกให้ ๒๕๕๗	

2557

ปริญญาอนิพนธ์นี้เป็นส่วนหนึ่งของการศึกษาหลักสูตรปริญญาวิศวกรรมศาสตรบัณฑิต
สาขาวิชาวิศวกรรมเครื่องกล ภาควิชาวิศวกรรมเครื่องกล
คณะวิศวกรรมศาสตร์ มหาวิทยาลัยนเรศวร
ปีการศึกษา 2557



แบบเสนอโครงร่างปริญญาบัณฑิต

ชื่อหัวข้อโครงงาน

การศึกษาเชิงตัวเลขของการไฟล์ของเลือดผ่านขดลวดที่หลอด
เลือด阎哥สองชั้น

ผู้ดำเนินโครงงาน

นายบุญญฤทธิ์ ฉะคำ รหัสนิสิต 54360681
นายนายนันต์ชัย คงสุจิตร รหัสนิสิต 54363453

ที่ปรึกษาโครงงาน

ผศ.ดร.กุลยา กนกจารวิจิตร

ภาควิชา

วิศวกรรมเครื่องกล

ปีการศึกษา

2557

คณะวิศวกรรมศาสตร์ มหาวิทยาลัยเรศวร อนุมัติให้โครงงานนี้จัดทำเป็นส่วนหนึ่งของ
การศึกษาตามหลักสูตร วิศวกรรมศาสตรบัณฑิต สาขาวิศวกรรมเครื่องกล

คณะกรรมการสอบโครงงาน

ที่ปรึกษาโครงงาน

(ผศ.ดร.กุลยา กนกจารวิจิตร)

กรรมการ

(ผศ.ดร.อนันต์ชัย อัญญาก้ว)

กรรมการ

(ดร.ภานุ พุฒวงศ์)

ชื่อหัวข้อโครงการ การศึกษาเชิงตัวเลขของการไหลของเลือดผ่านขดลวดที่หลอดเลือดเยกสองรั้ง
 ผู้ดำเนินโครงการ นายบุญญฤทธิ์ ฐานคำ รหัส 54360681
 นายมนต์ชัย คงสุจิตร รหัส 54363453
 ที่ปรึกษาโครงการ ผู้ช่วยศาสตราจารย์ ดร. ภูริยา กนกจารวิจิตร
 ภาควิชา วิศวกรรมเครื่องกล
 ปีการศึกษา 2557

บทคัดย่อ

โครงการนี้มีวัตถุประสงค์เพื่อศึกษาแบบจำลองการไหลของเลือดผ่านขดลวดที่ใส่ภายในหลอดเลือดเยกสองรั้งโดยวิธีการจัดวางแบบ One-Stent Technique (OST) [1] ภายใต้สภาวะการไหลคงที่ และกำหนดให้ผนังหลอดเลือดมีความแข็งเกร็ง เพื่อเปรียบเทียบค่าความเค้นเนื้อนที่ผนังของหลอดเลือด และการไหลผ่านขดลวดที่ใส่ภายในหลอดเลือดเยกสองรั้งกับหลอดเลือดปกติ ด้วยระเบียบวิธีทางไฟฟ้าในตัวอย่าง โดยกำหนดให้เลือดเป็นของเหลว Non-Newtonian ที่ประพฤติตามแบบจำลองของ Carreau-Yasuda และการไหลเป็นแบบร้าบเรียบ หลอดเลือดเยกสองรั้งในที่นี้ประกอบไปด้วยหลอดเลือดหลักมีขนาดเส้นผ่านศูนย์กลาง 4 mm ยาว 90 mm และหลอดเลือดสาขามีขนาดเส้นผ่านศูนย์กลาง 2 mm ยาว 20 mm ทำมุมเอียงกับหลอดเลือดหลัก 45 องศา โดยที่ค่าของเลขเรียนลดตัว (Re_D) เท่ากับ 233 คิดที่ทางเข้าหลอดเลือดหลัก ซึ่งตรงกับจังหวะหายใจทั้งของหัวใจ และในโครงการนี้ทำการเปรียบเทียบค่าความเค้นเนื้อนที่ผนัง ของหลอดเลือดเยกสองรั้งที่ไม่ใส่ขดลวดและหลอดหลอดเยกสองรั้งที่ใส่ขดลวด ซึ่งแบ่งการศึกษาออกได้เป็น 3 กรณีคือ กรณีที่ 1 พิจารณาหลอดเลือดที่ไม่ได้ใส่ขดลวด กรณีที่ 2 พิจารณาหลอดเลือดที่ใส่ขดลวดที่มีจำนวนเซลล์ของขดลวดเท่ากันคือ 28 เซลล์ แต่มีความหนาต่างกัน ซึ่งได้แก่ 0.3, 0.4 และ 0.5 mm และ กรณีที่ 3 พิจารณาหลอดเลือดที่ใส่ขดลวดที่มีความหนา 0.4 mm แต่มีจำนวนเซลล์ของหลอดเลือดต่างกัน คือ 15, 28 และ 54 เซลล์ จากการศึกษาพบว่า กรณีที่ 1 ค่าความเค้นเนื้อนที่ผนังเฉลี่ยของหลอดเลือดปกติ มีค่าเท่ากับ 1.3 Pa กรณีที่ 2 ค่าความเค้นเนื้อนที่ผนังของขดลวดทั้ง 3 มีแนวโน้มไปในทิศทางเดียวกัน แต่ขดลวดที่มีความหนา 0.3 mm ให้ค่าไกล์เดียงกับค่าความเค้นเนื้อนที่ผนังของหลอดเลือดปกติมากที่สุด กล่าวคือความหนาของขดลวดส่งผลต่อค่าความเค้นเนื้อนที่ผนัง ยิ่งขดลวดมีความหนานามาก ๆ ทำให้มีพื้นที่ของผนังหลอดเลือดที่สัมผัสถกับการไหลน้อยลง ของไหลจึงมีพื้นที่ในการปรับตัวให้เข้าสู่สภาวะปกติน้อยลงไปด้วย และกรณีที่ 3 ค่าความเค้นเนื้อนที่ผนังของขดลวดทั้ง 3 มีแนวโน้มไปในทิศทางเดียวกัน แต่ขดลวดที่มีจำนวนเซลล์ 15 เซลล์ ให้ค่าไกล์เดียงกับค่าความเค้นเนื้อนที่ผนังของหลอดเลือดปกติมากที่สุด กล่าวคือขดลวดที่มีจำนวนเซลล์มาก ๆ จะมีร้อยละภายในขดลวดน้อยลง เป็นผลให้การไหลภายในเซลล์ปรับตัวไม่ทันเพื่อที่จะเข้าสู่สภาวะปกติ (0.5-1.5 Pa) และเกิด Flow Separation และ Back Flow ตลอดพื้นที่ที่สัมผัสถกับการไหลภายในเซลล์ของขดลวด

Project title	Numerical study of blood flow through stented bifurcation		
Name	Mr. Boonyarit Tuwakham	ID. 54360681	
	Mr. Monchai Kongsijarit	ID. 54363453	
Project advisor	Asst. Prof. Dr. Koonlaya Kanokjaruvijit		
Major	Mechanical Engineering		
Academic year	2014		

Abstract

This thesis is aimed to numerically study blood flow through a stented bifurcation by using One-Stent Technique (OST) [1] under assumptions of steady state flow condition and rigid blood vessel wall. Blood flow through both a regular bifurcation and a stented bifurcation were investigated in terms of wall shear stress (WSS) and flow fields by using the finite element method. The blood was assumed laminar and non-Newtonian, and behaved in accordance with Carreau-Yasuda model. The bifurcation consisted of a main artery of 4 mm diameter and 90 mm long connected with 45 degrees to a branch artery of 20 mm diameter. Reynolds number of 233 based on the main artery diameter was fixed throughout the study, and was equivalent to the diastole. The stent strut thicknesses of 0.3, 0.4 and 0.5 mm with fixed 28 stent cells were examined. The influence of number of stent cells was also investigated by using 15, 28 and 54 cells with the fixed strut thickness of 0.4 mm. The average wall shear stress of the regular bifurcation was 1.3 Pa, which is in the normal range of 0.5-1.5 Pa. The wall shear stress for the three stent thicknesses showed similar trend and that of 0.3 mm gave the values close to the normal range. Thus, the thicker stent struts led to less wall shear stress due to the fact that the thicker struts covered larger blood vessel area; hence, the wetted area was less, and then the flow had less area to adjust itself to the normal condition. Finally, the wall shear stress values of all three stent cell numbers showed similar trend. However, the stent of 15 cells presented similar wall shear stress values to those of the regular bifurcation. This is because it allowed more wetted area between struts whereas that of 54 cells covered larger wetted area, thus the flow inside the wetted area was unable to adjust itself to normal condition as shown in the presence of flow separation and back flow throughout the wetted area.

กิจกรรมประกาศ

ผู้ดำเนินโครงการขอขอบคุณผู้ช่วยศาสตราจารย์ ดร. กุลยา กนกจาภูวิจิตร อาจารย์ปรีกษา โครงการ ซึ่งได้ใส่ใจในรายละเอียดทุกขั้นตอนของการดำเนินโครงการ โดยให้คำปรึกษาและคำแนะนำ การพัฒนาการปรับปรุงกระทั้งโครงการสำเร็จลุล่วง ตลอดจนสอนหลักการเขียนปริญญาอิพนธ์พร้อม ทั้งตรวจทานแก้ไขอย่างละเอียดจนได้ปริญญาอิพนธ์เป็นรูปเล่มสมบูรณ์

และขอขอบคุณรองศาสตราจารย์ ดร. มานี สงวนเสริมครี ผู้ช่วยศาสตราจารย์ ดร.อนันต์ชัย อุย়েแก้ว และ ดร.ภาณุ พุทธวงศ์ ที่เสียสละเวลามาเป็นกรรมการโครงการนี้

รวมทั้งขอขอบคุณรัฐบาลไทยที่จัดตั้งกองทุนเงินให้กู้ยืมเพื่อการศึกษา (กยศ.) ซึ่งสนับสนุน ด้านทุนทรัพย์แก่นายมนต์ชัย คงสุจริตตลอดระยะเวลาการศึกษาในระดับปริญญาตรี

ในท้ายที่สุดนี้ เหนือสิ่งอื่นใด ผู้ดำเนินโครงการขอกราบขอบพระคุณビ达และมารดา ซึ่งให้ การสนับสนุนในทุกด้านเกี่ยวกับการศึกษาของผู้ดำเนินโครงการ รวมทั้งมอบความรัก ความเมตตา และค่อยเป็นกำลังใจให้จนประสบความสำเร็จในวันนี้

นายบุญญฤทธิ์

นายมนต์ชัย

ชุวะคำ

คงสุจริต

สารบัญ

	หน้า
ใบรับรองโครงการ	ก
บทคัดย่อ	ข
Abstract	ค
กิตติกรรมประกาศ	ง
สารบัญ	จ
สารบัญตาราง	ฉ
สารบัญรูป	ช
 บทที่ 1 บทนำ	 1
1.1 ที่มาและความสำคัญของโครงการ	1
1.2 วัตถุประสงค์ของโครงการ	2
1.3 ขอบเขตของโครงการ	2
1.4 ผลที่คาดว่าจะได้รับ	3
1.5 ระยะเวลาในการดำเนินโครงการ	4
1.6 วิธีดำเนินงานโครงการ	5
1.7 งบประมาณ	9
 บทที่ 2 หลักการและทฤษฎี	 10
2.1 ทฤษฎีที่เกี่ยวข้อง	10
2.2 ทฤษฎีการไหลชนิดขบวน (Boundary Layer Theory)	12
2.3 วรรณกรรมปริทัศน์	13

สารบัญ (ต่อ)

	หน้า
บทที่ 3 การจำลองแบบชุดลวดในหลอดเลือดเยกสองจ่าม	20
3.1 การเขียนแบบหลอดเลือดเยกสองจ่ามปกติ	20
3.2 การเขียนแบบจำลองหลอดเลือดเยกสองจ่ามที่ได้รับการตัดลวด	28
บทที่ 4 วิธีการคำนวณ	39
4.1 โดเมนการคำนวณ (Computational Domain)	39
4.2 สมการควบคุม (Governing Equation)	43
4.3 เงื่อนไขขอบเขต (Boundary Condition)	44
4.4 Data Reduction	45
4.5 การนำไฟล์เขียนแบบเข้าโปรแกรม COMSOL	46
4.6 การสร้างและการตรวจสอบผลกระทบของความหนาแน่นของเม็ด	47
บทที่ 5 ผลการคำนวณและอภิปรายผล	55
5.1 หลอดเลือดที่ได้รับการตัดลวด	55
5.2 ผลกระทบของความหนาของชุดลวด	58
5.3 ผลกระทบของความหนาแน่นของจำนวนเซลล์	72
บทที่ 6 สูปผลการคำนวณ	84
เอกสารอ้างอิง	86
ภาคผนวก	87
ภาคผนวก ก การ Import file การสร้างเม็ดและการคำนวณในโปรแกรม COMSOL	88
ประวัติผู้ดำเนินโครงการ	95

สารบัญตาราง

	หน้า
ตารางที่ 1.1 ขั้นตอนการดำเนินงาน	4
ตารางที่ 4.1 แบบจำลองที่ใช้ในการเปรียบเทียบผลของความหนาแน่นของเมช	49
ตารางที่ 4.2 เปอร์เซ็นต์ความแตกต่างของค่าความเค้นเฉือนที่ผนัง หน้าตัด 2-2'	51
ตารางที่ 4.3 เปอร์เซ็นต์ความแตกต่างของค่าความเค้นเฉือนที่ผนัง หน้าตัด 3-3'	52
ตารางที่ 4.4 เปอร์เซ็นต์ความแตกต่างของค่าความเค้นเฉือนที่ผนัง หน้าตัด 4-4'	54



สารบัญรูป

	หน้า
รูปที่ 1.1 One-Stent Technique (OST)	3
รูปที่ 1.2 แบบจำลองหลอดเลือดเยกสองชั้นและคลาวด	5
รูปที่ 1.3 รูปทรง tetrahedral	6
รูปที่ 1.4 ผังวิธีการดำเนินงานโครงงาน	8
รูปที่ 2.1 ผลของการเปลี่ยนแปลงความดันที่มีต่อลักษณะชั้นของเบตการ์ไฟล	13
รูปที่ 2.2 แบบจำลองของหลอดเลือด Carotid ในงานของ Gijsen และคณะ	14
รูปที่ 2.3 การกระจายความเร็วในหลอดเลือด Internal Carotid Artery	14
รูปที่ 2.4 แบบจำลองของหัวใจและภาระการกระจายความเร็วในหัวใจ	16
รูปที่ 2.5 คลาวด	17
รูปที่ 2.6 การแสดงตัวของคลาวดบนแผ่นเรียบ	18
รูปที่ 2.7 แสดงพื้นที่ในการไฟลภายในของคลาวด	19
รูปที่ 3.1 สรุปแนวคิดในการเขียนแบบหลอดเลือดเยกสองชั้นปกติ	21
รูปที่ 3.2 การเรียกใช้โปรแกรมการเขียนแบบหลอดเลือดเยกแบบ 3 มิติ	22
รูปที่ 3.3 การสร้างรูปแบบและเส้นอ้างอิงของหลอดเลือดหลัก	22
รูปที่ 3.4 การสร้างรูปแบบหลอดเลือดที่ขาด	23
รูปที่ 3.5 แบบร่างหลอดเลือดหลัก	23
รูปที่ 3.6 เส้นศูนย์กลางของหลอดเลือดหลัก	24
รูปที่ 3.7 การสร้างเส้นศูนย์กลางเพื่อใช้อ้างอิงในการสร้างหลอดเลือดสาขา	25
รูปที่ 3.8 การสร้างเส้นศูนย์กลางใช้อ้างอิงในการสร้างหลอดเลือดสาขา	25

สารบัญรูป (ต่อ)

	หน้า
รูปที่ 3.9 การสร้างระนาบอ้างอิงใหม่ใช้อ้างอิงในการสร้างหลอดเลือดสาขา	26
รูปที่ 3.10 การสร้างหลอดเลือดสาขาเชื่อมกับหลอดเลือดหลัก	27
รูปที่ 3.11 การเพิ่มความยาวของหลอดเลือดหลัก	27
รูปที่ 3.12 แบบจำลองหลอดเลือดสองชั้นที่ใส่ขาด漉ที่ความหนา 0.5 mm	28
และจำนวน 28 เชลล์	
รูปที่ 3.13 สรุปแนวคิดในการเขียนแบบหลอดเลือดสองชั้นที่ใส่ขาด漉ท	29
รูปที่ 3.14 การสร้างระนาบอ้างอิงในการร่างขนาดของขาด漉ท	30
รูปที่ 3.15 การร่างขนาดของขาด漉ท 1 เชลล์	30
รูปที่ 3.16 การเจาะผิวหลอดเลือดหลัก โดยแบบร่างขาด漉ทรูปที่ 3.15	31
รูปที่ 3.17 การสร้างเซลล์ของขาด漉ทฝังรอบล้อมหลอดเลือดหลัก	31
รูปที่ 3.18 การสร้างแฉกของเซลล์ของขาด漉ทตามแนวเส้นศูนย์กลางของหลอดเลือดหลัก	32
รูปที่ 3.19 การเพิ่มความยาวหลอดเลือดหลัก	32
รูปที่ 3.20 การสร้างรอยเชื่อมระหว่างขาด漉ท	33
รูปที่ 3.21 การสร้างรอยเชื่อมระหว่างเซลล์ของขาด漉ทตามแนวแกนของหลอดเลือดหลัก	33
รูปที่ 3.22 การสร้างรอยเชื่อมตามแนวหลอดเลือดหลัก	34
รูปที่ 3.23 การสร้างรอยเชื่อมล้อมรอบหลอดเลือดหลัก	34
รูปที่ 3.24 การสร้างเส้นศูนย์กลางเพื่อใช้สร้างระนาบอ้างอิง	35
รูปที่ 3.25 การสร้างระนาบอ้างอิงที่กึ่งกลางหลอดเลือด	35
รูปที่ 3.26 การสร้างระนาบให้อยู่ใกล้ผิวส่วนโคงของหลอดเลือด	36
รูปที่ 3.27 การสร้างรอยเชื่อมหัวและท้ายขาด漉ท	36

สารบัญรูป (ต่อ)

	หน้า
รูปที่ 3.28 การเจาะเพื่อให้ขาด漉ดเชื่อมกัน	37
รูปที่ 3.29 การสร้างรอยเชื่อมล้อมรอบหลอดเลือดหลัก	37
รูปที่ 3.30 การสร้างรอยเชื่อมหัวและท้ายของหลอดเลือดหลัก	38
รูปที่ 3.31 การสร้างหลอดเลือดสาขา	38
รูปที่ 4.1 โดยการคำนวณสำหรับหลอดเลือดปกติ	39
รูปที่ 4.2 โดยการคำนวณสำหรับหลอดเลือดที่ใส่ขดลวดความหนา 0.3 mm 28 เซลล์	40
รูปที่ 4.3 โดยการคำนวณสำหรับหลอดเลือดที่ใส่ขดลวดความหนา 0.4 mm 28 เซลล์	40
รูปที่ 4.4 โดยการคำนวณสำหรับหลอดเลือดที่ใส่ขดลวดความหนา 0.5 mm 28 เซลล์	41
รูปที่ 4.5 โดยการคำนวณสำหรับหลอดเลือดที่ใส่ขดลวดความหนา 0.4 mm จำนวนเซลล์ 15 เซลล์	41
รูปที่ 4.6 โดยการคำนวณสำหรับหลอดเลือดที่ใส่ขดลวดความหนา 0.4 mm จำนวนเซลล์ 28 เซลล์	42
รูปที่ 4.7 โดยการคำนวณสำหรับหลอดเลือดที่ใส่ขดลวดความหนา 0.4 mm จำนวนเซลล์ 54 เซลล์	42
รูปที่ 4.8 ผังความคิดแสดงขั้นตอนการคำนวณความเค้นเฉือนที่ผนัง	45
รูปที่ 4.9 การเลือก Model Navigator	46
รูปที่ 4.10 การ Import File เข้าสู่โปรแกรม COMSOL	47
รูปที่ 4.11 รูปทรง tetrahedral	47
รูปที่ 4.12 การสร้างเมชในโดเมนการคำนวณ	48
รูปที่ 4.13 หน้าตัดของหลอดเลือดที่นำมาคำนวณ	48
รูปที่ 4.14 การกระจายของค่าความเค้นเฉือนที่ผนัง ตามผนังหลอดเลือดหลัก ที่หน้าตัด 1-1'	50

สารบัญรูป (ต่อ)

	หน้า
รูปที่ 4.15 การเรียงตัวของเมซจากอัลกอริทึม	50
รูปที่ 4.16 การกระจายของค่าความเค้นเฉือนที่ผนัง ตามผนังหลอดเลือดหัก ที่หน้าตัด 2-2'	51
รูปที่ 4.17 การกระจายของค่าความเค้นเฉือนที่ผนัง ตามผนังหลอดเลือดหัก ที่หน้าตัด 3-3'	52
รูปที่ 4.18 การกระจายของค่าความเค้นเฉือนที่ผนัง ตามผนังหลอดเลือดหัก ที่หน้าตัด 4-4'	53
รูปที่ 4.18 การกระจายของค่าความเค้นเฉือนที่ผนัง ตามผนังหลอดเลือดหัก ที่หน้าตัด 5-5'	53
รูปที่ 5.1 ตำแหน่งของข้อมูลของค่าความเค้นเฉือนที่ผนัง เพื่อเปรียบเทียบผลของค่าความเค้นเฉือนที่ผนัง	56
รูปที่ 5.2 ค่าความเค้นเฉือนที่ผนังของหลอดเลือดปกติที่ตำแหน่งดังแสดงในรูป 5.1	56
รูปที่ 5.3 ตำแหน่งของข้อมูลของค่าความเค้นเฉือนที่ผนังที่ทางแยกของหลอดเลือด	57
รูปที่ 5.4 ค่าความเค้นเฉือนที่ผนังของหลอดเลือดปกติที่ตำแหน่งดังแสดงในรูป 5.3	57
รูปที่ 5.5 การกระจายความเร็วภายในหลอดเลือดสาขา	58
รูปที่ 5.8 ตำแหน่งของข้อมูลของค่าความเค้นเฉือนที่ผนังของหลอดเลือดที่ใส่คลาด โดยผ่านคลาดและรอยเชื่อมของคลาด (a-a')	58
รูปที่ 5.9 ตำแหน่งของข้อมูลค่าความเค้นเฉือนที่ผนังของหลอดเลือดที่ใส่คลาด โดยผ่านรอยเชื่อมที่ทางเข้า บริเวณที่ไม่มีคลาด บริเวณที่เส้นคลาดใกล้กันและผ่านบริเวณรอยเชื่อมที่ทางออก (b-b')	59
รูปที่ 5.10 ตำแหน่งของข้อมูลของค่าความเค้นเฉือนที่ผนังของหลอดเลือดที่ใส่คลาด โดยผ่านบริเวณคลาด รอยเชื่อมของคลาดและผ่านบริเวณทางแยกของหลอดเลือดสาขา (c-c')	59
รูปที่ 5.11 ค่าความเค้นเฉือนที่ผนังของหลอดเลือดที่ใส่คลาด ที่ตำแหน่งเส้น a-a'	60

สารบัญรูป (ต่อ)

	หน้า
รูปที่ 5.12 โปรไฟล์ความเร็วภายในหลอดเลือดที่ใส่ชุด漉ความหนาต่าง ๆ	61
ตามเส้น a-a' เปรียบเทียบกับหลอดเลือดปกติ	
รูปที่ 5.13 ค่าความเค้นเสื่อมที่ผนังของหลอดเลือดที่ใส่ชุด漉 ที่ทำแทนงเส้น b-b'	63
รูปที่ 5.14 โปรไฟล์ความเร็วภายในหลอดเลือดที่ใส่ชุด漉ความหนาต่าง ๆ	64
ตามเส้น b-b' โดยที่ผ่านรอยเชื่อมของชุด漉	
รูปที่ 5.15 โปรไฟล์ความเร็วภายในหลอดเลือดที่ใส่ชุด漉ความหนาต่าง ๆ	65
ตามเส้น b-b' โดยที่ผ่านบริเวณที่ไม่มีชุด漉	
รูปที่ 5.16 โปรไฟล์ความเร็วภายในหลอดเลือดที่ใส่ชุด漉ความหนาต่าง ๆ	66
ตามเส้น b-b' โดยที่ผ่านบริเวณเส้นชุด漉ใกล้กัน	
รูปที่ 5.17 โปรไฟล์ความเร็วภายในหลอดเลือดที่ใส่ชุด漉ความหนาต่าง ๆ	67
ตามเส้น b-b' โดยที่ผ่านบริเวณใกล้กับทางแยกของหลอดเลือดสาขา	
รูปที่ 5.18 ค่าความเค้นเสื่อมที่ผนังของหลอดเลือดที่ใส่ชุด漉 ที่ทำแทนงเส้น c-c'	69
รูปที่ 5.19 โปรไฟล์ความเร็วภายในหลอดเลือดที่ใส่ชุด漉ความหนาต่าง ๆ ตามเส้น c-c'	70
รูปที่ 5.20 โปรไฟล์ความเร็วภายในหลอดเลือดสาขาของหลอดเลือดที่ใส่ชุด漉	70
รูปที่ 5.21 ทำแทนงข้อมูลของค่าความเค้นเสื่อมที่ผนังของหลอดเลือดที่ใส่ชุด漉โดยผ่านชุด漉และรอยเชื่อมของชุด漉 (d-d')	72
รูปที่ 5.22 ทำแทนงข้อมูลของค่าความเค้นเสื่อมที่ผนังของหลอดเลือดที่ใส่ชุด漉โดยรอยเชื่อมทางเข้า-ออก และผ่านบริเวณที่ไม่มีชุด漉 (e-e')	73
รูปที่ 5.23 ค่าความเค้นเสื่อมที่ผนังของหลอดเลือดที่ใส่ชุด漉 ที่จำนวนเซลล์ต่าง ๆ ผ่านเส้น d-d'	74
รูปที่ 5.24 โปรไฟล์ความเร็วภายในหลอดเลือดที่ใส่ชุด漉ที่จำนวนเซลล์ของชุด漉ต่างกันตามเส้น d-d' เปรียบเทียบกับหลอดเลือดปกติ	75

สารบัญรูป (ต่อ)

	หน้า
รูปที่ 5.25 ค่าความเค้นเฉือนที่ผนังของหลอดเลือดที่ใส่ชุดลวด ที่จำนวนเซลล์ต่าง ๆ ที่ตำแหน่ง e-e'	76
รูปที่ 5.26 ไฟฟ์ความเร็วภายในหลอดเลือดที่จำนวนเซลล์ต่าง ๆ ตามเส้น e-e' โดยที่ผ่านรอยเชื่อมของชุดลวด	77
รูปที่ 5.27 ไฟฟ์ความเร็วภายในหลอดเลือดที่จำนวนเซลล์ต่าง ๆ ตามเส้น e-e' โดยที่ผ่านบริเวณที่ไม่มีชุดลวด	78
รูปที่ 5.28 ไฟฟ์ความเร็วภายในหลอดเลือดที่จำนวนเซลล์ต่าง ๆ ตามเส้น e-e' โดยที่ผ่านบริเวณเส้นชุดลวดใกล้กัน	79
รูปที่ 5.29 ตำแหน่งข้อมูลความเค้นเฉือนที่ผนังที่ทางแยกของหลอดเลือดที่ใส่ชุดลวด	80
รูปที่ 5.30 ค่าความเค้นเฉือนที่ผนังของหลอดเลือดสาขา ที่หน้าตัด 8-8'	81
รูปที่ 5.31 ค่าความเค้นเฉือนที่ผนังของหลอดเลือดสาขา ที่หน้าตัด 9-9'	81
รูปที่ 5.32 ไฟฟ์ความเร็วภายในหลอดเลือดสาขาของหลอดเลือดที่ใส่ชุดลวด	82
รูปที่ 5.33 การวางแผนตัวของชุดลวดก่อนทางเข้าหลอดเลือดสาขาที่จำนวนเซลล์ต่าง ๆ	82
รูปที่ ก.1 การเข้าโปรแกรม COMSOL	89
รูปที่ ก.2 การ Import file เข้า COMSOL	89
รูปที่ ก.3 การแสดงแบบจำลองที่ Import file เข้า COMSOL	90
รูปที่ ก.4 แบบจำลองที่มีการสร้างmesh	90
รูปที่ ก.5 วิธีคำนวณข้อมูลใน COMSOL	91
รูปที่ ก.6 วิธีคำนวณข้อมูลใน COMSOL เมื่อใส่ค่า	91
รูปที่ ก.7 หน้าต่างการกำหนดพื้นผิวของแบบจำลอง	92
รูปที่ ก.8 ตำแหน่งใดๆ ของผนังหลอดเลือด	92

สารบัญรูป (ต่อ)

	หน้า
รูปที่ ก.9 ตำแหน่งทางออกของหลอดเลือดหลัก	93
รูปที่ ก.10 หน้าต่างแสดงความคืบหน้าของการคำนวณ	93
รูปที่ ก.11 ผลการคำนวณแบบจำลองของโปรแกรม COMSOL	94



บทที่ 1 บทนำ

1.1 ที่มาและความสำคัญของโครงการ

ปัจจุบันโรคหัวใจขาดเลือดหรือโรคหลอดเลือดแดงโคโรนารีที่ไปเลี้ยงหัวใจตับ เป็นโรคหัวใจที่พบได้บ่อยและเป็นสาเหตุการเสียชีวิตที่สำคัญของผู้ป่วยโรคหัวใจ ผู้ป่วยมักจะมีอาการแน่นหน้าอก หรือเหนื่อยง่ายเวลาออกกำลังกายและในบางรายก็มีอาการเจ็บเสียบพลันเกิดหัวใจวายได้ ซึ่งวิธีการรักษาโรคนี้ในปัจจุบันมีอยู่หลายวิธีด้วยกัน ขึ้นอยู่กับความรุนแรงของหลอดเลือดที่มีไขมันอุดตัน โดยที่พิจารณาตามระดับการตีบของหลอดเลือดคือหลอดเลือดที่มีการตีบไม่เกิน 70% [2] ของหลอดเลือดจะทำการรักษาโดยการใช้ยา.rักษา และหลอดเลือดที่มีการตีบมากกว่า 70% ต้องใช้วิธีการบล็อกน้ำยาหลอดเลือดหัวใจรวมถึงการใส่ชุดลวดในหลอดเลือดหัวใจ แต่ในบางกรณีไม่สามารถทำการรักษาได้โดยวิธีข้างต้นจึงใช้การผ่าตัดหลอดเลือดดำที่ขาหรือหลอดเลือดแดงบางส่วนมาตัดต่อ กับหลอดเลือดที่อุดตันทำทางเดินของเลือดใหม่ ใน การศึกษาครั้งนี้เราได้ทำการศึกษาการให้หลอดเลือดผ่านชุดลวดที่หลอดเลือดแยกสองช่วง ซึ่งเป็นวิธีการรักษาที่นิยมในปัจจุบัน เนื่องจากใช้เวลาในการรักษา 0.5-1.5 ชั่วโมงขึ้นอยู่กับตำแหน่งการตีบของหลอดเลือด และระยะเวลาพักฟื้นภายในโรงพยาบาล ก็สั้นมาก ผู้ป่วยส่วนมากจะกลับบ้านได้ภายใน 1-2 วัน และกลับไปทำงานได้กิจกรรมหรืองานต่างๆได้ตามปกติภายใน 1 สัปดาห์ ซึ่งเมื่อเปรียบเทียบกับการผ่าตัดแล้วผู้ป่วยจะต้องอยู่โรงพยาบาล 1-2 สัปดาห์ และกลับไปทำงานได้ตามปกติภายใน 3-4 สัปดาห์ การรักษาโดยการใส่ชุดลวดในหลอดเลือดหัวใจมีอยู่หลายวิธี ดังนั้นเรานำใจวิธีการจัดวางแบบ One-Stent Technique (OST) ในกรณีเกิดการอุดตันของหลอดเลือด ซึ่งเป็นวิธีที่ดีที่สุดและปลอดภัยที่สุด[3] เพื่อศึกษาและเปรียบเทียบ พฤติกรรมการให้หลอดเลือดกับหลอดเลือดปกติ

1.2 วัตถุประสงค์ของโครงการ

1.2.1 เขียนแบบชุด漉ดสวนหัวใจที่ใส่ไว้ในหลอดเลือดแยกสองชั้น ณ บริเวณที่เกิดการอุดตัน

1.2.2 ศึกษาแบบจำลองการไหลของเหลวแบบ non-Newtonian ผ่านชุด漉ดที่ใส่ภายในหลอดเลือดแยกสองชั้นโดยวิธีการจัดวางแบบ One-Stent Technique (OST) [1] ด้วยระเบียบวิธีทางไฟฟ้าเตอร์โอลิเมเนต์

1.2.3 เปรียบเทียบความเค้นเฉือนที่ผนัง และการไหลผ่านชุด漉ดที่ใส่ภายในหลอดเลือดแยกสองชั้นกับหลอดเลือดปกติ

1.3 ขอบเขตของโครงการ

1.3.1 การไหลใน 3 มิติ

1.3.2 เลือดมีสภาวะการไหลแบบคงที่ (Steady State)

1.3.3 การไหลของเลือดเป็นแบบราบเรียบ (Laminar Flow)

1.3.4 ผนังหลอดเลือดแข็งเกร็ง (Rigid wall)

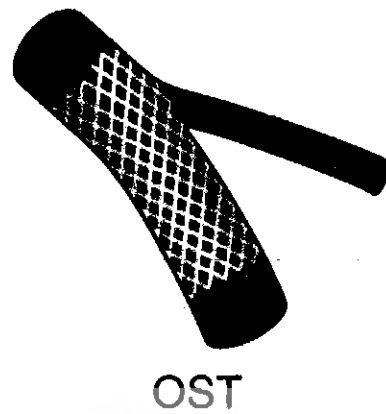
1.3.5 เลือดเป็นของไหล Non-Newtonian ที่ประพฤติตามแบบจำลองของ Carreau-Yasuda

1.3.6 ชุด漉ดที่ใส่ในหลอดเลือดแยกสองชั้นเป็นไปตามเทคนิค One-Stent Technique (OST) ดังรูปที่ 1.1

1.3.7 ความหนาแน่นของเลือด = 1050 kg/m^3

1.3.8 ชุด漉ดที่ทำการทดสอบมีความหนา 0.3, 0.4 และ 0.5 mm และมีความสูงคงที่ที่ 0.4 mm

1.3.9 จำนวนเซลล์ภายในชุด漉ดเป็นรูปทรงสี่เหลี่ยมขนมเปียกปูนที่ทำการทดสอบ ได้แก่ 15, 28 และ 54 เซลล์



รูปที่ 1.1 One-Stent Technique (OST) [1]

1.4 ผลที่คาดว่าจะได้รับ

1.4.1 แบบจำลอง 3 มิติ ของชด漉ดที่วางในหลอดเลือดแบบ One-Stent Technique และวิธีการเขียนแบบ

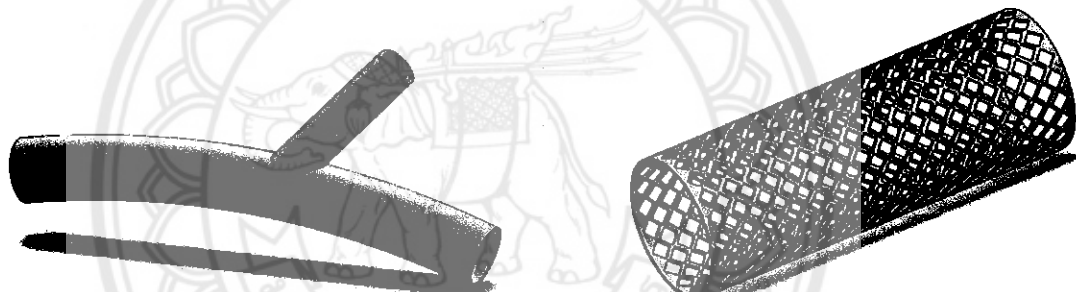
1.4.2 ข้อมูลพื้นฐานเกี่ยวกับการให้ผลผ่านชด漉ด เช่น รูปแบบของการกระจายความเร็ว และการกระจายความเค้นเฉือนที่ผ่านหลอดเลือด สำหรับชด漉ดรูปทรงสี่เหลี่ยมขนมเปียกปูนที่มีความหนาชด漉ด และความหนาแน่นของเซลล์ภายในชด漉ดค่าต่าง ๆ

1.5 ระยะเวลาในการดำเนินโครงการ

ตารางที่ 1.1 ขั้นตอนการดำเนินงาน

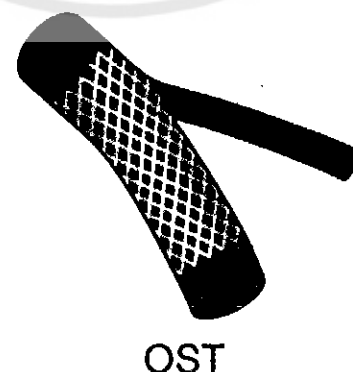
1.6 วิธีการดำเนินงานโครงการ

- 1.6.1 ศึกษาวรรณกรรมปรัชญาที่เกี่ยวกับการไหลของเลือดผ่านชด漉วด
 - 1.6.2 เขียนแบบหลอดเลือดแยกสองจ่ำน 3 มิติ ทั้งแบบหลอดเลือดปกติและหลอดเลือดที่ใส่ชด漉ดแบบ One-Stent Technique (OST) ดังแสดงในรูปที่ 1.2
- รูปที่ 1.2 (a) เป็นการสร้างหลอดเลือดปกติ เริ่มจากการสร้างเส้นต้องหลักของหลอดเลือดหลัก จากนั้นกำหนดเส้นผ่านศูนย์กลาง 4 mm และหลอดเลือดสาขาอยู่มีเส้นผ่านศูนย์กลาง 2.5 mm โดยหลอดเลือดสาขาอย่างทำมุนเอียงกับหลอดเลือดหลัก 45°
 - รูปที่ 1.2 (b) เป็นการสร้างแบบจำลองของชด漉ดเพื่อที่จะนำไปประยุกต์เข้ากับหลอดเลือดปกติ เพื่อให้ได้แบบจำลองของหลอดเลือดที่ใส่ชด漉ดดังรูปที่ 1.2 (c)



(a) หลอดเลือดปกติ

(b) ชด漉ด (Stent)



(c) หลอดเลือดที่ใส่ชด漉ดแบบ One-Stent Technique [1]

รูปที่ 1.2 แบบจำลองหลอดเลือดแยกสองจ่ำนและชด漉ด

1.6.3 Import File เขียนแบบของจำลองหลอดเลือดเยกสองจัมที่ได้รับจากเข้าโปรแกรม COMSOL โดยบันทึกข้อมูลในรูปแบบของ File STEP AP203

1.6.4 กำหนดความเร็วที่ทางเข้าของหลอดเลือดหลักโดยใช้ $Re=233$ ซึ่งตรงกับจังหวะภายในหัวใจ (Diastole) [4] จะทำให้อัตราการไหลเชิงปริมาตรที่ขาเข้า (Q_D) เป็น 7.53 Liters/min และความเร็ว (V_D) เป็น 0.1664 m/s

1.6.5 กำหนดให้เลือดไหลออกที่ทางออกของหลอดเลือดสาขาทั้งสอง โดยไหลสู่บรรยากาศที่ความดันเจ้าเป็นศูนย์

1.6.6 ความเร็วของของไหลที่ผนังมีค่าเป็นศูนย์ เนื่องจากสภาพไม่ลื่นไหล (No-Slip condition)

1.6.7 สร้างเมช (Mesh) ในโดเมนการคำนวณของการไหลโดยเป็นรูปทรง tetrahedral ดังรูปที่ 1.3



1.6.8 ดำเนินการคำนวณภายใต้สมมติฐานการไหลคงที่ ของไหลอัดตัวไม่ได้โดยใช้ Governing Equation ดังนี้

สมการอนุรักษ์มวล (Conservation of mass)

$$\frac{\partial u}{\partial x} + \frac{\partial v}{\partial y} + \frac{\partial w}{\partial z} = 0 \quad (1.1)$$

สมการอนุรักษ์โมเมนตัม (Momentum Equations)

$$\text{ไม้เมนตัมในแนวแกน } x : \rho(u \frac{\partial u}{\partial x} + v \frac{\partial u}{\partial y} + w \frac{\partial u}{\partial z}) = -\frac{\partial P}{\partial x} + \nabla(u \nabla u) + \rho g_x \quad (1.2)$$

$$\text{โนเมนต์มในแนวแกน } y : \rho(u\frac{\partial u}{\partial x} + v\frac{\partial u}{\partial y} + w\frac{\partial u}{\partial z}) = -\frac{\partial P}{\partial y} + \nabla(\mu\nabla v) + \rho g_y \quad (1.3)$$

$$\text{โนเมนต์มในแนวแกน } z : \rho(u\frac{\partial u}{\partial x} + v\frac{\partial u}{\partial y} + w\frac{\partial u}{\partial z}) = -\frac{\partial P}{\partial z} + \nabla(\mu\nabla w) + \rho g_z \quad (1.4)$$

สมการความหนืดของ Carreau-Yasuda

$$\mu = \mu_\infty + (\mu_0 - \mu_\infty)(1 + (\lambda\dot{\gamma})^2)^{(n-1)/2} \quad (1.5)$$

เมื่อ μ_∞ คือ ความหนืดที่อัตราเฉือนอนันต์ โดยมีค่าเท่ากับ $22 \times 10^{-3} Pa-s$

μ_0 คือ ความหนืดที่อัตราเฉือนเป็นศูนย์ โดยมีค่าเท่ากับ $2.2 \times 10^{-3} Pa-s$

$\dot{\gamma}$ คือ อัตราความเค้นเฉือน (Shear rate)

n คือ ค่าคงที่เรือน่วย โดยมีค่าเท่ากับ 0.392

λ คือ ค่าคงที่ โดยมีค่าเท่ากับ 0.110 s.

โดยค่าต่าง ๆ นำมาจาก Gijzen [6]

ผลลัพธ์จะอยู่ในรูปของ u (ความเร็วในแนวแกน x), v (ความเร็วในแนวแกน y), w (ความเร็วในแนวแกน z), P (ความดัน) และ μ (ความหนืด)

1.6.9 ดำเนินการคำนวณโดยใช้สมการ

อัตราเฉือน (Shear rate):

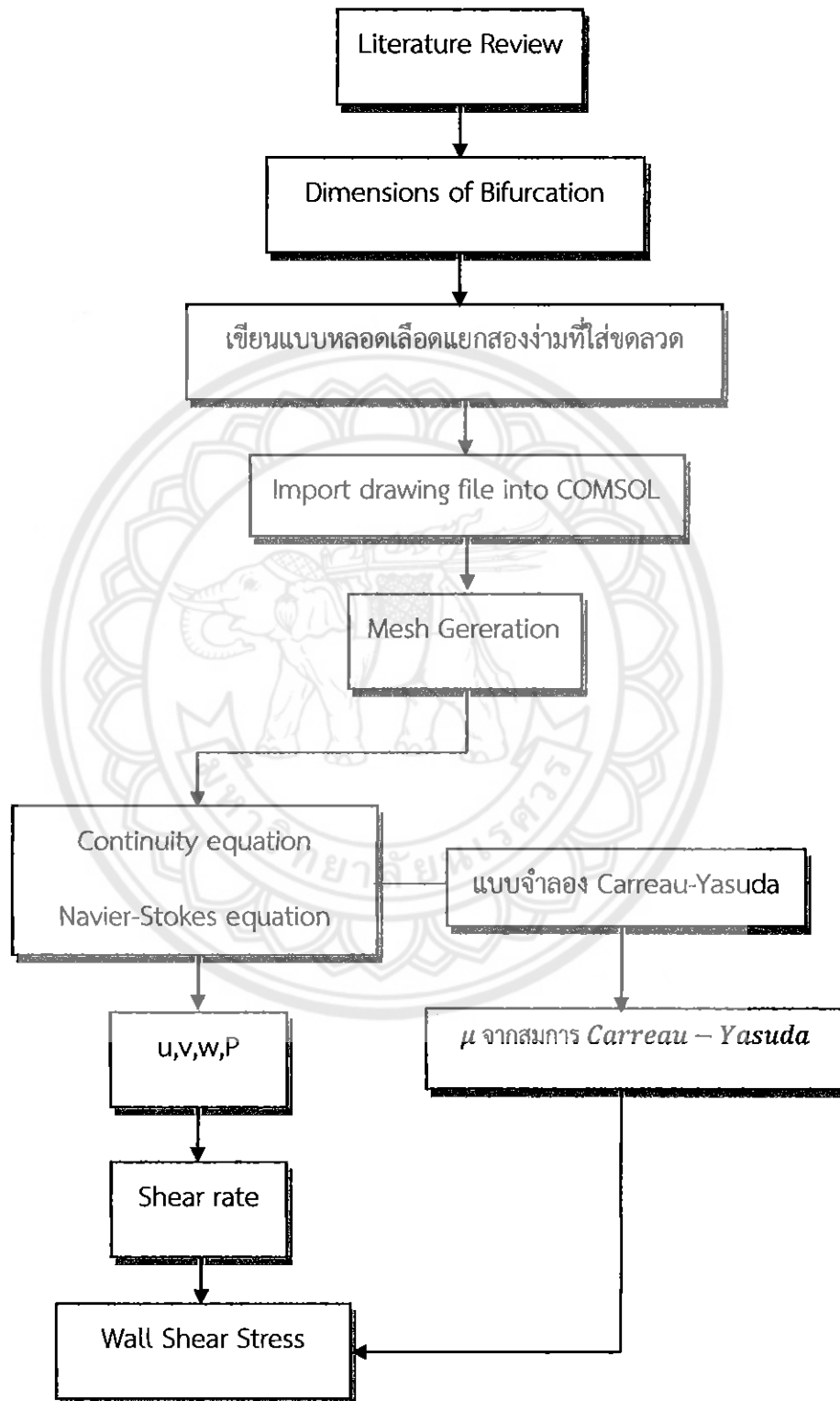
$$\dot{\gamma} = \frac{\partial u_i}{\partial x_j} \quad (1.6)$$

ความเค้นเฉือนที่ผนัง (Wall Shear Stress) :

$$WSS = \mu \dot{\gamma} = \mu \frac{du_i}{dx_j} \quad (1.7)$$

1.6.10 ผลของการคำนวณจะแสดงข้อมูลการกระจายความเร็วซึ่งจะอยู่ในรูปของโปรไฟล์ความเร็ว เส้นเค้าโครงความเร็ว และความเค้นเฉือนที่ผนัง (Wall Shear Stress)

โดยที่ขั้นตอนการดำเนินโครงการทั้งหมดได้สรุปเป็นแผนผังของ Data Reduction ดังรูปที่ 1.4



รูปที่ 1.4 ผังวิธีการดำเนินงานโครงการ

1.7 งบประมาณ

1.7.1 ค่ากระดาษ	1,000 บาท
1.7.2 ค่าปริ้นงาน	1,000 บาท
รวม	2,000 บาท



บทที่ 2

หลักการและทฤษฎี

2.1 ทฤษฎีที่เกี่ยวข้อง

สมการที่เกี่ยวข้องกับโครงงานเป็นสมการควบคุม (Governing Equations) สำหรับการไหลใน 3 มิติที่สภาวะคงที่ (Steady state) และการอัดตัวไม่ได้ (Incompressible) ซึ่งในโครงงานนี้จะประกอบไปด้วยสมการดังต่อไปนี้

2.1.1 สมการอนุรักษ์มวล (Conservation of mass) หรือ สมการความต่อเนื่อง (Continuity Equations)

$$\frac{\partial u}{\partial x} + \frac{\partial v}{\partial y} + \frac{\partial w}{\partial z} = 0 \quad (2.1)$$

2.1.2 สมการอนุรักษ์โมเมนตัม (Momentum Equations) หรือสมการนาวีเยอร์-สโตกส์ (Navier-Stokes Equations)

$$\text{โมเมนตัมในแนวแกน } x : \rho(u \frac{\partial u}{\partial x} + v \frac{\partial u}{\partial y} + w \frac{\partial u}{\partial z}) = -\frac{\partial P}{\partial x} + \nabla(\mu \nabla u) + \rho g_x \quad (2.2)$$

$$\text{โมเมนตัมในแนวแกน } y : \rho(u \frac{\partial u}{\partial x} + v \frac{\partial u}{\partial y} + w \frac{\partial u}{\partial z}) = -\frac{\partial P}{\partial y} + \nabla(\mu \nabla v) + \rho g_y \quad (2.3)$$

$$\text{โมเมนตัมในแนวแกน } z : \rho(u \frac{\partial u}{\partial x} + v \frac{\partial u}{\partial y} + w \frac{\partial u}{\partial z}) = -\frac{\partial P}{\partial z} + \nabla(\mu \nabla w) + \rho g_z \quad (2.4)$$

2.1.3 สมการของ Carreau-Yasuda

เป็นลักษณะการไหลของของเหลวที่ไม่เป็นไปตามการสันนิษฐานของ นิวตัน กล่าวคือที่ อุณหภูมินี้ๆ ของเหลวมีความหนืดไม่คงที่ การเปลี่ยนตามอัตราเฉือนโดยให้ความสัมพันธ์ดังสมการ ต่อไปนี้

$$\mu = \mu_\infty + (\mu_0 - \mu_\infty)(1 + (\lambda\dot{\gamma})^2)^{(n-1)/2} \quad (2.5)$$

เมื่อ μ_∞ คือ ความหนืดที่อัตราเฉือนอนันต์ โดยมีค่าเท่ากับ $22 \times 10^{-3} Pa \cdot s$

μ_0 คือ ความหนืดที่อัตราเฉือนเป็นศูนย์ โดยมีค่าเท่ากับ $2.2 \times 10^{-3} Pa \cdot s$

$\dot{\gamma}$ คือ อัตราความเค้นเฉือน (Shear rate)

n ค่าคงที่เร้น่วย โดยมีค่าเท่ากับ 0.392

λ ค่าคงที่ โดยมีค่าเท่ากับ 0.110 s.

โดยที่ค่าคงที่ต่าง ๆ ได้มาจากการ Gijzen [6]

ผลลัพธ์จากสมการที่ (2.1)-(2.5) จะอยู่ในรูปของ u (ความเร็วในแนวแกน x), v (ความเร็วในแนวแกน y), w (ความเร็วในแนวแกน z), P (ความดัน) และ μ (ความหนืด)

ในการแสดงผลจะแสดงในรูปของอัตราเฉือน (Shear rate) และความเค้นเฉือนที่ผนัง (Wall Shear Stress)

อัตราเฉือน (Shear rate) :

$$\dot{\gamma} = \frac{\partial u_i}{\partial x_j} \quad (2.6)$$

ความเค้นเฉือนที่ผนัง (Wall Shear Stress) :

$$WSS = \mu \dot{\gamma} = \mu \frac{du_i}{dx_j} \quad (2.7)$$

2.2 ทฤษฎีการไหลขันขอบเขต (Boundary Layer Theory)

การไหลผ่านพื้นที่ผิวโค้ง (Flow Over Curved Boundary) เป็นการศึกษาผลของการเปลี่ยนแปลงความเร็วและความดันในตำแหน่งต่างๆ ของ การไหล โดยสามารถอธิบายลำดับขั้นตอนใน

รูปที่ 2.1 ซึ่งเริ่มจากการเปลี่ยนแปลงความเร็วที่ขันขอบเขตของการไหล $\left(\frac{dU}{dx}\right)$ มีค่ามากกว่าศูนย์

และความดัน $\left(\frac{dP}{dx}\right)$ มีค่าน้อยกว่าศูนย์ ส่งผลให้แรงที่เกิดจากความดันจะมีทิศทางเดียวกับทิศ

ทางการไหลและมีจุดเปลี่ยนโค้ง (Point of Inflection: PI) จะอยู่ภายใต้ผนัง ซึ่งเป็นการไหลแบบราบเรียบ (Laminar flow) เรียกลักษณะแบบนี้ว่า Favorable Gradient ดังแสดงในรูปที่ 2.1 (ก)

ต่อมาเมื่อ $\frac{dU}{dx}$ และความดัน $\frac{dP}{dx}$ มีค่าเท่ากับศูนย์ ส่งผลให้มี PI อยู่บนผนัง ซึ่งการไหลเริ่มอยู่

ในช่วง Transition เรียกลักษณะแบบนี้ว่า Zero Gradient ดังแสดงในรูปที่ 2.1 (ข) แต่เมื่อ $\frac{dU}{dx}$ มี

ค่าน้อยกว่าศูนย์ และความดัน $\frac{dP}{dx}$ มีค่ามากกว่าศูนย์ แรงที่เกิดจากความดันจะมีทิศทางตรงกันข้าม

กับทิศทางการไหลและมี PI อยู่ในการไหล เรียกลักษณะแบบนี้ว่า Adverse Gradient

สำหรับรูปที่ 2.1 (ค) เป็นการไหลที่เตรียมเปลี่ยนเป็นแบบปั่นป่วน (Turbulent Flow) ไหล

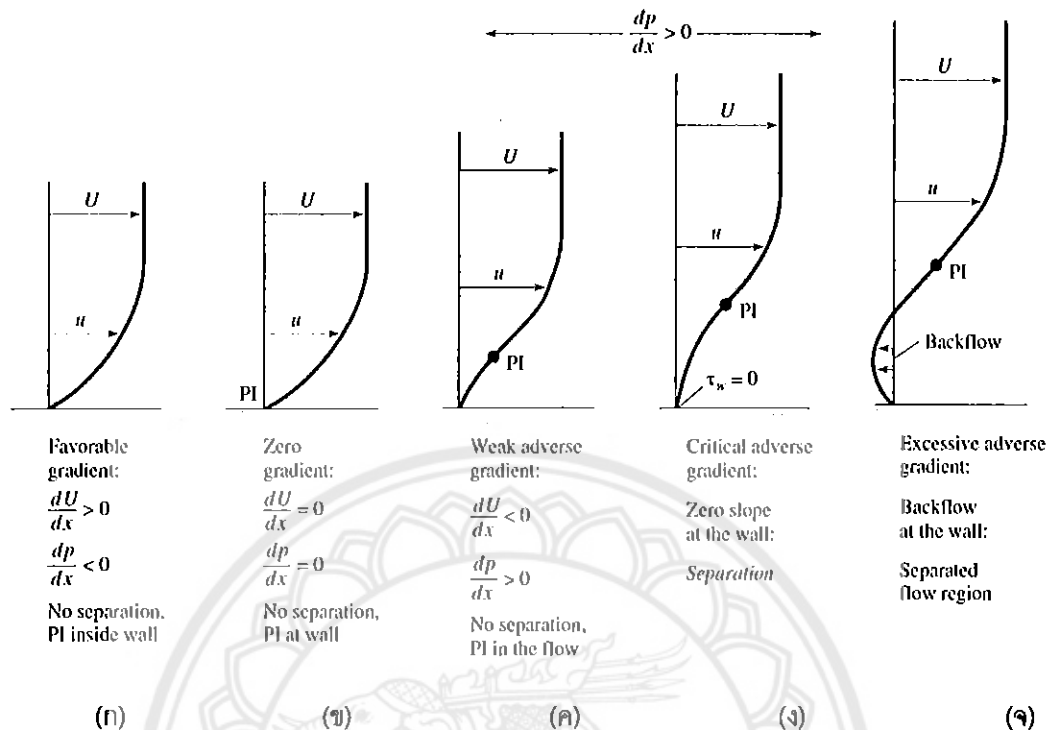
เรียกลักษณะแบบนี้ว่า Weak Adverse Gradient โดยมี PI อยู่บนโพรไฟล์ความเร็ว สำหรับรูปที่ 2.1

(ง) จะมี PI อยู่สูงกว่าแบบ Weak Adverse Gradient และมีจุดเกิดการแยกตัวของการไหล

(Separation point: $T_w = 0$) ที่ผนัง เรียกลักษณะแบบนี้ว่า Critical Adverse Gradient สำหรับ

รูปที่ 2.1 (จ) จะมี PI อยู่สูงกว่าแบบ Critical adverse gradient และเกิดการไหลย้อนกลับ

(Backflow) ที่ผนัง

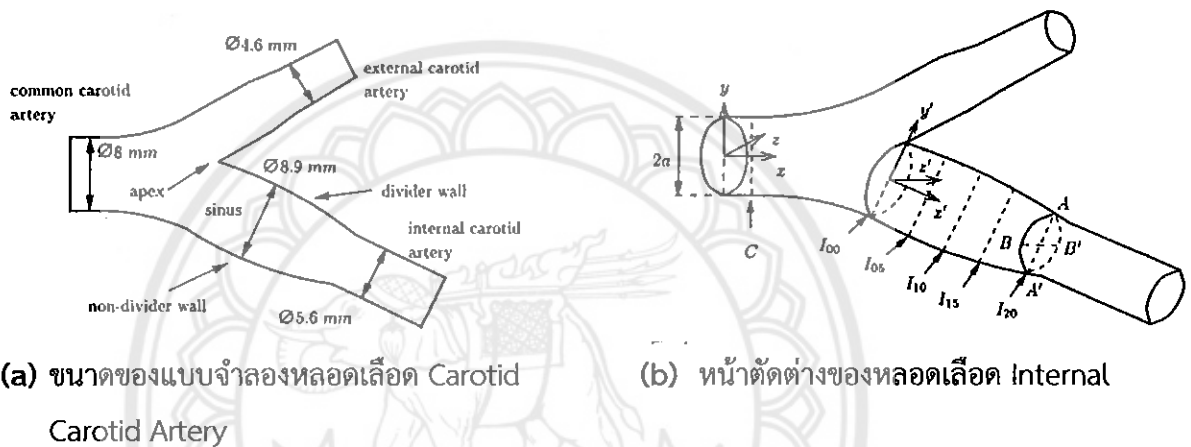


รูปที่ 2.1 ผลของการเปลี่ยนแปลงความดันที่มีต่อลักษณะขั้นของเบตการไอล [5]

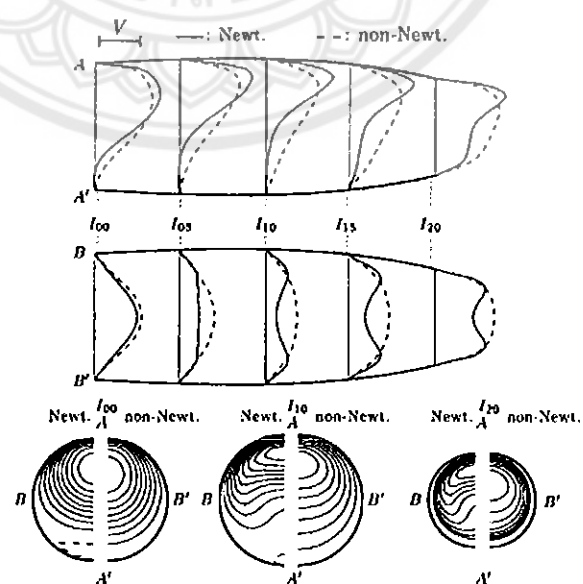
2.3 วัสดุกรรมบิทัค์

Gijsen และคณะ [6] จากการศึกษาการไหลภายใน Carotid bifurcation ภายใต้สภาวะการไหลคงที่ โดยกำหนดให้ผนังหลอดเลือดมีความแข็งเกร็ง (rigid model) และรูปทรงทางเรขาคณิตมีความสำคัญต่อการไหลของ Carotid bifurcation เพื่อเปรียบเทียบระหว่างของไอล Newtonian กับ Non-Newtonian โดยวิธีการทดลองและระเบียบวิธีเชิงตัวเลข พบว่าสำหรับการทดลองใช้สารละลายเข้มข้น 71% ของ Potassium thiocyanate (KSCN) แทนของไอล Newtonian และใช้สารละลาย Potassium thiocyanate ผสมกับ Xanthan gum (KSCN-X) แทนของไอล Non-Newtonian โดยที่สารละลายดังกล่าวเลียนแบบคุณสมบัติของ shear thinning ของเลือดได้ค่อนข้างดี และจากการวัดความเร็วได้กำหนดตัวแปรที่จะอธิบายการไหลโดยใช้ Re (Reynolds number) และ γ (flow division ratio) ซึ่งเป็นตัวแปรที่ใช้อธิบายการไหลผ่านสาขาเล็กของหลอดเลือดแคโรทิด (External Carotid Artery) และ การไหลผ่านหลอดเลือดหลักของแคโรทิด (Common Carotid Artery) สำหรับการศึกษาด้วยระเบียบวิธีเชิงตัวเลขได้กำหนดให้ ของไอล Non-Newtonian ซึ่งใช้แบบจำลองของ Carreau-Yasuda ทั้งหมดนี้ได้ทำการรายงานผลในรูปแบบໂປຣແລ້ວความเร็ว และเส้นเค้าโครงความเร็ว

จากการทดลองได้กำหนดค่า $Re = 270$ คงที่ โดยนิยามตามหลอดเลือดหักและ $\gamma = 45\%$ ซึ่งเป็นการไฟล์ผ่าน Internal Carotid Artery จากการวัดการกระจายความเร็วใน Carotid bifurcation ได้ทำการวัดที่ ทางเข้าของ Common Carotid Artery 1 จุด และ Internal Carotid Artery 5 จุด ดังรูปที่ 2.2(b) สำหรับผลจากการวัดการกระจายความเร็วใน Common Carotid Artery โปรไฟล์ความเร็วของของไหล Newtonian เป็นแบบพาราโบลา และโปรไฟล์ความเร็วของของไหล Non-Newtonian มีลักษณะแบบทรงกลาง ซึ่งอาจเป็นผลมาจากการ shear thinning



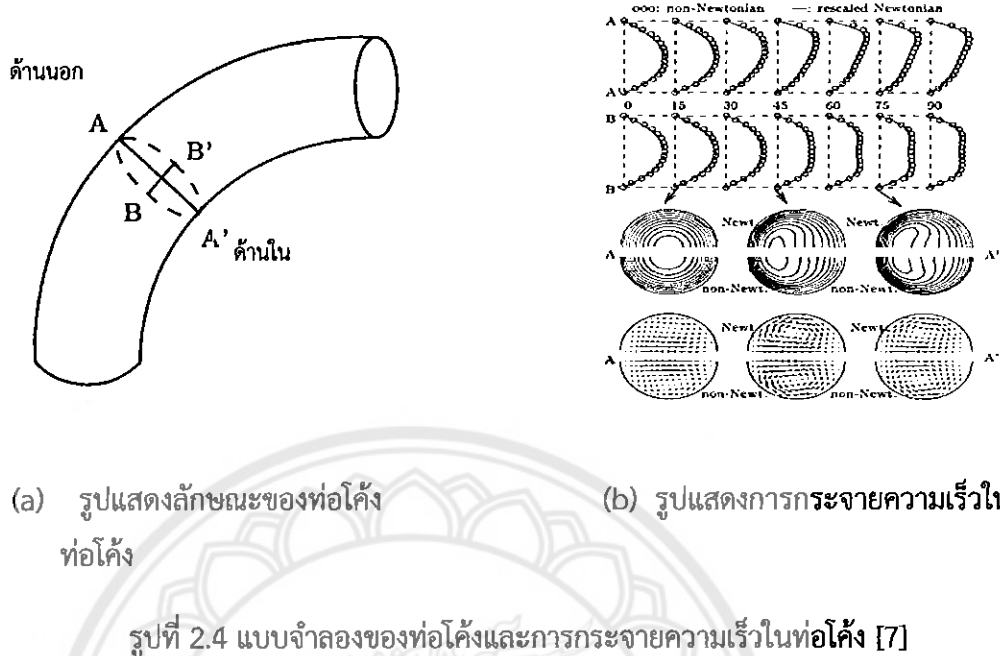
รูปที่ 2.2 แบบจำลองของหลอดเลือด Carotid ในงานของ Gijsen และคณะ [6]



รูปที่ 2.3 การกระจายความเร็วในหลอดเลือด Internal Carotid Artery

สำหรับผลจากการเปรียบเทียบการวัดการกระจายความเร็วจากวิธีการทดลองและระเบียนวิธีเชิงตัวเลขใน Internal Carotid Artery ของของไหล Newtonian เมื่อของไหลที่ไหลจาก Common Carotid Artery ได้ไหลเข้าสู่ Internal Carotid Artery ซึ่งถูกแยกออกที่จุด apex และปัจจัยที่สำคัญทางรูปทรงเรขาคณิตที่มีผลต่อการไหลคือความโค้งของห่อ (curvature effect) ส่งผลให้เกิด velocity gradient สูงที่ divider wall (I_{10}) ของไหลที่เคลื่อนที่อย่างรวดเร็วในกึ่งกลางห่อถูกกำหนดไปสู่ divider wall และถูกแทนที่ด้วยอนุภาคของไหลที่เคลื่อนที่ช้าใกล้กับ non-divider wall ส่งผลให้ของไหลที่อยู่ใกล้กับ divider wall จะเคลื่อนที่เป็นแบบบรรบงไปสู่ non-divider wall ที่เป็น เช่นนี้มีผลทำให้เกิด secondary flow ที่แสดงให้เห็นถึง Dean vortex ส่งผลให้เส้นเค้าโครงความเร็วเป็นรูปตัว C เท็นได้ชัดที่บริเวณ I_{10} และตัว C จะปรากฏอย่างจันถึงบริเวณ I_{20} ทั้งนี้เป็นผลมาจากการพื้นที่ภาพตัดขวางที่เพิ่มขึ้น (I_{10}) และลดลง (I_{20}) ของ Internal Carotid Artery นอกจานี้การแบ่งแยกพื้นที่ความเร็วต่ำกว่าพื้นที่ความเร็วสูงที่อยู่ใกล้บริเวณ divider wall ที่กึ่งกลางห่อเป็นการปรากฏของ Shear Layer สังเกตได้ชัดที่ I_{10} และ I_{15} สำหรับของไหล Non-Newtonian ส่งผลให้เกิดการเดินที่ความเร็ว (velocity gradient) สูงที่ Divider Wall เนื่องจากของไหลที่ไหลจาก Common Carotid Artery ได้แยกไหลเข้าสู่ Internal Carotid Artery โดยถูกแยกออกที่จุด apex การบนอกของ Internal Carotid Artery จาก Common Carotid Artery ซึ่งมีพื้นที่หน้าตัดลดลง ส่งผลให้ความเร็วมีค่าลดลงที่บริเวณใกล้กับ non-divider wall และการสูญเสียของห่อ (ดูรูปที่ 2.3) ส่งผลให้ความเร็วเพิ่มขึ้นที่ I_{20} และของไหล Non-Newtonian เกิดผลของ secondary flow น้อยกว่า (ดูรูปที่ 2.3) ด้านน้ำของไหล Non-Newtonian จึงไม่ปรากฏเค้าโครงรูปตัว C และ viscoelastic property ของของไหล Non-Newtonian มีผลน้อยต่อการวัดการกระจายความเร็วใน Carotid bifurcation

Gijssen และคณะ [7] การศึกษาการไหลของเลือดที่สภาวะไม่คงที่ผ่านห่อโค้ง 90° เพื่อเลียนแบบการไหลของเลือดผ่านส่วนโค้งของหลอดเลือดหัวใจขนาดใหญ่ โดยกำหนดให้ผนังห่อแข็งแกร่ง และทำการศึกษาการไหลแบบ Newtonian และ non-Newtonian ที่ diastole ($Re=300$), peak systole ($Re=750$) และ begin diastole สำหรับการทดลองจะใช้ Potassium thiocyanate (KSCN) แทนการไหลแบบ Newtonian และใช้ Potassium thiocyanate ผสมกับ Xantan gum (KSCN-X) แทนการไหลแบบ non-Newtonian ส่วนระเบียนวิธีเชิงตัวเลข จะเป็นการไหล Newtonian (μ คงที่) และการไหลแบบ non-Newtonian โดยใช้แบบจำลอง Carreau-Yasuda ซึ่งมีตัวแปรสำหรับการไหลคือ รัศมีของห่อ (a) ความเร็ว (V) เวลาในการไหล (T) และตัวแปรรัมิตคือ Shear rate number (N_s) เลขไวเซนเบิร์ก (We) เลขเดไบราร์ (De) ซึ่งรายงานผลจะอยู่ในรูปแบบของโปรไฟล์ความเร็วและเส้นเค้าโครงความเร็ว

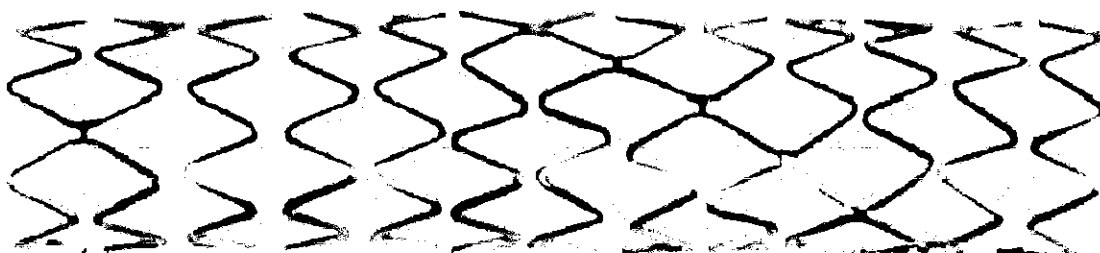


การเปรียบเทียบการไหลแบบ non-Newtonian ระหว่างผลการทดลองกับระเบียบวิธีเชิงตัวเลขมีทั้งหมด 3 ที่คือ (1) ที่ diastole พบว่าที่ระนาบ A-A' โปรไฟล์ความเร็วส่วนกลางท่อจะมีการเอียงเล็กน้อยออกจากด้านในของท่อโค้ง (A') ไปยังด้านนอก และเอียงมากขึ้นที่บริเวณทางออกของท่อโค้ง ที่เป็นเช่นนี้เนื่องจากอิทธิพลของความโค้งของท่อซึ่งจะทำให้เกิดแรงเหวี่ยงสู่ศูนย์กลางของท่อโค้ง และเกิด secondary velocity ที่แสดงให้เห็นถึง Dean vortex และพบว่าที่ระนาบ B-B' โปรไฟล์ความเร็วบริเวณกลางท่อจะมีลักษณะแบบ จนถึงบริเวณบริเวณทางออกของท่อโค้ง ที่เป็นเช่นนี้เนื่องจากการเกิดผลของการ non-Newtonian สำหรับการแสดงรูปแบบ Dean Vortex พบว่าที่บริเวณส่วนกลางของท่อจะเกิด secondary velocity ขึ้น และเริ่มลดลงที่บริเวณทางออกของท่อโค้ง (2) ที่ peak systole พบว่าที่ระนาบ A-A' และที่ระนาบ B-B' มีลักษณะของโปรไฟล์ความเร็วคล้ายกับที่ diastole แต่ความเร็วจะมีค่ามากกว่าที่ diastole ซึ่งในการแสดงรูปแบบ Dean Vortex จะเกิด secondary velocity ขึ้นตั้งแต่ส่วนกลางของท่อโค้งไปจนถึงส่วนปลายของท่อโค้ง ซึ่งเป็นผลมาจากการ non-Newtonian และแรงเฉือนที่เกิดขึ้น (3) ที่ begin diastole เส้นเค้าโครงความเร็วส่วนกลางของท่อโค้งเริ่มขึ้นมาทางผนังด้านนอกของท่อโค้ง (A) และขึ้นมากขึ้นจนเป็นรูปตัวซี (C) ที่บริเวณทางออกของท่อโค้ง เนื่องจากอิทธิพลของแรงเหวี่ยงสู่ศูนย์กลางของท่อโค้ง และพบว่าที่ระนาบ B-B' โปรไฟล์ความเร็วที่บริเวณส่วนกลางของท่อโค้งจะเริ่มชะลอความเร็วลงจนเกิด secondary peak และชะลอความเร็วมากขึ้นที่บริเวณทางออกของท่อโค้ง เพราะอิทธิพลของ KSCN-X สำหรับการแสดงรูปแบบ Dean Vortex พบว่าที่บริเวณส่วนกลางของท่อจะเกิด secondary velocity ขึ้น และเริ่มลดลงที่บริเวณทางออกของท่อโค้ง

การเปรียบเทียบการไหลแบบ Newtonian และการไหลแบบ non-Newtonian โดยใช้ระบบวิธีเชิงตัวเลขพบว่า ลักษณะการไหลแบบ Newtonian และการไหลแบบ non-Newtonian ที่ diastole และที่ peak systole มีลักษณะของโปรไฟล์ไปในทิศทางเดียวกัน แต่ที่ peak systole จะมีความเร็วที่มีค่ามากกว่าที่ diastole เนื่องจากที่ diastole มีค่า $Re=300$ แต่ที่ peak systole มีค่า $Re=750$ และพบว่าที่ begin diastole การไหลแบบ non-Newtonian มีลักษณะของโปรไฟล์ความเร็วไปในทิศทางเดียวกับที่ diastole แต่ลักษณะของโปรไฟล์ความเร็วของการไหลแบบ Newtonian จะเกิดการไหลแยกตั้งแต่ส่วนกลางของห่อโค้งไปจนถึงส่วนปลายของห่อโค้ง

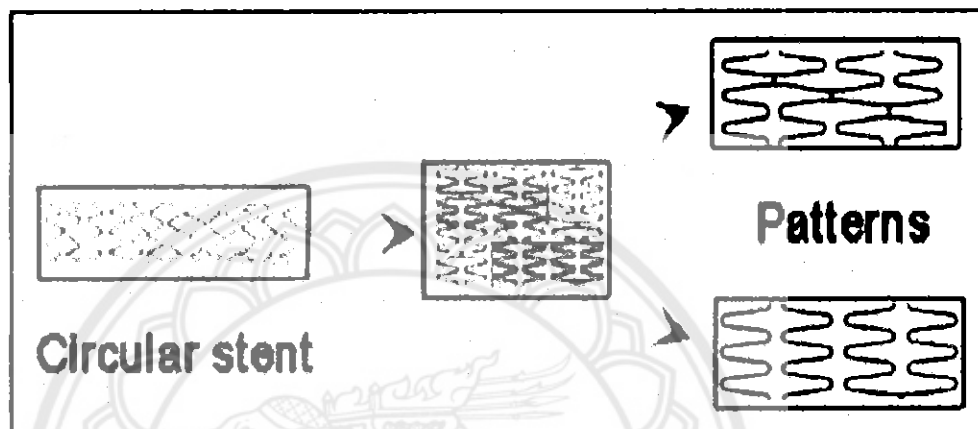
Bernard และคณะ [8] ศึกษาผลของการกระตุ้น Endothelial Cell โดย Wall Shear Stress (WSS) ซึ่งมีบทบาทสำคัญในการกลับมาตีบอีกครั้งของหลอดเลือด (Restenosis) การเปลี่ยนแปลงการไหลของเลือดและขดลวดส่งผลต่อลักษณะการเปลี่ยนแปลงของขดลวด โดยเฉพาะผลกระทบของ Stent Struts พวกเข้าศึกษาการไหลผ่านขดลวด Helistent[®] โดยวิธีการทดลอง (*in vitro model*) ของ Stent Struts ของหลอดเลือดเทียม (intra-vascular prothesis) เพื่อศึกษาการไหลของเลือดผ่านส่วนของ Stent Struts

จากการศึกษาการไหลของเลือดผ่านหลอดเลือดโดยการใส่ขดลวด ภายใต้สภาวะการไหลคงที่ โดยกำหนดให้ผนังหลอดเลือดมีความแข็งเกร็ง (rigid model) ซึ่งใช้วิธี PIV (Particle image velocimetry) ในการวัดการไหลของเลือด เพื่อรับและอธิบายลักษณะพฤติกรรมความแตกต่างของ การไหล จากวิธีการทดลองใช้ขดลวดซึ่งประกอบด้วย sinusoidal rings และถูกเชื่อมโดย Helicoid of bonds ในรูปแบบตัว H กำหนดให้ขดลวดมีความยาว 10 mm และเส้นผ่านศูนย์กลาง 4 mm (ดูรูปที่ 2.5)



รูปที่ 2.5 ขดลวด [8]

จากวิธีการทดลอง Bernard และคณะ ได้นำขดลวดที่จะใช้ในการทดลองมาแผ่บันແเพ่นเรียบ และทำให้ขดลวดมีการบุบสูญขึ้นมาจากการแผ่นเรียบโดยที่ขดลวดทำมาจากครีลิก ลักษณะของขดลวดที่พับในการทดลองจะมีสองลักษณะคือ ลักษณะแรกจะเป็นการแสดงตัวของขดลวดที่เชื่อมติดกันและลักษณะที่สองเป็นการแสดงตัวของขดลวดที่ไม่ได้เชื่อมติดกัน (ดูรูปที่ 2.6)



รูปที่ 2.6 การแสดงตัวของขดลวดบนแผ่นเรียบ

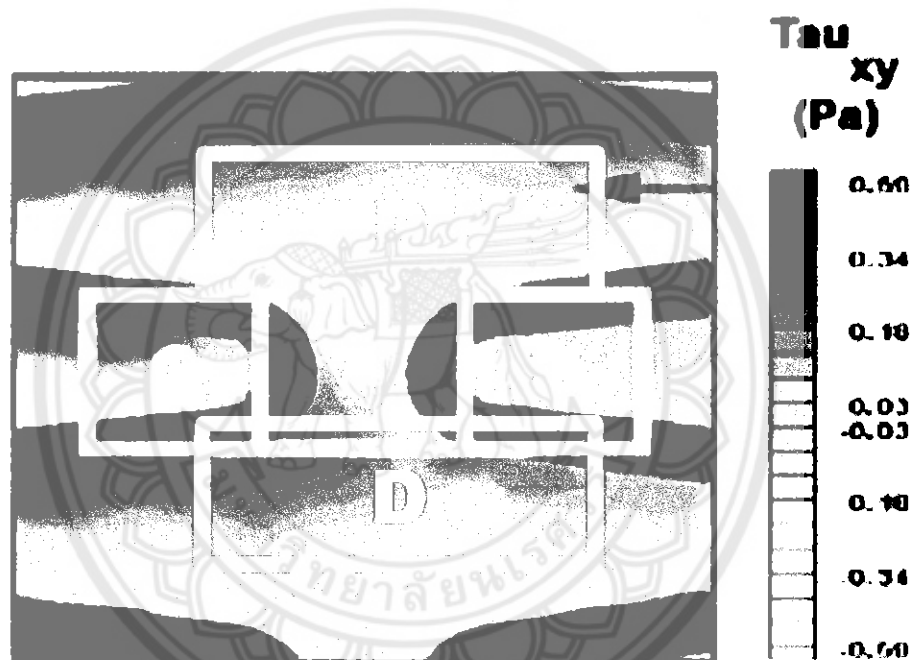
ในการทดลองใช้สารผสมของ water-glycerin 50.6% โดยปริมาตร เพื่อทำการทดลองกำหนดให้อัตราการไหลมีค่าเท่ากับ 60 , 88 , 102 , 108 และ 144 ml/min และจากการศึกษาการไหลผ่านขดลวดนี้ขึ้นอยู่กับค่าของ WSS ค่าของ WSS จะส่งผลโดยตรงต่อเซลล์เยื่อบุผิวของผนังหลอดเลือดที่สัมผัสถูกกับการไหล โดยที่ค่าคงที่มาตรฐานกำหนดว่า เมื่อค่าของ WSS มีค่าน้อยกว่า 0.5 Pa Endothelial Cell จะเกิดการแบ่งตัวและทำให้มีแนวโน้มของการกลับมาตีบอีกครั้งของหลอดเลือดและเมื่อค่าของ WSS มีค่ามากกว่าหรือเท่ากับ 1.5 Pa Endothelial Cell จะผลิตไนตริกออกไซด์ (NO) โดยในตรีกออกไซด์จะเป็นตัวขับยั้งการเจริญเติบโตของเซลล์เยื่อบุผิว

ผลจากการศึกษาพบว่าในพื้นที่ A, B และ C จะให้ค่า WSS ต่ำเนื่องจากพื้นที่ดังกล่าวอยู่ใกล้กลับ Stent struts และจากที่ได้กล่าวมาข้างต้นว่า WSS ที่มีค่าต่ำ ทำให้มีแนวโน้มว่าเซลล์เยื่อบุผิวจะมีการพัฒนาขึ้น หรือมีแนวโน้มว่าจะเกิดการกลับมาตีบอีกครั้ง

พื้นที่ A เราจะเรียก พื้นที่นี้ว่า Slow eddy คือมีของไหลเคลื่อนที่มากจาก พื้นที่ D ปริมาณน้อยๆและเคลื่อนที่อย่างช้าๆ ให้ค่า WSS ต่ำ ทำให้ในโซนนี้มีแนวโน้มที่จะเกิดการกลับมาตีบอีกครั้ง (ดูรูปที่ 2.7)

ส่วนพื้นที่ B และ C เราจะเรียกพื้นที่นี้ว่า Dead Flow Zone คือพื้นที่ B เมื่อของไหลมีการไหลมาที่พื้นที่ B ของไหลจะเข้าประทับกับ Stent struts ทำให้เกิดการหมุนวนภายในพื้นที่ B และของไหลส่วนหนึ่งจะมีการ Eject ออกจากพื้นที่ B ส่วนพื้นที่ C มีของไหลที่ไหลผ่านพื้นที่นั้นอยมากและพื้นที่นี้มีแนวโน้มว่าจะมีความเสี่ยงต่อการกลับมาตีบอีกรังมากที่สุด (ดูรูปที่ 2.7)

พื้นที่ D ไม่มีการเปลี่ยนแปลง WSS มากนัก แต่มีแรงเฉือนที่สูงกว่าพื้นที่อื่น เพราะในพื้นที่ D ไม่มี Stent struts ที่จะเข้ามาขัดขวางการไหล ของของไหล (ดูรูปที่ 2.7)



รูปที่ 2.7 แสดงพื้นที่ในการไหลภายในชุดลวด

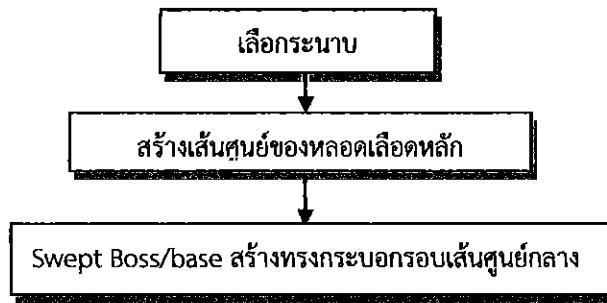
บทที่ 3

การจำลองแบบขดลวดในหลอดเลือดเยกสองจ่าม

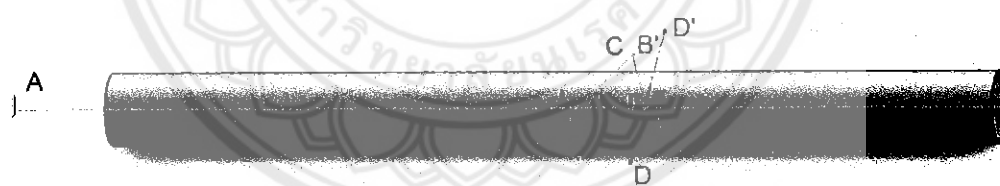
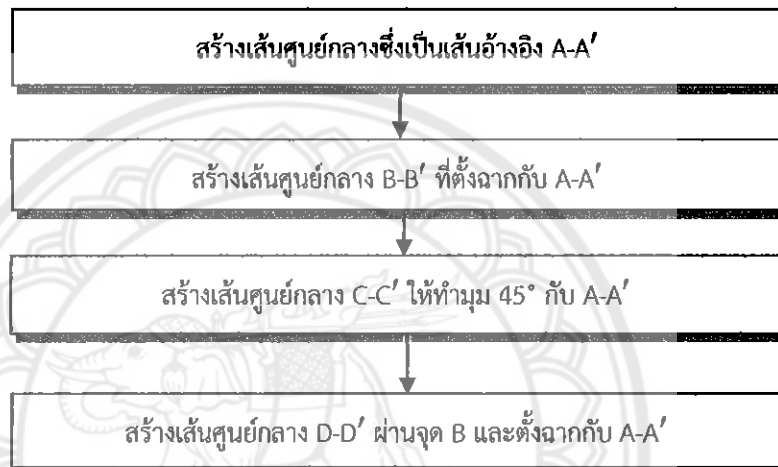
บทนี้จะแสดงขั้นตอนการเขียนแบบหลอดเลือดเยกสองจ่ามและขดลวดโดยใช้โปรแกรม Solidworks® ในที่นี้จะแบ่งออกเป็น 2 หัวข้อหลักๆ ได้แก่ การเขียนแบบหลอดเลือดเยกสองจ่าม ปกติ และการเขียนแบบหลอดเลือดเยกสองจ่ามที่ใส่ขดลวด โดยที่เส้นผ่านศูนย์กลางของหลอดเลือดหลักเป็น 4 mm ยาว 90 mm และหลอดเลือดสาขาเส้นผ่านศูนย์กลาง 2 mm วัดจากทางเข้าหลอดเลือดหลักโดยทำมุม 45° กัน

3.1 การเขียนแบบหลอดเลือดเยกสองจ่ามปกติ

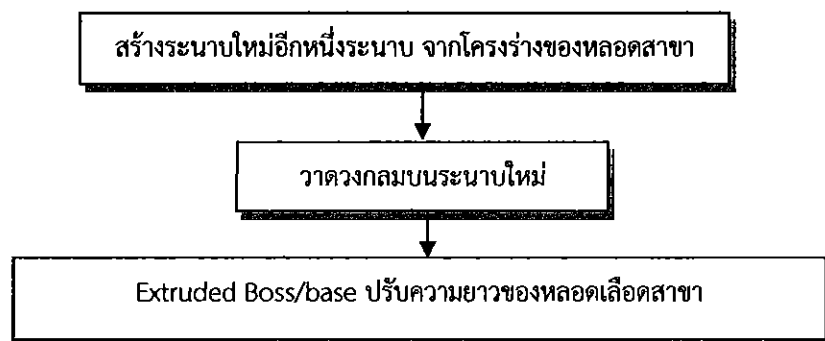
การเขียนแบบหลอดเลือดเยกสองจ่ามปกติที่ไม่การตีบนั้น เริ่มจากการร่างเส้นผ่านศูนย์กลางให้เป็นโครงสร้างแล้วจึงจะสร้างเป็นทรงกระบอก สามารถแบ่ง 3 ขั้นตอนหลัก ๆ คือ การสร้างหลอดเลือดหลัก การร่างหลอดเลือดสาขา และการสร้างหลอดเลือดสาขา เริ่มที่หลอดเลือดหลัก เราจะร่างเส้นศูนย์กลางและวงกลมของหลอดเลือดหลักลงบนระนาบ แล้วใช้คำสั่ง Swept Boss/Base สร้างทรงกระบอกรอบเส้นศูนย์กลาง จะได้ขนาดทรงกระบอกที่มีเส้นผ่านศูนย์กลาง 4 mm ยาว 50 mm ต่อไปคือส่วนเส้นร่างหลอดเลือดสาขา เริ่มที่สร้างเส้นศูนย์กลาง A-A' ผ่านกึ่งกลางหลอดเลือดหลัก แล้วสร้างเส้นศูนย์กลาง B-B' ให้ตั้งฉากกับเส้นศูนย์กลาง A-A' และสร้างเส้นศูนย์กลาง C-C' ทำมุม 45° กับเส้นศูนย์กลาง A-A' ดังรูปที่ 3.1 (b) เพื่อที่จะสร้างระนาบให้กับหลอดเลือดสาขา ส่วนสุดท้าย หลอดเลือดสาขา เริ่มจากการดาวงกลมขนาดเส้นผ่านศูนย์กลางเท่ากับ 2 mm ลงในระนาบที่ได้จากการสร้างเส้นร่างหลอดเลือดสาขา ซึ่งเพิ่มความยาวของหลอดเลือดสาขาโดยอาศัยคำสั่ง Extruded Boss/Base ให้ความยาวของหลอดเลือดสาขาเท่ากับ 20 mm ดังรูปที่แสดงในรูปที่ 3.1 บันทึกไฟล์เขียนแบบที่ได้ในนามสกุล STEP AP 203 (.STEP) เพื่อเตรียมนำเข้าไปคำนวณด้วยระบบวิธีทางไฟในต่อคอมพิวเตอร์ด้วยระบบวิธีทางไฟในต่อคอมพิวเตอร์



(a) การเขียนแบบหลอดเลือดหลัก



(b) การสร้างโครงร่างของหลอดเลือดสาขา

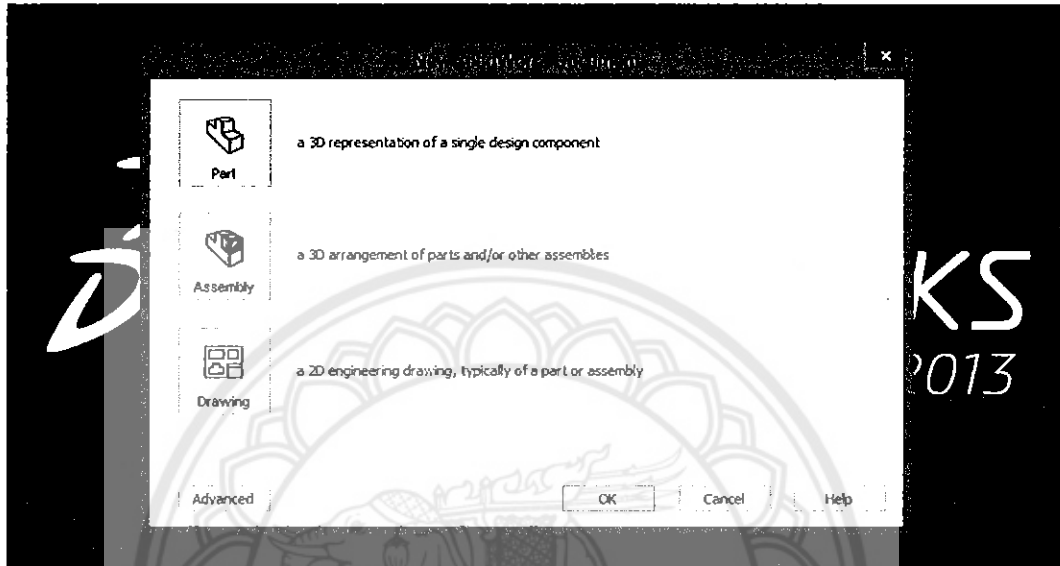


(c) การสร้างหลอดเลือดสาขา

รูปที่ 3.1 สรุปแนวคิดในการเขียนแบบหลอดเลือดแยกสองฝั่งปกติ

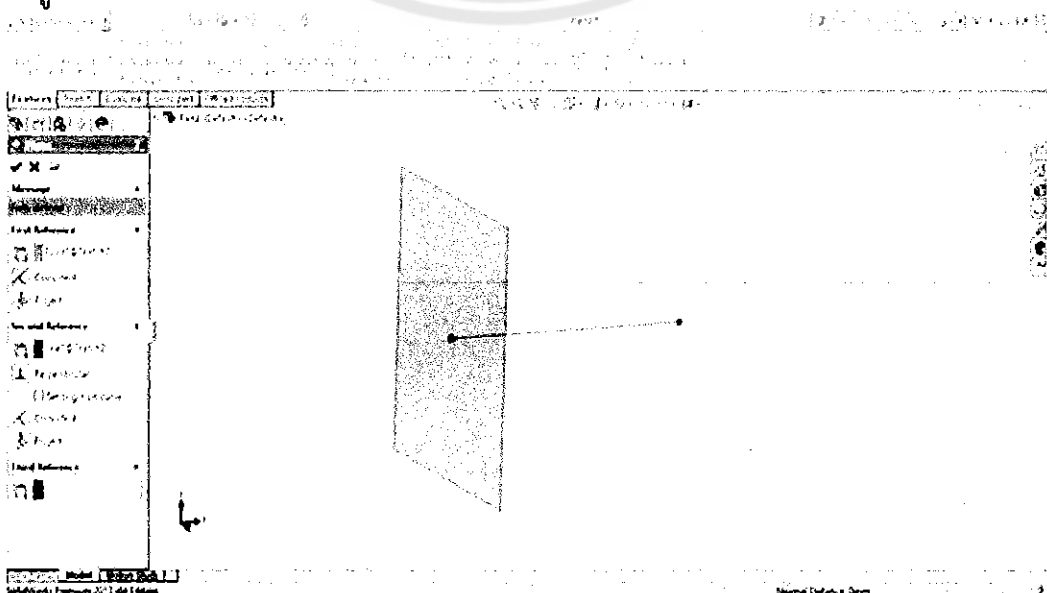
การสร้างแบบจำลองของหลอดเลือดเยกส่องร้าม โดยใช้โปรแกรม Solidworks มีวิธีการดังนี้

3.1.1 เปิดโปรแกรม Solidworks ขึ้นมา จากนั้นเลือกคำสั่ง New ที่เมนู File เมื่อหน้าต่าง (New Solidworks Document) ปรากฏให้เลือกคำสั่ง Part กด OK ดังรูปที่ 3.2



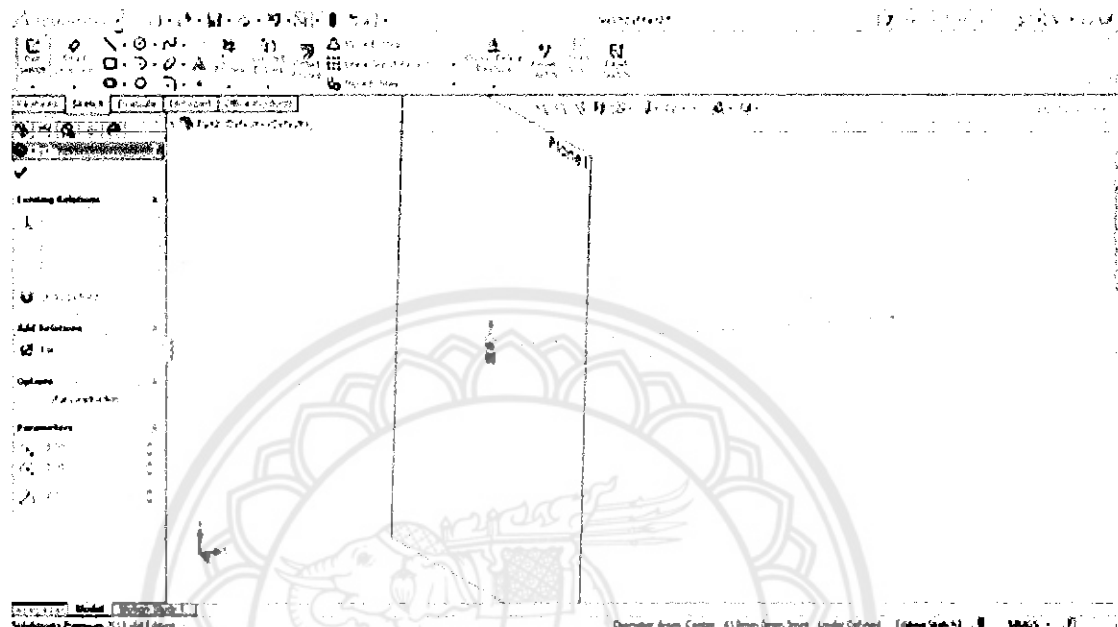
รูปที่ 3.2 การเรียกใช้โปรแกรมการเขียนแบบจำลอง 3 มิติ

3.1.2 เลือกรอบนาเพื่อกำหนดให้เป็นระบบอ้างอิงในการวาตหลอดเลือด เลือกรอบนา Front Plane คลิกคำสั่ง Sketch เลือกคำสั่ง Line วาดเส้นตรงลงบนระบบ Front Plane โดยกำหนดให้มีความยาว 50 mm เพื่อทำการร่างหลอดเลือดหลัก เลือกคำสั่ง Exit Sketch ทำการสร้างระบบใหม่ขึ้นมาโดยสร้างระบบอ้างอิงให้หลอดเลือดหลัก ไปที่เมนู Feature เลือกคำสั่ง Reference Geometry เลือกคำสั่งย่ออย Plane คลิกที่จุดปลายด้านหนึ่งของเส้น หลังจากนั้นคลิกที่เส้นของหลอดเลือดหลัก แล้วคลิกเครื่องหมายถูก จะได้ระบบอ้างอิงใหม่และเส้นร่างหลอดเลือดหลัก ดังรูปที่ 3.3



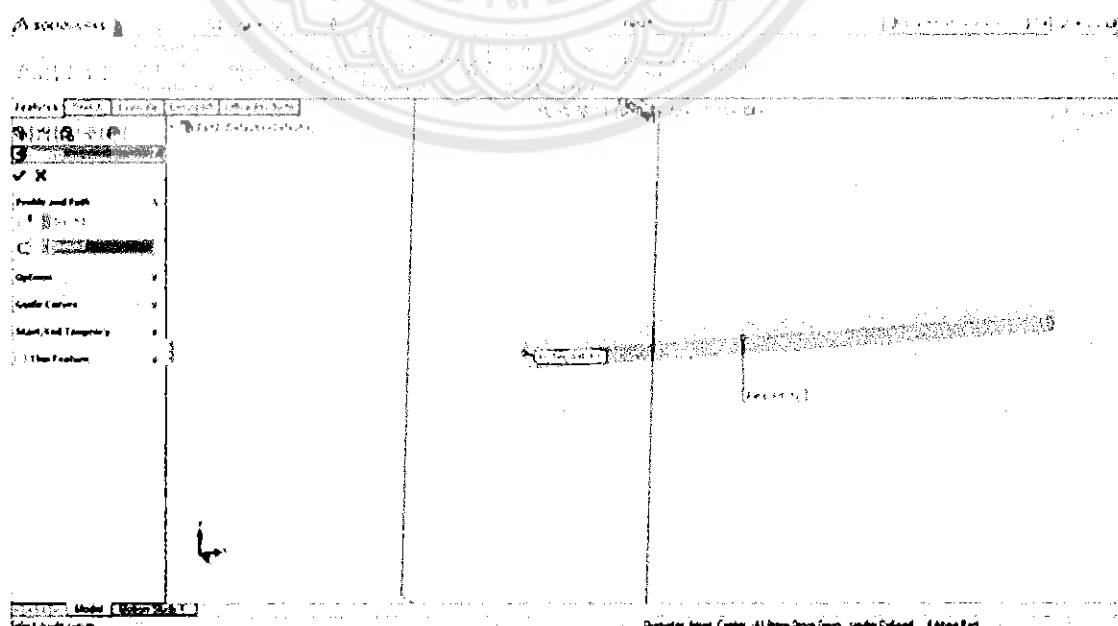
รูปที่ 3.3 การสร้างระบบและเส้นอ้างอิงหลอดเลือดหลัก

3.1.3 เลือกระนาบใหม่ที่ถูกสร้าง แล้วไปคลิกที่คำสั่ง Sketch เลือกคำสั่ง Circle เพื่อทำการสร้างวงกลมเส้นผ่านศูนย์กลาง 4 mm วัดลงที่จุดปลายของเส้น โดยที่โปรแกรม Solidworks จะอ่านเป็นรัศมี เราจึงใส่ 2 mm วงกลมมีรัศมีเท่ากับ 2 mm เลือกคำสั่ง Exit Sketch ดังรูปที่ 3.4



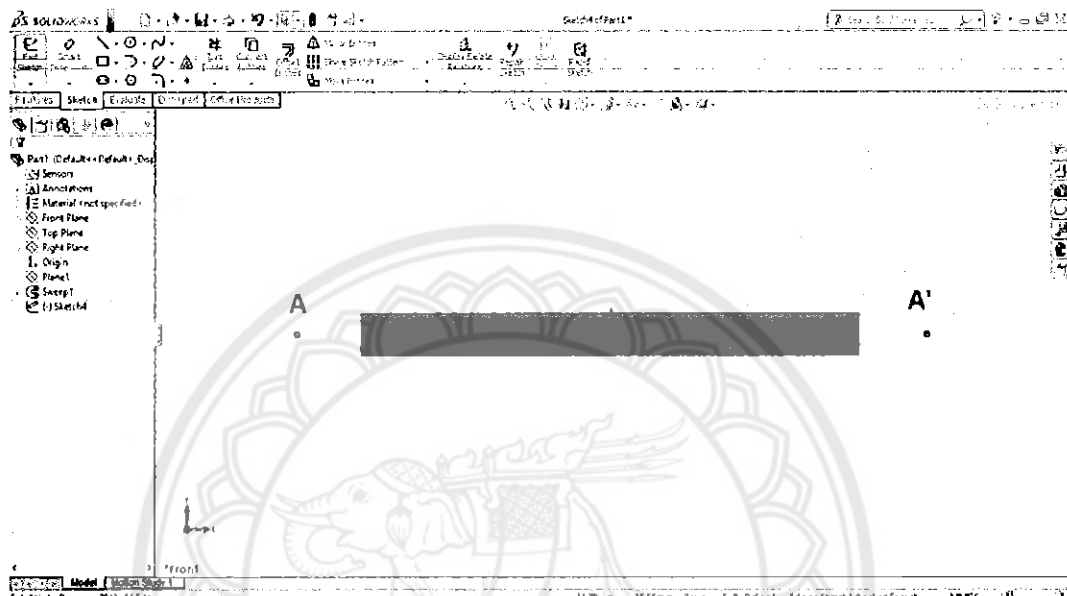
รูปที่ 3.4 การสร้างวงกลมทางเข้าของหลอดเลือดหลัก

3.1.4 ไปที่เมนู Feature เลือกคำสั่ง Swept boss/base เพื่อสร้างทรงกระบอกรอบเส้นศูนย์กลางที่ร่างไว้และคลิกที่สร้างในรูปที่ 3.4 แล้วคลิกที่เส้นในระนาบ จะได้หลอดเลือดหลัก เป็นทรงกระบอกที่มีเส้นผ่านศูนย์กลาง 4 mm ยาว 50 mm ดังรูปที่ 3.5



รูปที่ 3.5 แบบร่างหลอดเลือดหลัก

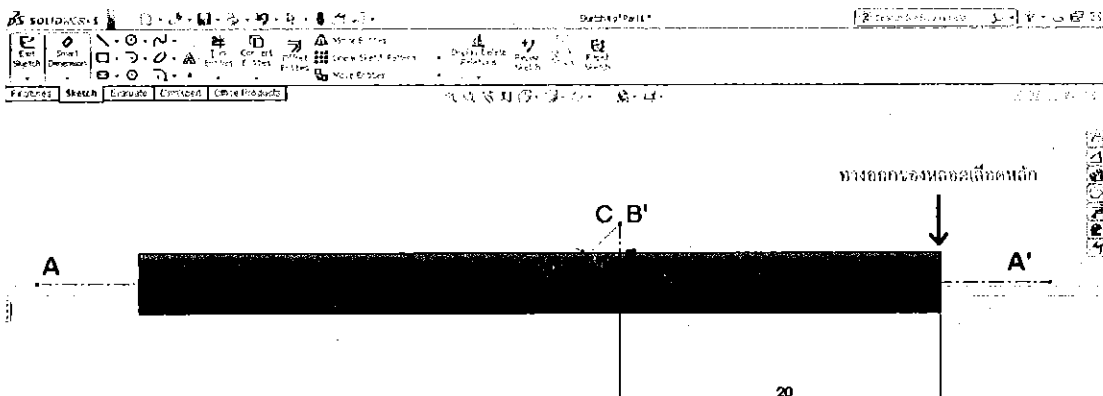
3.1.5 เลือกรอบ面 Front Plane ไปคลิกที่คำสั่ง Sketch เลือกคำสั่ง Line เลือกคำสั่งย่ออย Center Line วาดเส้นศูนย์กลางบนรอบ面 Front Plane เพื่อนำเส้นศูนย์กลางที่จุดกึ่งกลาง ทรงกระบอกนี้ไปใช้ในอ้างอิงเพื่อวางแผนของหลอดเลือดสาขาต่อไป เรียกเป็นเส้นศูนย์กลาง A-A' ในหัวข้อต่อไป แล้วเลือกคำสั่ง Exit Sketch ดังรูปที่ 3.6



รูปที่ 3.6 เส้นศูนย์กลางของหลอดเลือดหลัก

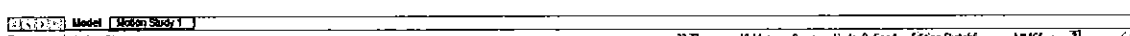
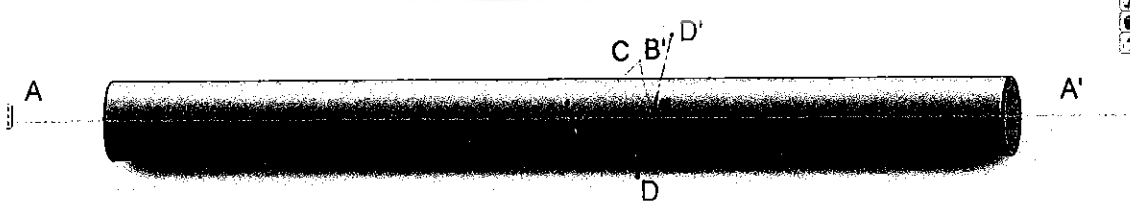
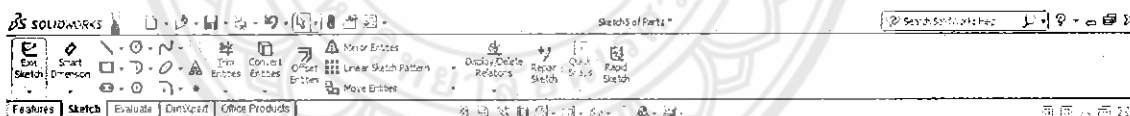
3.1.6 กำหนดตำแหน่งของหลอดเลือดสาขาโดยเริ่มจากเลือกรอบ面 Front Plane แล้วคลิกคำสั่ง Sketch เลือกคำสั่ง Line เลือกคำสั่งย่ออย Center line วาดเส้นศูนย์กลางอีกเส้นหนึ่งให้ตั้งฉาก กับเส้น A-A' และเรียกเส้นนี้ว่า B-B' โดยกำหนดให้เส้น B-B' อยู่กึ่งกลางท่อและห่างจากทางออกของหลอดเลือดหลัก 20 mm โดยอาศัยคำสั่ง Smart Dimension จากนั้นสร้างเส้นศูนย์กลางขึ้นมาใหม่อีกเส้นหนึ่งโดยใช้ขั้นตอนข้ามเดิมที่แล้วใช้คำสั่ง Smart Dimension เพื่อให้ทำมุม 45° กับ A-A' โดยลากจากจุด B' มายังเส้น A-A' และเรียกเส้นนี้ว่า C-C' ก็จะได้เส้นร่างของหลอดเลือดสาขา ดังรูปที่ 3.7

หมายเหตุ : ในที่นี่เรายังไม่กำหนดความยาวของเส้น C-C' แต่จะไปกำหนดในขั้นตอนสุดท้ายแทน



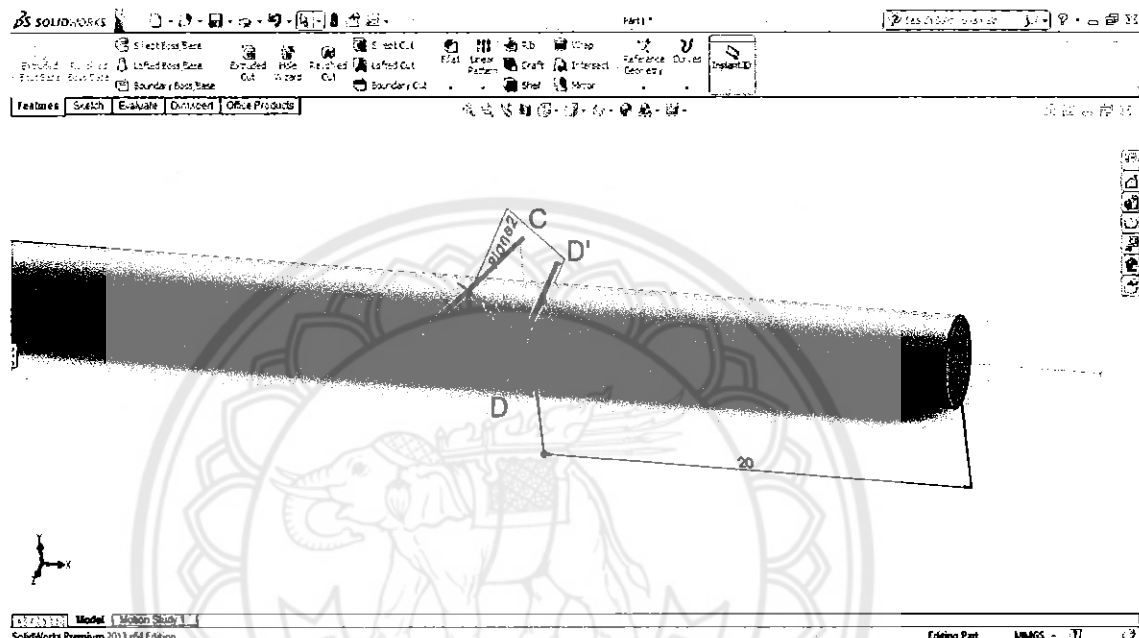
รูปที่ 3.7 การสร้างเส้นศูนย์กลางเพื่อใช้อ้างอิงในการสร้างหลอดเลือดสาขา

3.1.7 เลือกรอบฐาน Top Plane ไปคลิกที่คำสั่ง Sketch เลือกคำสั่ง Line แล้วเลือกคำสั่ง ย่ออย Center line วาดเส้นศูนย์กลางให้ตัดผ่านเส้นศูนย์กลาง B-B' ที่กำหนดไว้ในข้อที่ 3.1.6 เเรียกว่า เส้น D-D' โดยวาดผ่านจุด B ทำมุกกับแกน A-A' ทำเอากัน 90° เพื่อนำไปสู่การสร้างฐานใหม่อีก ฐานหนึ่งสำหรับเตรียมสร้างหลอดเลือดสาขาต่อไป ดังรูปที่ 3.8



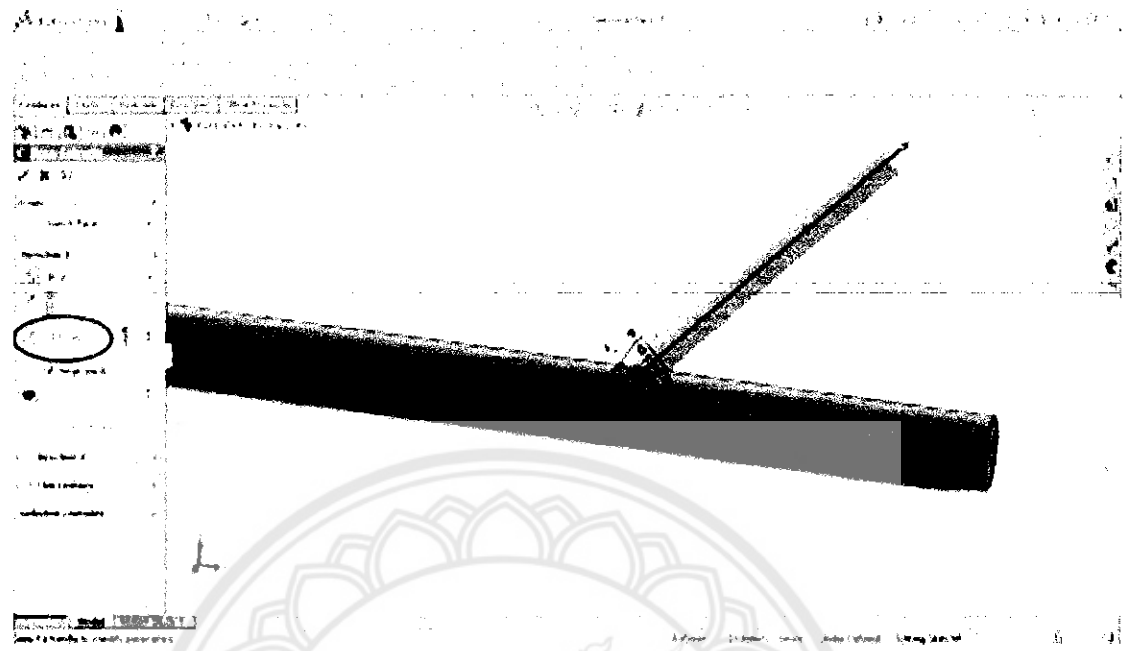
รูปที่ 3.8 การสร้างเส้นศูนย์กลางใช้อ้างอิงในการสร้างหลอดเลือดสาขา

3.1.8 ไปที่เมนู Feature เลือกคำสั่ง Reference Geometry แล้วเลือกคำสั่งย่ออย Plane จะได้รูปแบบใหม่ใช้ในการอ้างอิงการสร้างหลอดเลือดสาขาอย โดยคลิกเส้นศูนย์กลาง C-C' ที่ทำมุม 45° ที่กำหนดไว้ในข้อที่ 3.1.6 แล้วคลิกเส้นศูนย์กลาง D-D' ที่สร้างไว้ในข้อที่ 3.1.7 จะได้รูปแบบใหม่ในการอ้างอิงการสร้างหลอดเลือดสาขา ดังรูปที่ 3.9



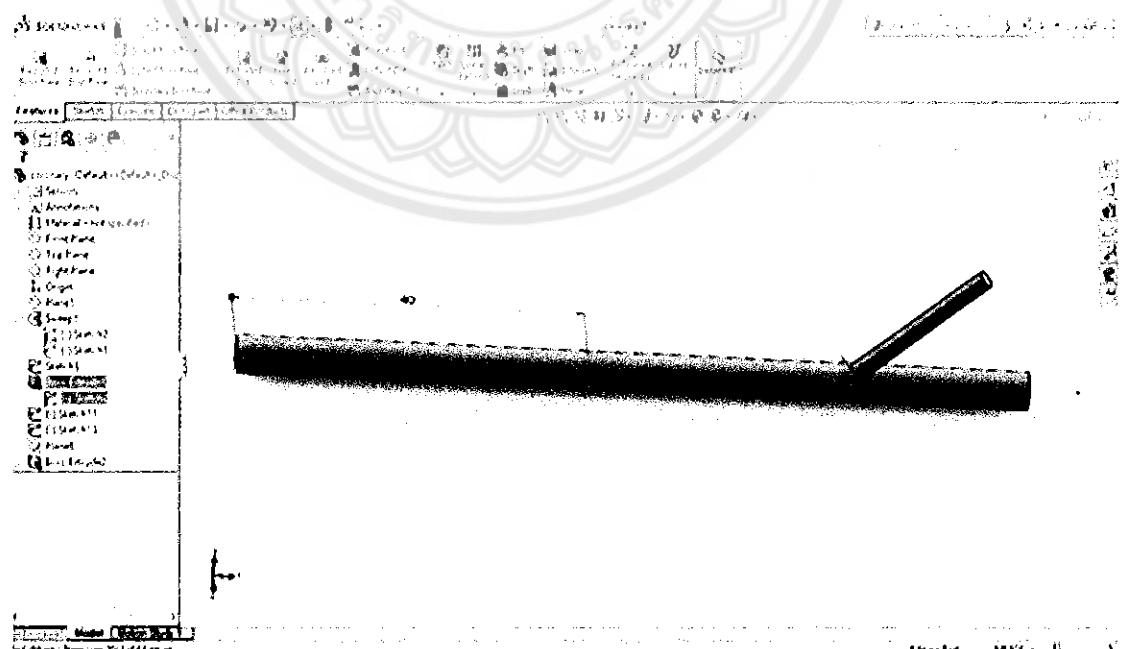
รูปที่ 3.9 การสร้างรูปแบบอ้างอิงใหม่ใช้ในการสร้างหลอดเลือดสาขา

3.1.9 เลือกรูปแบบใหม่ในข้อที่ 3.1.8 คลิกที่คำสั่ง Sketch เลือกคำสั่ง Circle เพื่อสร้างวงกลมเส้นผ่านศูนย์กลางขนาด 2 mm วัดลงบนรูปแบบใหม่กำหนดรัศมีของหลอดเลือดสาขาเท่ากับ 1 mm คลิกเครื่องหมายถูก แล้วเลือกคำสั่ง Exit Sketch หลังจากนั้นดับเบิลคลิกวงกลมที่สร้าง แล้วไปที่เมนู Feature เลือกคำสั่ง Extruded Boss/base เพื่อเพิ่มความยาวหลอดเลือดสาขา แล้วจึงปรับขนาด $D_1 = 20\text{ mm}$ (หมายเลข 1) จะได้หลอดเลือดสาขาอยู่ที่มีขนาดเส้นผ่านศูนย์กลาง 2 mm ยาว 20 mm ดังรูปที่ 3.10



รูปที่ 3.10 การสร้างหลอดเลือดสาขาเชื่อมกับหลอดเลือดหลัก

3.1.10 คลิกขอบวงกลมหลอดเลือดหลักที่ทางขาเข้า ไปที่เมนู Feature เลือกคำสั่ง Extruded Boss/Base เพื่อเพิ่มความยาวหลอดเลือดหลักให้เท่ากับ 40 mm คลิกเครื่องหมายถูก ดังรูปที่ 3.11 ก็จะได้หลอดเลือดแยกสองช่วงปกติ
หมายเหตุ : ในขั้นตอนนี้เราเพิ่มความยาวของหลอดเลือดหลักเพื่อป้องกันการ End Effect.

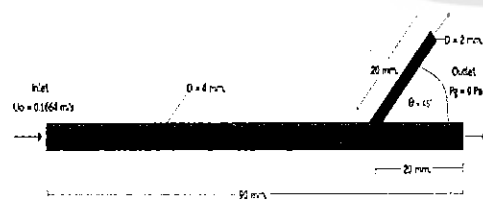


รูปที่ 3.11 การเพิ่มความยาวของหลอดเลือดหลัก

3.2 การเขียนแบบจำลองหลอดเลือดส่องจ่ามที่ใส่ชุดลวด

สำหรับการศึกษานี้เราสร้างแบบจำลองขึ้นมา 2 แบบคือ แบบจำลองที่ 1 จำกัดจำนวน เชลล์ให้คงที่ที่ 28 เชลล์ แต่ความหนาของชุดลวดแตกต่างกันได้แก่ 0.3 , 0.4 และ 0.5 mm แบบจำลองที่ 2 กำหนดให้ความหนาของชุดลวดคงที่ที่ 0.4 mm แต่จำนวนเชลล์แตกต่างกันได้แก่ 15 , 28 และ 54 เชลล์ ในที่นี้เราจะแสดงเฉพาะการเขียนแบบจำลองหลอดเลือดส่องจ่ามที่ใส่ชุดลวดที่ความหนา 0.5 mm และจำนวน 28 เชลล์ ดังแสดงในรูปที่ 3.12 สำหรับการเขียนแบบจะแบ่งได้ 4 ส่วน หลักๆ ได้แก่ (1) หลอดเลือดหลัก (2) ชุดลวดที่ใส่ในหลอดเลือดหลัก (3) รอยเชื่อมของชุดลวด ดังแสดงในรูปที่ 3.13 และ (4) หลอดเลือดสาขา

เริ่มจากการสร้างหลอดเลือดหลักจะวัดเส้นผ่านศูนย์กลางและวงกลมของหลอดเลือดหลักลงบนฐาน แล้วใช้คำสั่ง Swept Boss/Base สร้างทรงกระบอกรอบเส้นผ่านศูนย์กลาง จะได้ขนาดทรงกระบอกที่มีเส้นผ่านศูนย์กลาง 4 mm ยาว 50 mm หลังจากนั้นทำการสร้างชุดลวดที่ใส่ในหลอดเลือดหลักโดยการวัดขนาดชุดลวดรูปสี่เหลี่ยมขนมเปียกปูนลงบนฐานอ้างอิงและทำการวางชุดลวดลงบนหลอดเลือดหลักและร่างรอยเชื่อมของชุดลวดตามแนวแกนของหลอดเลือดหลักแล้วทำการสร้างรอยเชื่อมลงบนหลอดเลือดหลักระหว่างชุดลวด หลังจากนั้นวัดระยะรอยเชื่อมที่เชลล์หัวท้ายของชุดลวด และทำการสร้างรอยเชื่อมลงบนหลอดเลือดระหว่างชุดลวดหัวท้ายของเชลล์ ส่วนสุดท้ายหลอดเลือดสาขา เนื่องจากความกว้างของชุดลวดเส้นผ่านศูนย์กลางเท่ากับ 2 mm ลงในฐาน ซึ่งเพิ่มความยาวของหลอดเลือดสาขาโดยอาศัยคำสั่ง Extruded Boss/base ให้ความยาวของหลอดเลือดสาขาเท่ากับ 20 mm เราจะได้หลอดเลือดแยกสองส่วนที่ใส่ชุดลวด ที่สามารถนำไปคำนวณทางระบบวิธีไฟในท่อ อิลิเมนท์ โปรแกรม COMSOL โดยจะต้องเซฟไฟล์จากโปรแกรม Solidworks เป็นไฟล์ STEP AP 203 (.STEP) เพื่อนำไปวิเคราะห์การไหลต่อไป

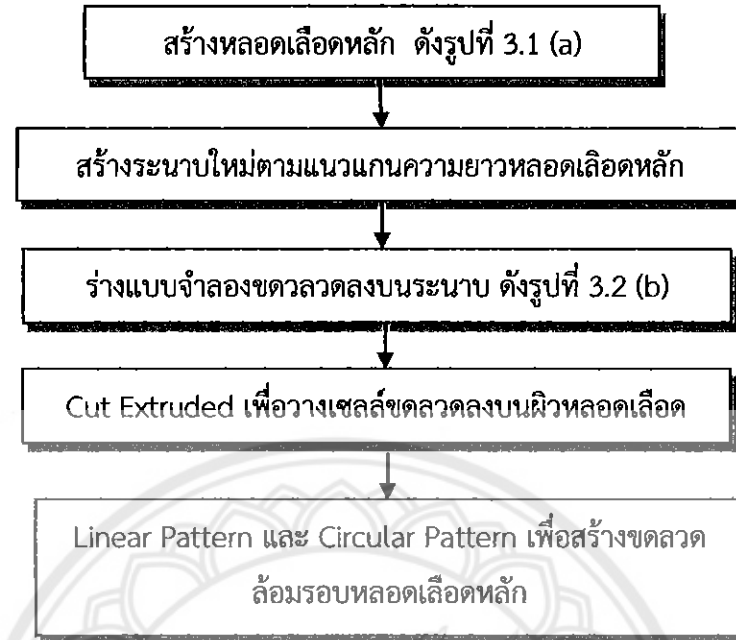


(a) ชุดลวดมีความหนา 0.5 mm

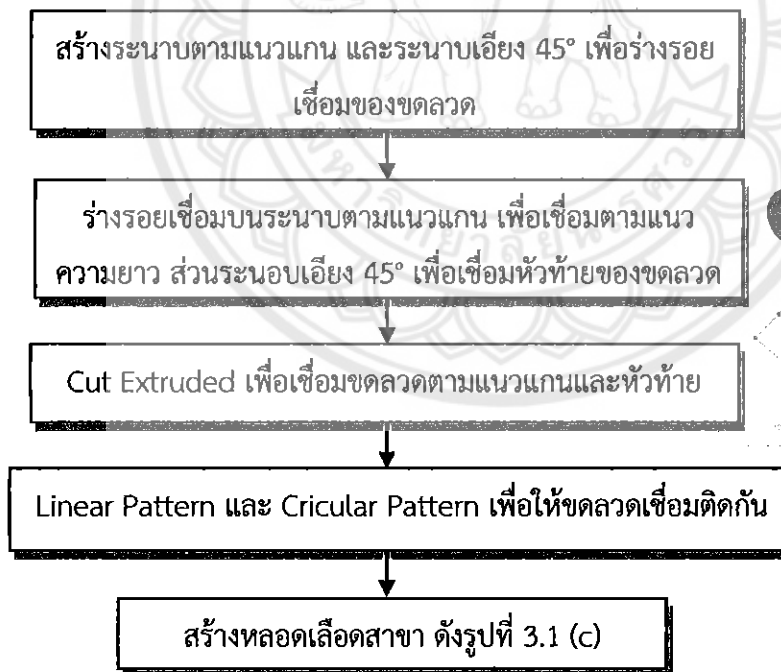
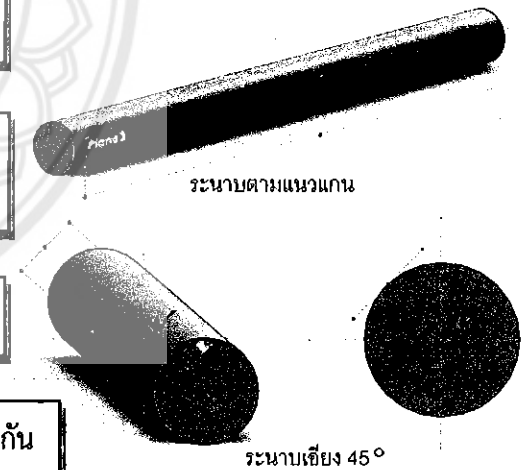


(b) ขนาดและมุมของชุดลวด 1 เชลล์

รูปที่ 3.12 แบบจำลองหลอดเลือดส่องจ่ามที่ใส่ชุดลวดที่ความหนา 0.5 mm และจำนวน 28 เชลล์



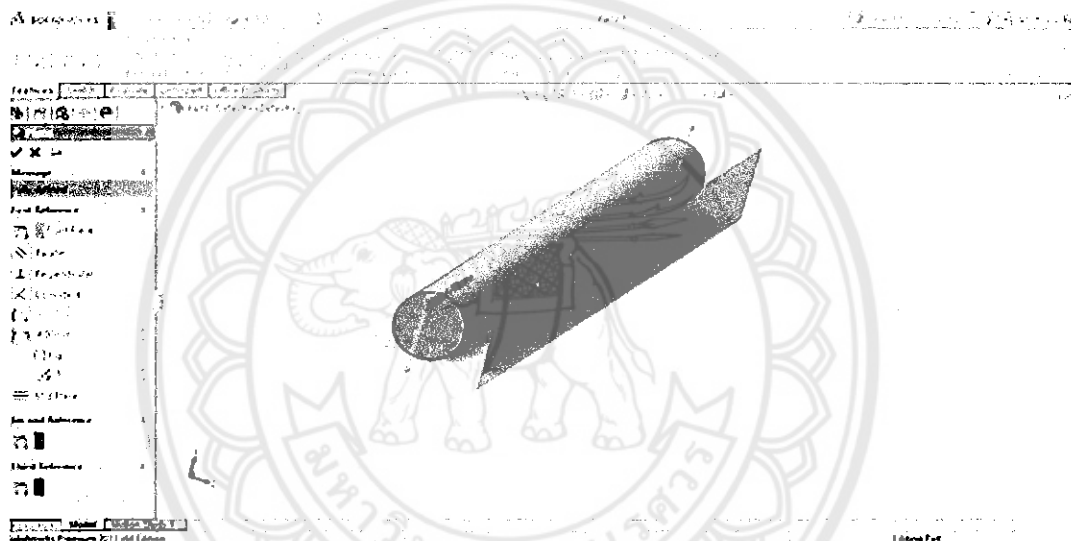
(a) แนวคิดในการเขียนแบบหลอดเลือดหลัก

(b) แนวคิดในการสร้างขดลวดในหลอดเลือด
รูปที่ 3.13 สรุปแนวคิดในการเขียนแบบหลอดเลือดสองชั้นที่ใส่ขดลวด

การสร้างแบบจำลองของหลอดเลือดแดงสองชั้นที่ใส่คลาด โดยใช้โปรแกรม Solidworks มีวิธีการดังนี้

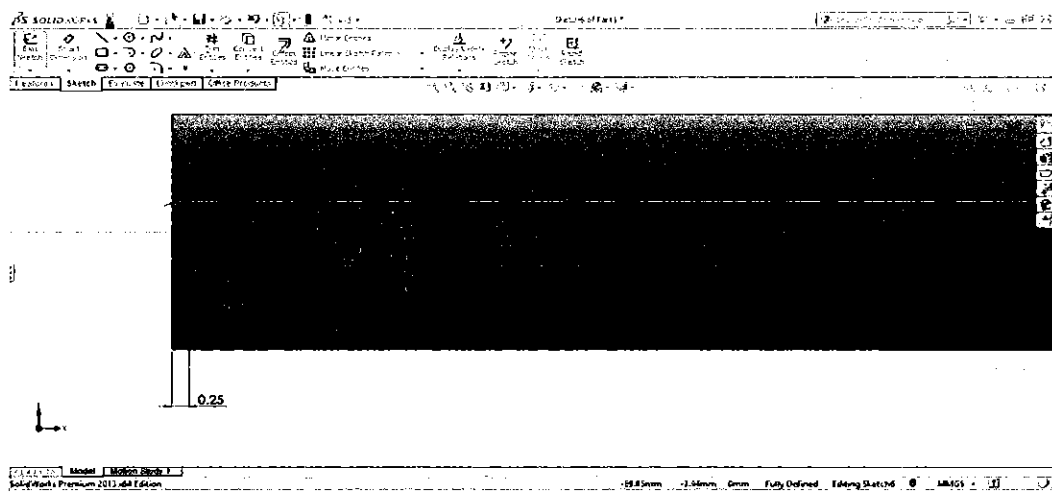
3.2.1 เราจะเริ่มการเขียนแบบหลอดเลือดหลักก่อน ซึ่งมีขั้นตอนเดียวกับหัวข้อที่แล้วตั้งแต่ รูปที่ 3.2 ถึง 3.6

3.2.2 เมื่อได้หลอดเลือดหลักแล้ว เราจะเริ่มจากการเขียนแบบขดลวดโดยเลือกรอบ面 Front Plane ซึ่งจะเห็นรอบอยู่ห่างจากผิวห้องๆ เนื่องจากต้องให้เป็นเส้นตรง Feature คลิกคำสั่ง Reference Geometry เลือกคำสั่งย่ออย Plane เพื่อร่างขนาดของขดลวดเป็นรูปสี่เหลี่ยม ขนาดเปยกปุน จะได้รูปแบบใหม่ในการร่างขนาดของขดลวด ดังรูปที่ 3.14



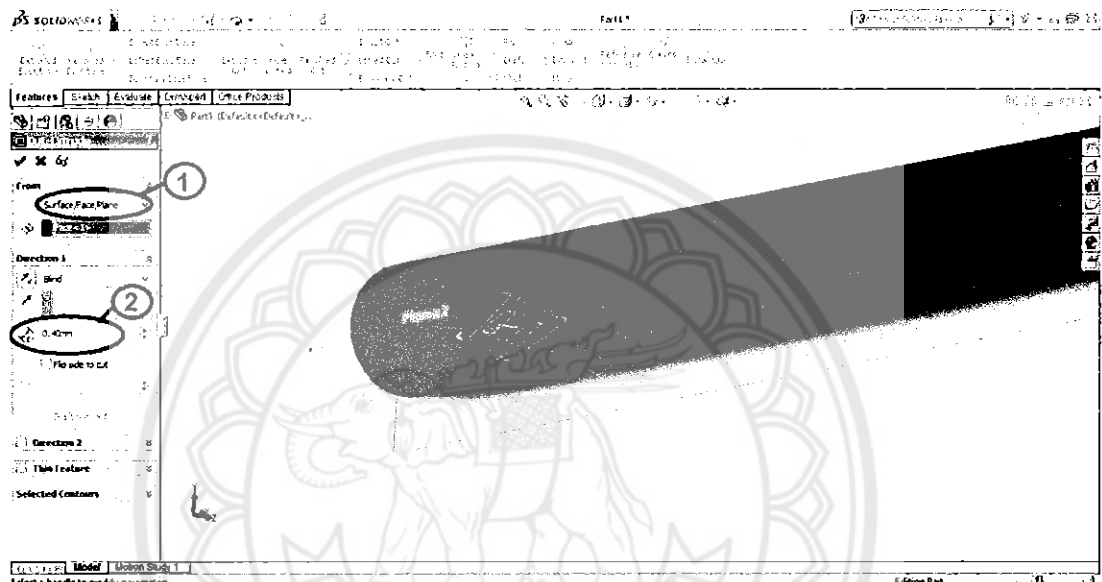
รูปที่ 3.14 การสร้างรูปแบบใหม่ในการร่างขนาดของขดลวด

3.2.3 เลือกรอบ面ในข้อที่ 3.2.2 เพื่อวัดขดลวด โดยคลิกที่คำสั่ง Sketch เลือกคำสั่ง Line วัดขนาดขดลวดบนรอบโดยจะต้องใช้เส้นศูนย์กลาง A-A' ที่กล่าวมา แล้วอ้างอิงในการกำหนดขนาดและมุมโดยอาศัยคำสั่ง Smart Dimension ดังรูปที่ 3.15



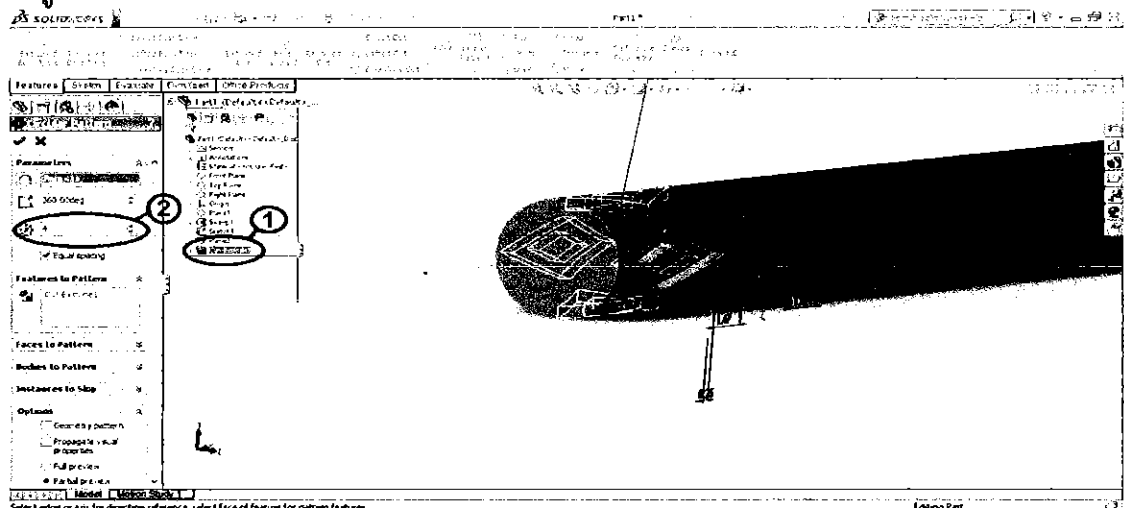
รูปที่ 3.15 การร่างขนาดของขดลวด 1 เซลล์

3.2.4 ขั้นตอนถัดมาเป็นการ Engrave หรือฝังเซลล์ขดลวด 1 เซลล์ลงบนท่อตัน ร้าวกับว่า ท่อตันถูกสักด้วยเป็นรูปสี่เหลี่ยมขนมเปียกปูนลึกลงไป 0.4 mm เมื่อมองเป็นช่องทางการไฟล์ก็ เมื่อก่อนกับมีเซลล์ของขดลวดยืนเข้าไป ดังนั้นคลิกเซลล์ของขดลวดในหัวข้อ 3.2.3 ไปที่เมนู Feature เลือกคำสั่ง Cut extruded เปลี่ยนตรง From ให้เป็น surface/face/plane (หมายเลข 1) ปรับ ขนาดความลึก (D_1) = 0.4 mm (หมายเลข 2) คลิกที่ผิวหลอดเลือดหลัก คลิกเครื่องหมายถูก ดังรูปที่ 3.16



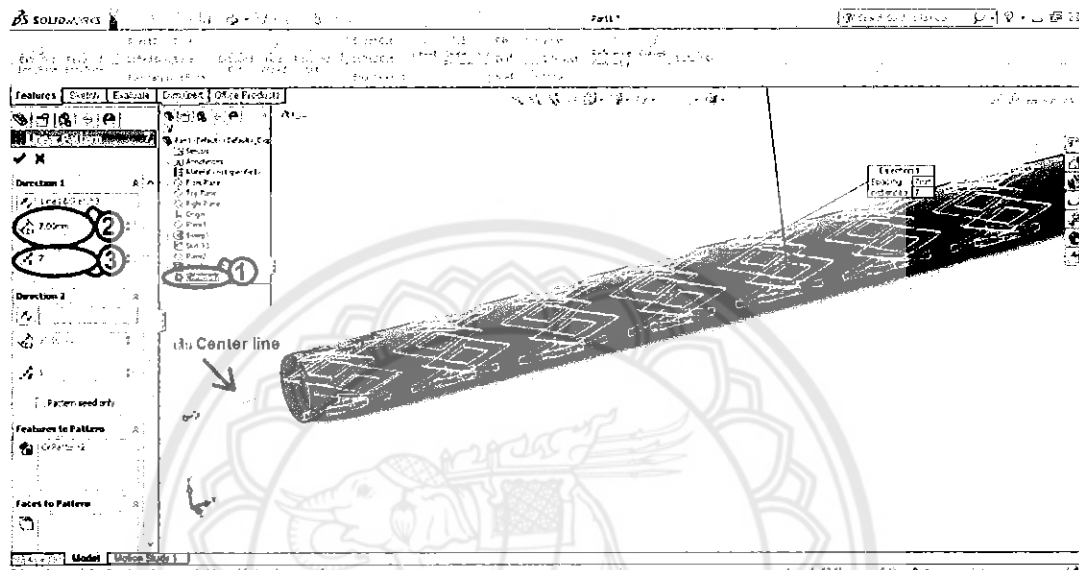
รูปที่ 3.16 การเจาะผิวหลอดเลือดหลัก โดยแบบร่างขดลวดรูปที่ 3.15

3.2.5 คลิก Cut extruded (หมายเลข 1) ไปที่เมนู Feature เลือกคำสั่ง Linear Pattern เลือกคำสั่งย่อย Circular Pattern ซึ่งเป็นตัวเลือกที่ทำให้เรียงเซลล์ขดลวดให้รอบเป็นวงกลม โดยที่ คำสั่งนี้จะเรียงเซลล์ของขดลวดเป็นวงกลม 360° แล้วจักระยะให้โดยอัตโนมัติ จากนั้นคลิกที่ผิวหลอด เลือด แล้วปรับจำนวนเท่ากับ 4 ให้เรียงล้อมรอบหลอดเลือดหลัก (หมายเลข 2) คลิกเครื่องหมายถูก ดังรูปที่ 3.17



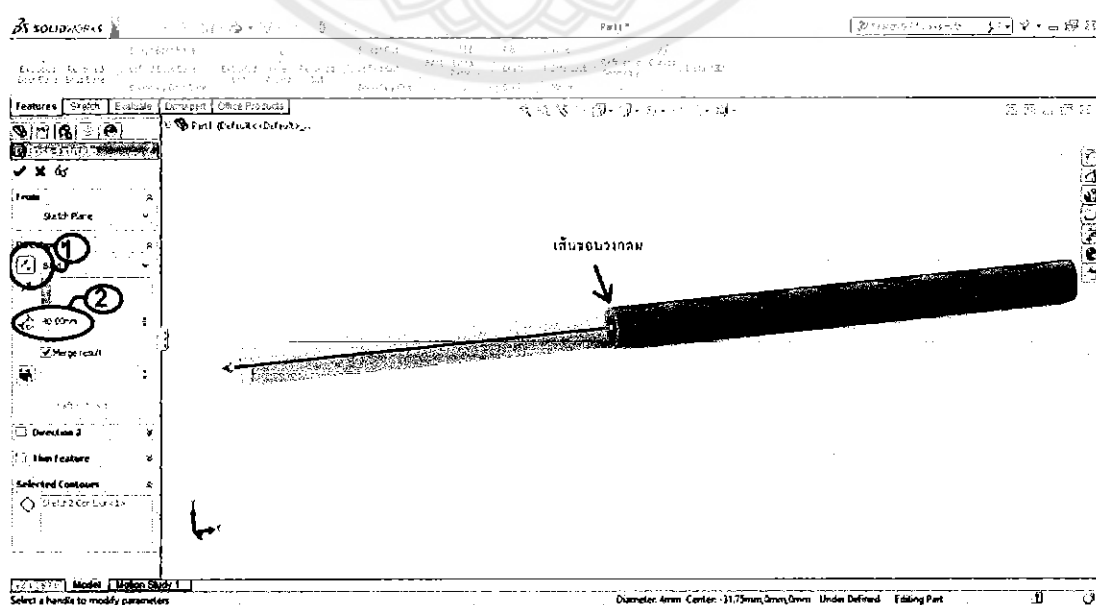
รูปที่ 3.17 การสร้างเซลล์ของขดลวดฝังรอบล้อมหลอดเลือดหลัก

3.2.6 คลิก Cir Pattern (หมายเลข 1) ไปที่เมนู Feature คลิก Linear Pattern แล้วคลิกเส้นศูนย์กลางอ้างอิง A-A' Center Line เพื่ออ้างอิงในการสร้างจำนวนชีล์ของขดลวด ปรับระยะ $D_1 = 7$ mm คือระยะห่างของชีล์ที่เป็นรูบวงกลมตัดไป.(หมายเลข 2) และปรับจำนวนเท่ากับ 7 (หมายเลข 3) คลิกเครื่องหมายถูก ดังรูปที่ 3.18



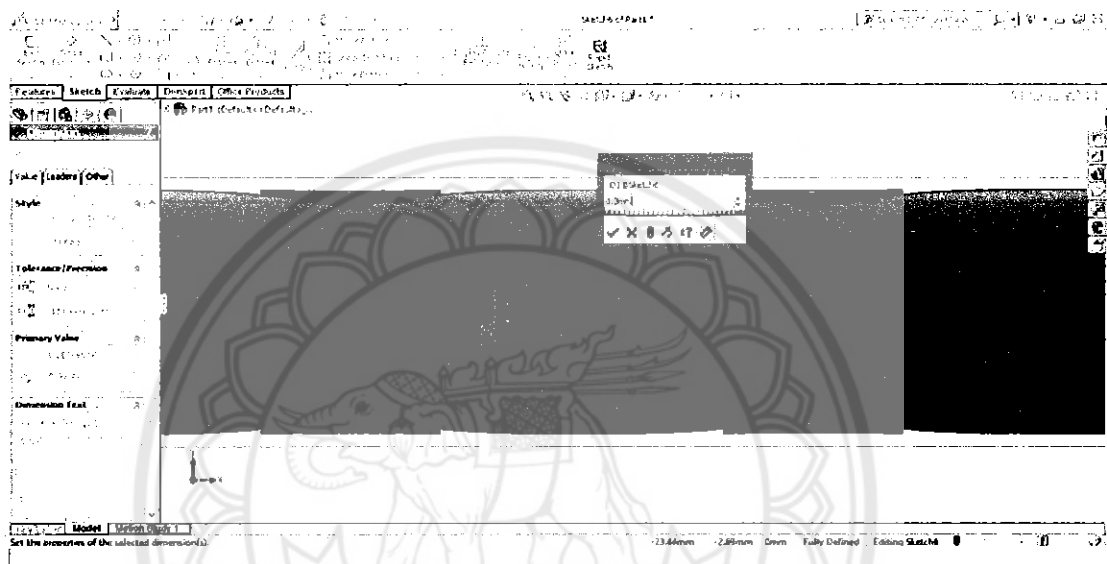
รูปที่ 3.18 การสร้างแฉกของชีล์ของขดลวดตามแนวเส้นศูนย์กลางของหลอดเลือดหลัก

3.2.7 คลิกขอบวงกลมหลอดเลือดหลักที่ทางขาเข้า ไปที่เมนู Feature เลือกคำสั่ง Extruded Boss/Base ถ้าเกิดการเพิ่มความยาวห่อผิดด้านให้คลิกกลับด้าน (หมายเลข 1) และปรับระยะความยาวห่อออกไปอีกเท่ากับ 40 mm (หมายเลข 2) คลิกเครื่องหมายถูก เพื่อป้องกันการเกิด Edge Effect เวลาที่คำนวณการไหลผ่านหลอดเลือด ดังรูปที่ 3.19



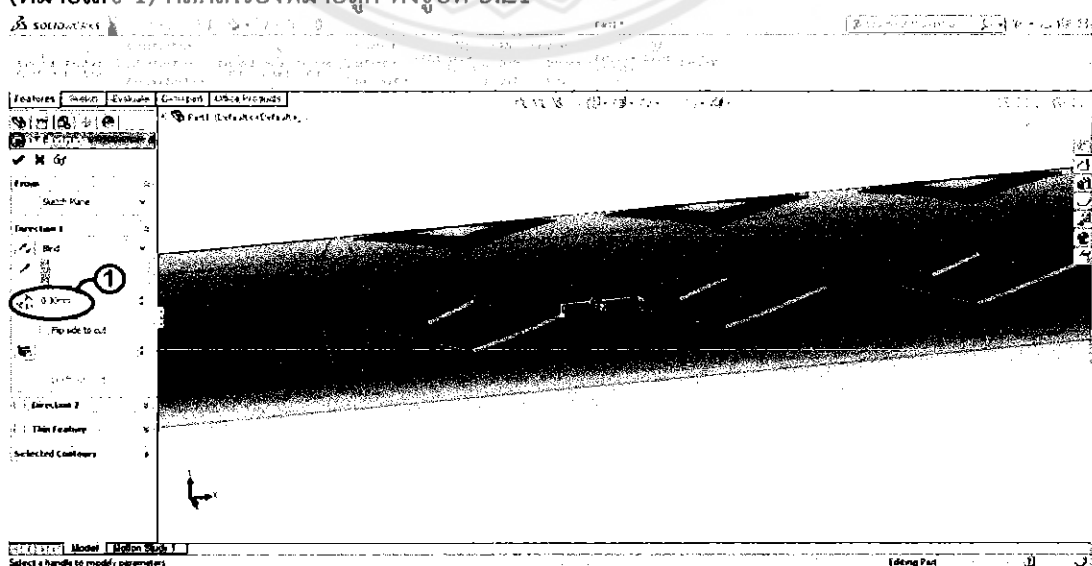
รูปที่ 3.19 การเพิ่มความยาวหลอดเลือดหลัก

3.2.8 ขั้นตอนถัดไปจะเป็นการร่างรอยเชื่อมของเซลล์ขดลวดตามแนวแกนของหลอดเลือดหลัก โดยเริ่มจากเลือกระนาบ Front Plane ไปที่เมนู Feature เลือกคำสั่ง Reference Geometry เลือกคำสั่งป้าย Plane จะได้ระบบทใหม่ในการร่างรอยเชื่อมของขดลวด ปรับขนาดระยะห่างของระบบทใหม่ให้เท่ากับ 2 mm และเลือกระนาบใหม่ไปคลิกที่คำสั่ง Sketch เลือกคำสั่ง line วิเคราะห์รอยเชื่อมระหว่างขดลวด จนนั้นปรับขนาดความหนาโดยใช้คำสั่ง Smart Dimension ให้เท่ากับ 0.3 mm ดังรูปที่ 3.20



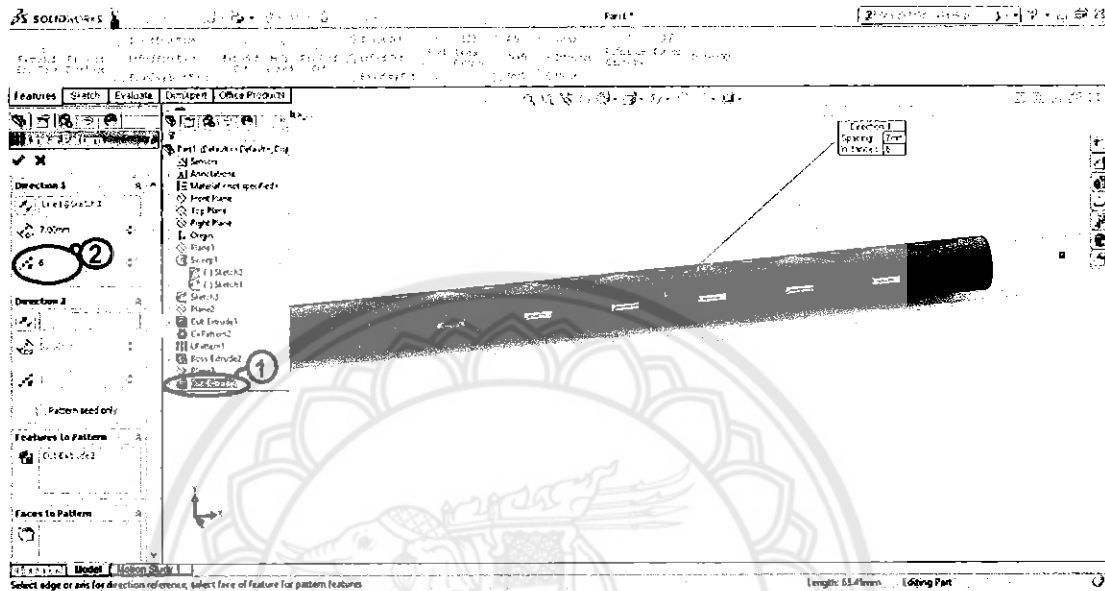
รูปที่ 3.20 การสร้างรอยเชื่อมระหว่างขดลวด

3.2.9 หลังจากได้ร้อยเชื่อม คลิกปรอยเชื่อมในข้อที่ 3.2.8 ทำการสกัดห่อออกเป็นรูปสี่เหลี่ยมผืนผ้า เพื่อให้ขดลวดเชื่อมกัน จากนั้นไปที่เมนู Feature เลือกคำสั่ง Cut Extruded ปรับระยะความลึก $D_1 = 0.3$ mm เพื่อให้โดเมนการคำนวณสามารถใช้ได้กับโปรแกรม COMSOL ต่อไป (หมายเหตุ 1) คลิกเครื่องหมายถูก ดังรูปที่ 3.21



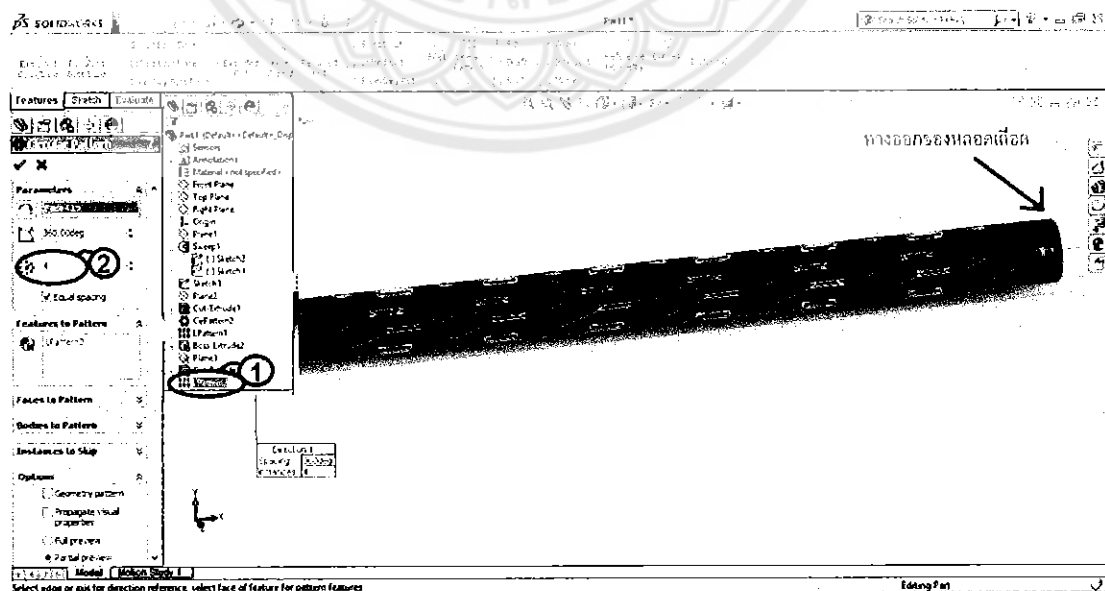
รูปที่ 3.21 การสร้างรอยเชื่อมระหว่างเซลล์ของขดลวดตามแนวแกนของหลอดเลือดหลัก

3.2.10 คลิก Cut Extruded จากข้อที่ 3.2.9 (หมายเลข 1) ไปที่เมนู Feature เลือกคำสั่ง Linear Pattern คลิกที่เส้นศูนย์กลางอ้างอิง A-A' เพื่ออ้างอิง แล้วปรับจำนวนรอยเชื่อมเท่ากับ 6 (หมายเลข 2) คลิกเครื่องหมายถูก ดังรูปที่ 3.22



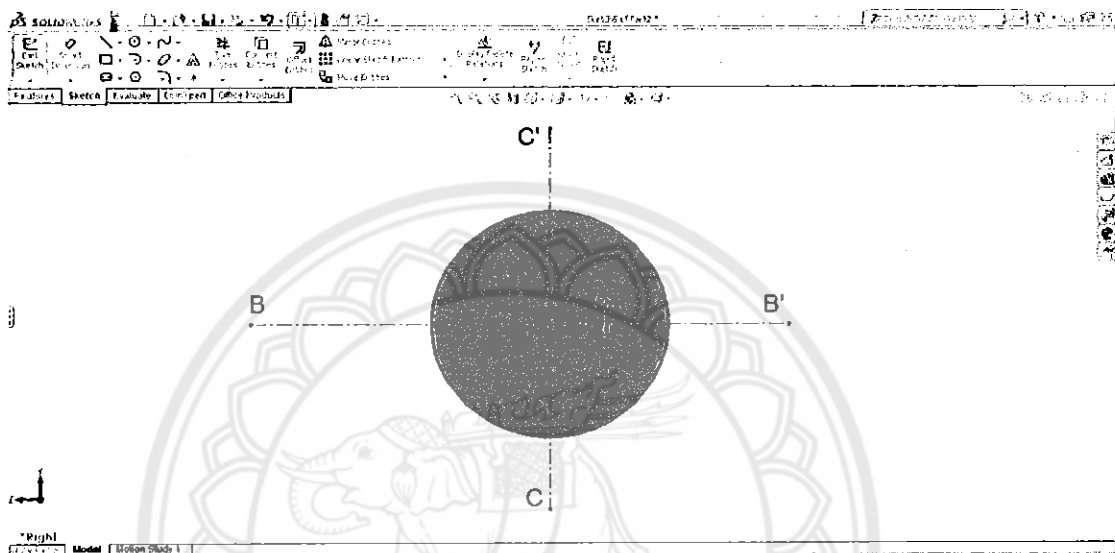
รูปที่ 3.22 การสร้างรอยเชื่อมตามแนวหลอดเลือดหลัก

3.2.11 คลิก L Pattern (Linear Pattern) จากข้อที่ 3.2.10 (หมายเลข 1) เลือก Linear Pattern เลือกคำสั่งย่อวิ Circular Pattern คลิกที่ผิวหลอดเดือด แล้วปรับให้เท่ากับจำนวนขาดลาดเท่า 4 (หมายเลข 2) คลิกเครื่องหมายถูก เพื่อทำให้รอยเชื่อมล้อมรอบหลอดเลือดหลัก ดังรูปที่ 3.23



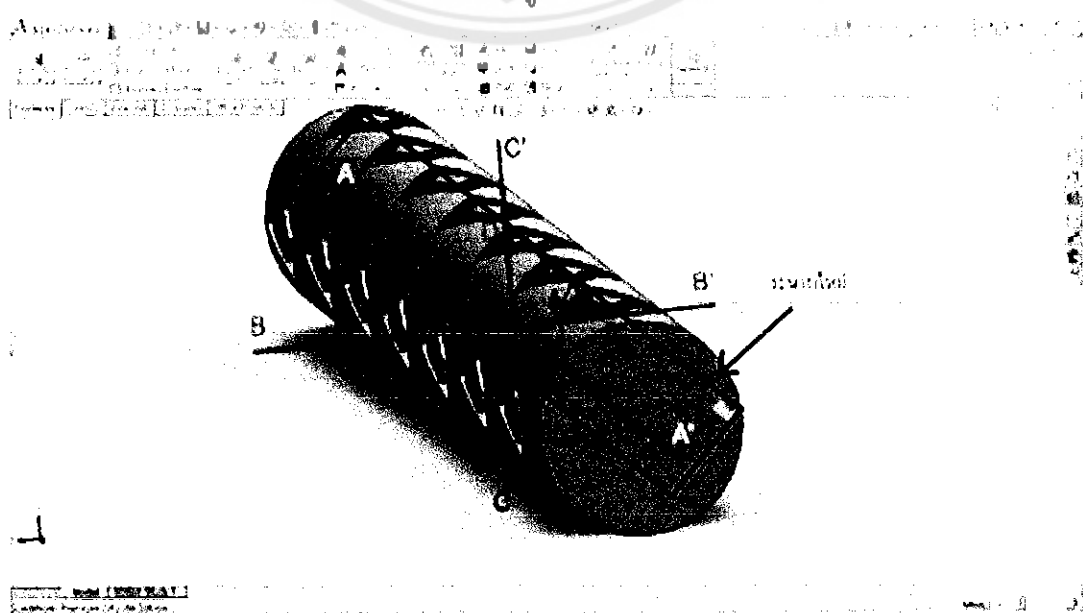
รูปที่ 3.23 การสร้างรอยเชื่อมล้อมรอบหลอดเลือดหลัก

3.2.12 เลือกระนาบ Right Plane (ตำแหน่งทางออก ดูรูปที่ 3.23) เพื่อใช้ระนาบอ้างอิงนี้ในการสร้างรอยเชื่อมที่เซลล์หัวท้ายของคลาวด์ ไปคลิกที่คำสั่ง Sketch และเลือกคำสั่ง Line เลือกคำสั่งย่อ Center Line วัดเส้นศูนย์กลางเส้นแรกที่ผ่านกลางหน้าตัดแนวตั้งและแนวนอน จะได้เส้น C-C' และ B-B' ตามลำดับหลังจากนั้นวัดเส้นศูนย์กลางอีกเส้นให้ทำมุมกับเส้น B-B' 45° เพื่อใช้ในการสร้างระนาบอ้างอิงที่สามารถทำการตรวจสอบเชื่อมที่ผิวโค้ง ดังรูป 3.22 เลือกคำสั่ง Exit Sketch



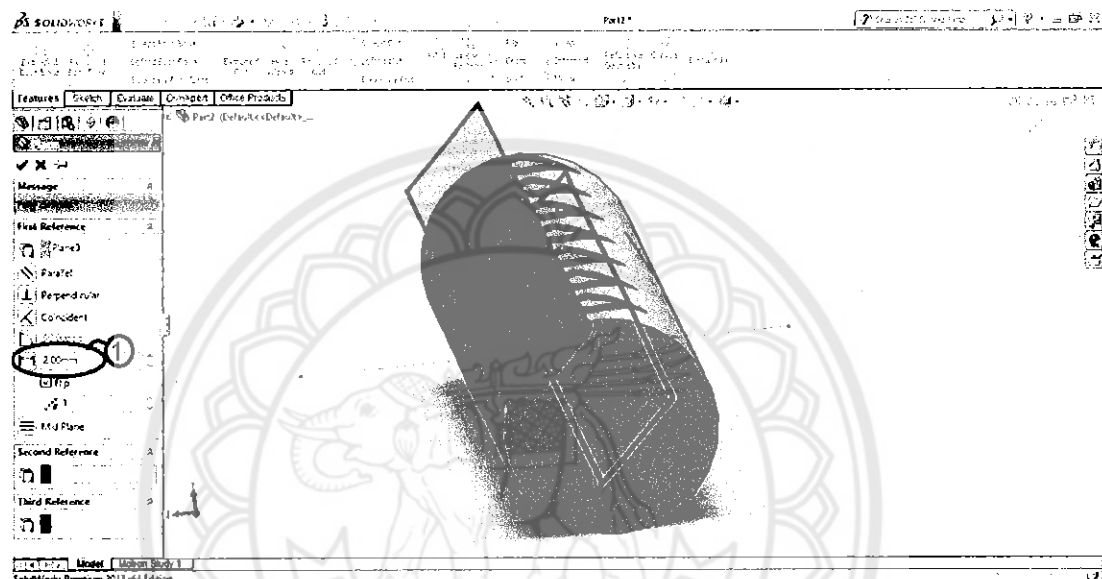
รูปที่ 3.24 การสร้างเส้นศูนย์กลางเพื่อใช้สร้างระนาบอ้างอิง

3.2.13 ขั้นตอนการสร้างระนาบอ้างอิงเพื่อการตรวจสอบเชื่อมที่ผิวโค้ง ไปที่เมนู Feature เลือกคำสั่ง Reference Geometry เลือกคำสั่งย่อ Plane คลิกเส้นศูนย์กลาง D-D' และคลิกเส้นศูนย์กลาง A-A' เราจะได้ระนาบใหม่อยู่ที่กึ่งกลางของหลอดเลือดหลักและจะใช้ระนาบนี้ในการอ้างอิงในการสร้างระนาบใหม่อีกรอบหนึ่งท่อไป ดังรูปที่ 3.25



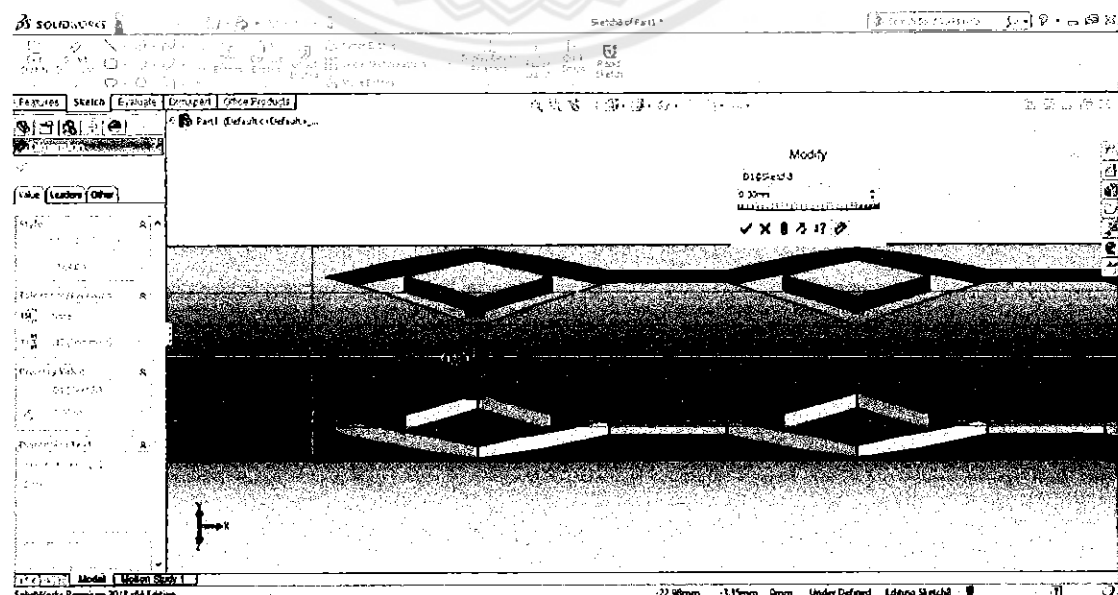
รูปที่ 3.25 การสร้างระนาบอ้างอิงที่กึ่งกลางหลอดเลือด

3.2.14 คลิกระนาบใหม่ที่ได้จากข้อ 3.2.13 (กรอบสีดำ) เพื่อสร้างระนาบใหม่อีกรอบให้อยู่ที่ผิวของหลอดเลือดหลักพอดี ซึ่งจะขนาดกับระนาบที่สร้างขึ้นในข้อที่ 3.2.13 เราชำทำการฝังรอยเชื่อมลงในหลอดเลือดโดยใช้รูบานนี้ โดยไปที่เมนู Feature เลือกคำสั่ง Reference Geometry เลือกคำสั่งย่ออย Plane เพื่อสร้างระนาบให้อยู่ใกล้กับหลอดเลือดหลักง่ายต่อการวัดรอยเชื่อมหัวท้ายของหลอดเลือด กำหนดให้ระยะห่างเท่ากับ 2 mm (หมายเลข 1) ซึ่งเป็นระยะเท่ากับรัศมีของหลอดเลือดหลัก หลังจากนั้นระนาบจะอยู่บนผิวโถงพอดี (กรอบสีแดง) ดังรูปที่ 3.26



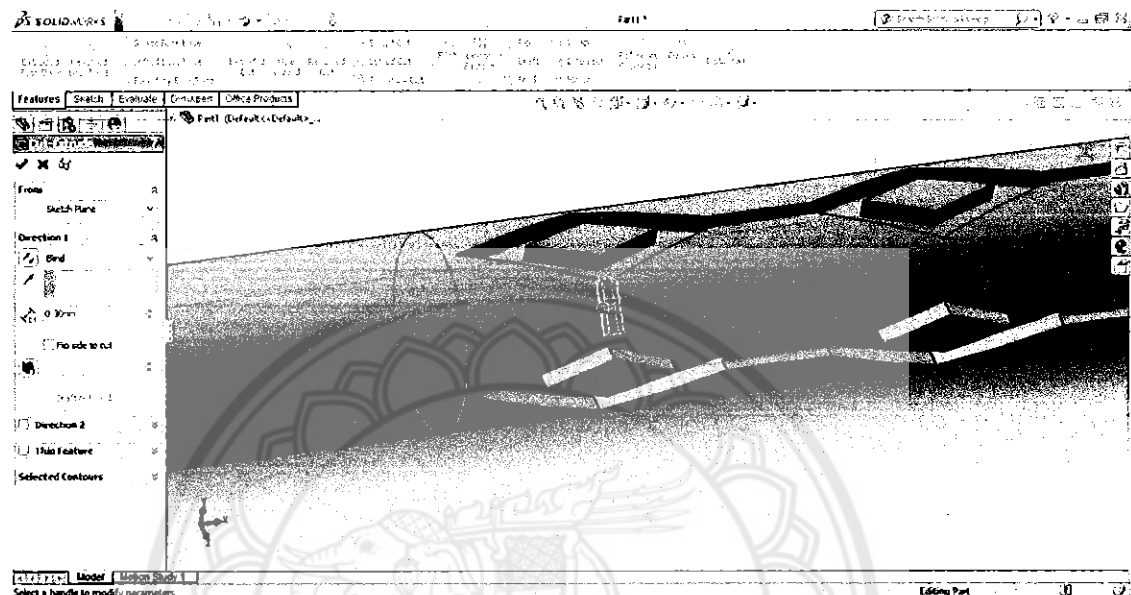
รูปที่ 3.26 การสร้างระนาบให้อยู่ใกล้ผิวส่วนโถงของหลอดเลือด

3.2.15 ขั้นตอนนี้จะวัดรอยเชื่อมลงบนระนาบอ้างอิงที่ได้จากข้อที่ 3.2.14 ไปคลิกคำสั่ง Sketch เลือกคำสั่ง Line วัดรอยเชื่อมให้เป็นร่องดังรูปที่ 3.27 จากนั้นปรับขนาดความหนาโดยใช้คำสั่ง Smart Dimension ให้เท่ากับ 0.3 mm ดังรูปที่ 3.27



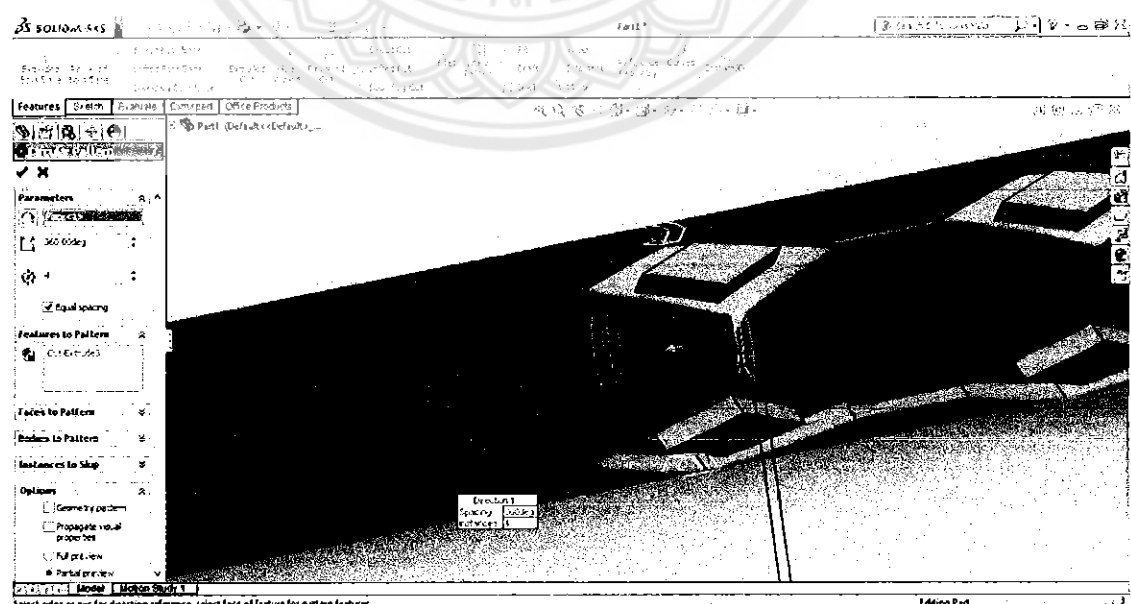
รูปที่ 3.27 การสร้างรอยเชื่อมหัวและท้ายขาดลาวด

3.2.16 ทำการสกัดท่อออกเป็นรูปสี่เหลี่ยมผืนผ้า เพื่อให้ขัดลวดเชื่อมกัน แล้วไปที่เมนู Feature เลือกคำสั่ง Cut Extruded ปรับระยะความลึก $D_1 = 0.3$ mm เพื่อให้ได้การคำนวณสามารถใช้ได้กับโปรแกรม COMSOL ต่อไป คลิกเครื่องหมายถูก ดังรูปที่ 3.28



รูปที่ 3.28 การเจาะเพื่อให้ขัดลวดเชื่อมกัน

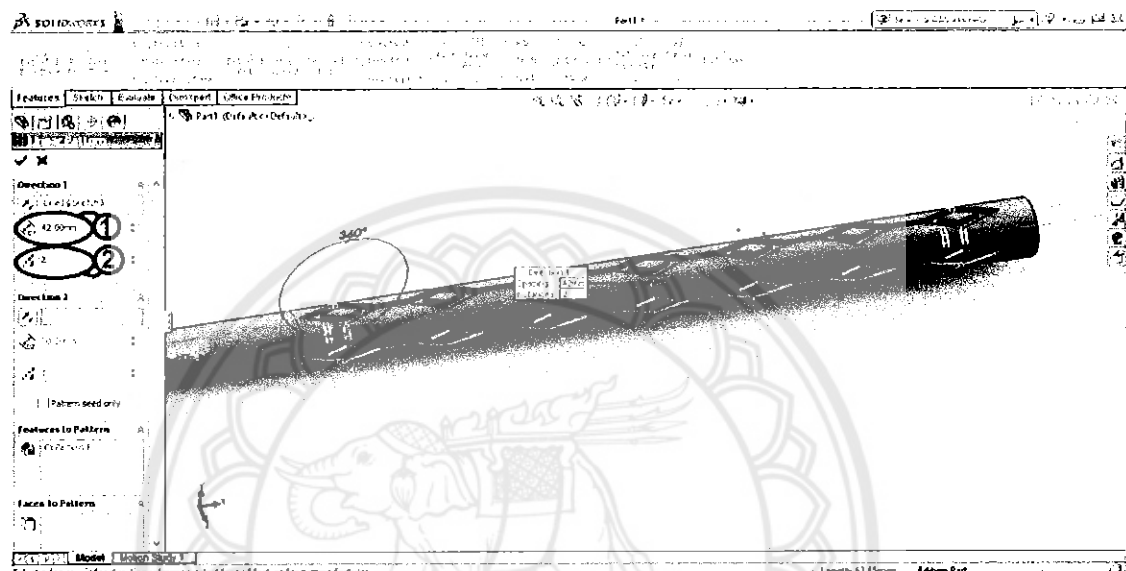
3.2.17 ขั้นตอนนี้ทำให้รอยเชื่อมรอบล้อมหลอดเลือดหลัก โดยคลิก Cut Extruded จากหัวข้อ 3.2.16 ไปที่เมนู Feature เลือก Linear Pattern เลือกคำสั่งย่อ Circular Pattern คลิกที่หลอดเลือด คลิกเครื่องหมายถูก ดังรูปที่ 3.29



รูปที่ 3.29 การสร้างรอยเชื่อมล้อมรอบหลอดเลือดหลัก

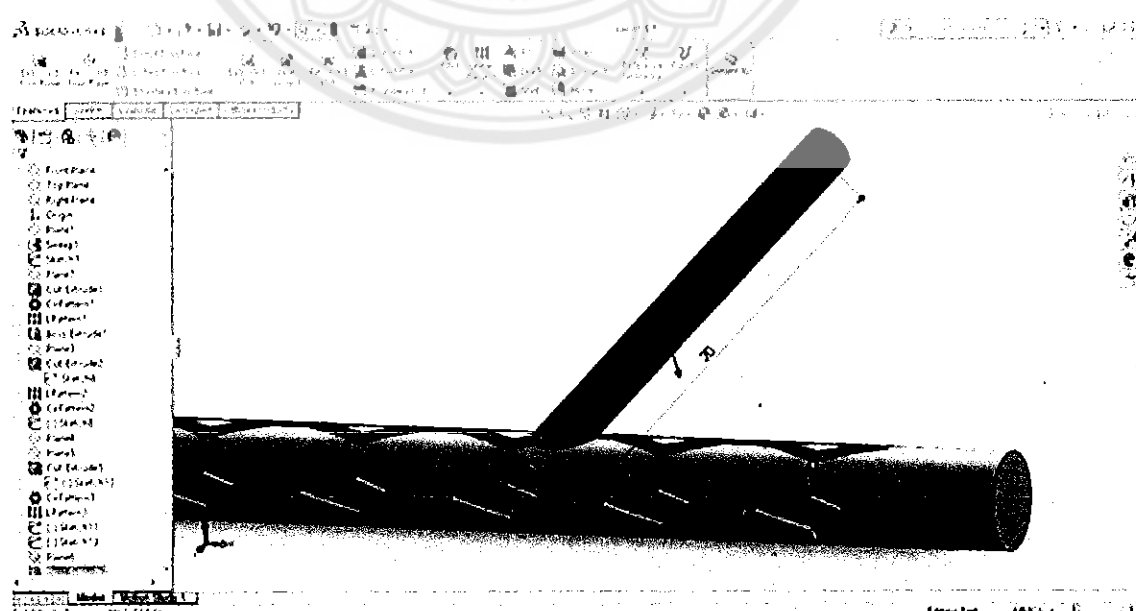
3.2.18 คลิก Cir Pattern (Circular Pattern) จากข้อที่ 3.2.17 ไปที่เมนู Feature เลือกคำสั่ง Linear Pattern คลิกที่เส้นศูนย์กลาง A-A' แตะละเซล์ห่างกัน 7 mm. เราจะเขียนแค่ดาวหัวและท้าย จึงปรับค่า $D_1 = 42$ mm (หมายเลข 1) กำหนดให้รอยเชื่อมเท่ากับ 2 (หมายเลข 2) ดังรูปที่ 3.30

หมายเหตุ : 360° แสดงให้เห็นว่ารอยเชื่อมล้อมรอบหลอดเลือด



รูปที่ 3.30 การสร้างรอยเชื่อมหัวและท้ายของหลอดเลือดหลัก

3.2.19 ขั้นตอนถัดมาเราจะทำการสร้างหลอดเลือดสาขา ดังรูปที่ 3.31 ซึ่งมีขั้นตอนเดียวกับหัวข้อที่แล้วตั้งแต่รูปที่ 3.1.6 ถึง 3.1.9



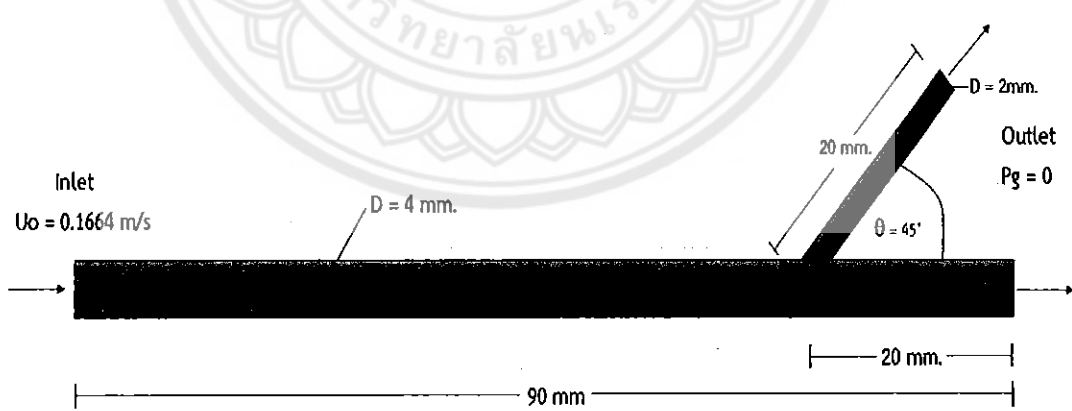
รูปที่ 3.31 การสร้างหลอดเลือดสาขา

บทที่ 4

วิธีการคำนวณ

4.1 โดเมนการคำนวณ (Computational Domain)

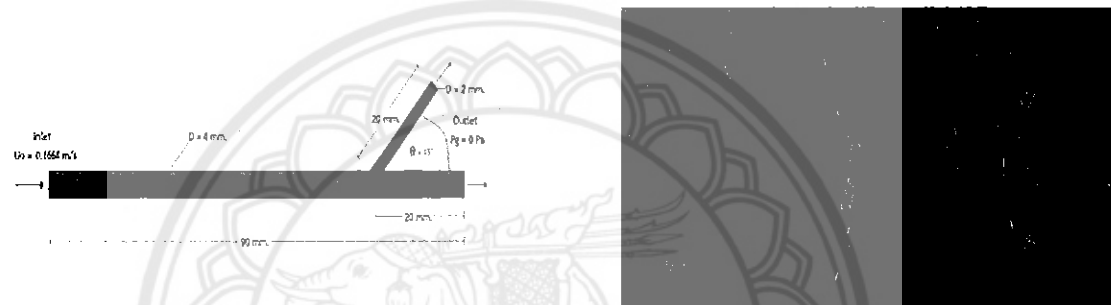
สำหรับโดเมนการคำนวณสำหรับหลอดเลือดเยื่อสหง่ายง่ามที่ผิวไม่ได้ใส่ชด漉ด กำหนดให้หลอดเลือดหลักมีขนาดเส้นผ่านศูนย์กลาง 4 มิลลิเมตร ยาว 90 มิลลิเมตร และหลอดเลือดสาขา มีขนาดเส้นผ่านศูนย์กลาง 2 มิลลิเมตร ยาว 20 มิลลิเมตร ทำมุนเอียงกับหลอดเลือดหลัก 45 องศา โดยกำหนดค่าของเลขเรย์โนลด์สเท่ากับ 233 ซึ่งค่าของเลขเรย์โนลด์สจะคิดจากเส้นผ่านศูนย์กลางของหลอดเลือดหลักจะทำให้ความเร็วที่ทางเข้าของหลอดเลือดเท่ากับ 0.1664 m/s สภาวะที่ทางออกของหลอดเลือดทั้งสองให้หลู่บรรยายกาศที่ความดันแก๊สเป็นศูนย์ กำหนดให้ผนังของหลอดเลือดมีความแข็งเกร็งและไม่เกิดการลื่นไถ (No-Slip) กำหนดให้เลือดเป็นของเหลวแบบ Non-Newtonian ที่ประพฤติตามแบบจำลอง Careau-Yasuda การไหลเป็นแบบรบเรียง (Laminar Flow) ที่สภาวะคงที่ (Steady State) โดยจะทำการพิจารณาความเค้นเลือนที่ผนังของหลอดเลือด (Wall Shear Stress) ที่ตำแหน่งต่าง ๆ ดังรูปที่ 4.1



รูปที่ 4.1 โดเมนการคำนวณสำหรับหลอดเลือดปกติ

สำหรับโดยmenการคำนวณของหลอดเลือดเยื่อกรองจำพวกที่ผิวใส่ชั้นลวด เริ่มจากใช้หลอดเลือดเยื่อกรองจำพวกดังแสดงในรูปที่ 4.1 แล้วนำขั้นตอนมาใส่ที่ผิวหลอดเลือด โดยจากการพิจารณาออกแบบเป็นสองกรณีดังนี้

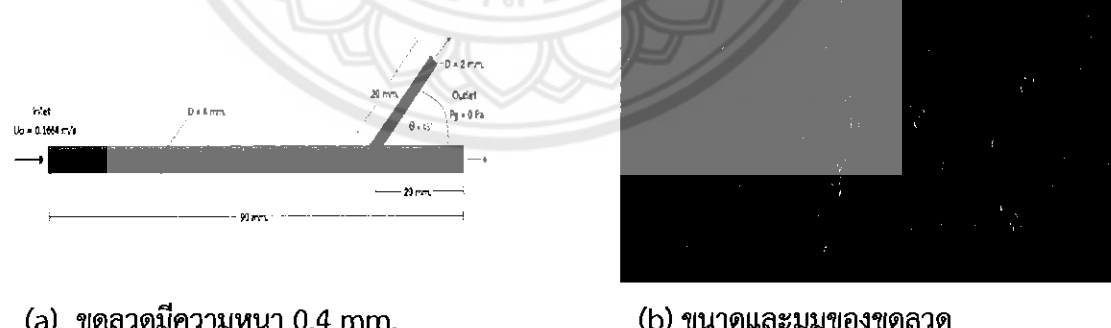
กรณีที่ 1 : พิจารณาหลอดเลือดที่ใส่ชั้นลวดที่มีจำนวนเซลล์ของชั้นลวดเท่ากันแต่มีความหนาต่างกัน ได้แก่ชั้นลวดที่มีความหนา 0.3 , 0.4 และ 0.5 มิลลิเมตร มีความลึกเข้าไปข้างในหลอดเลือดหลัก 0.4 มิลลิเมตร โดยรูปทรงของชั้นลวดจะมีรูปร่างเป็นสี่เหลี่ยมเปียกปูนซึ่งมีขนาดตามแนวยาว และเชื่อมทาง เข้า-ออก ของชั้นลวดรอบเส้นรอบวง ดังรูปที่ 4.2 – 4.4 โดยกำหนดสภาวะการไหลและของไหลให้เหมือนกับหลอดเลือดปกติที่ผิวไม่ได้ใส่ชั้นลวด



(a) ชั้นลวดมีความหนา 0.3 mm

(b) ขนาดและมุมของชั้นลวด

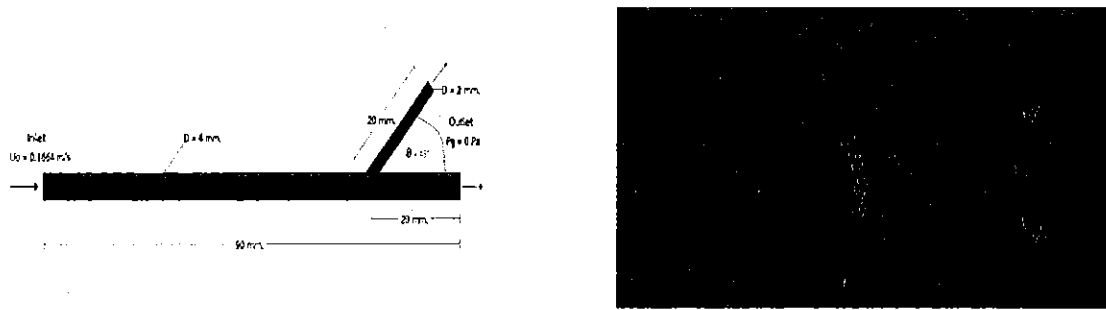
รูปที่ 4.2 โดยmenการคำนวณสำหรับหลอดเลือดที่ใส่ชั้นลวดความหนา 0.3 mm 28 เซลล์



(a) ชั้นลวดมีความหนา 0.4 mm.

(b) ขนาดและมุมของชั้นลวด

รูปที่ 4.3 โดยmenการคำนวณสำหรับหลอดเลือดที่ใส่ชั้นลวดความหนา 0.4 mm 28 เซลล์

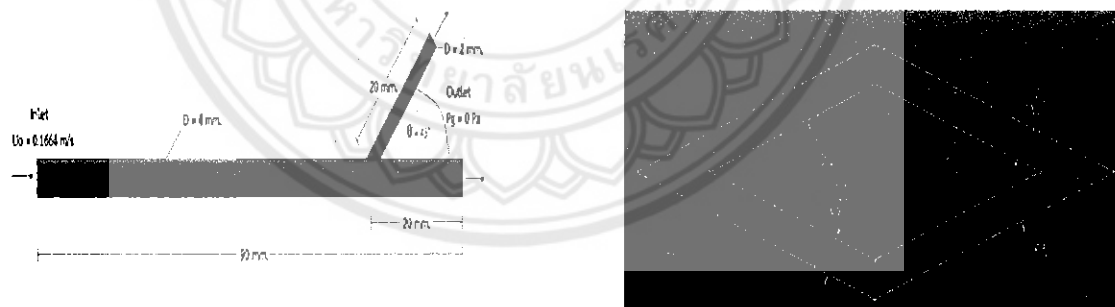


(a) ขดลวดมีความหนา 0.5 mm.

(b) ขนาดและมุมของขดลวด

รูปที่ 4.4 ໂດມນการคำนวณสำหรับหลอดเลือดที่ใส่ขดลวดความหนา 0.5 mm 28 เชลล์

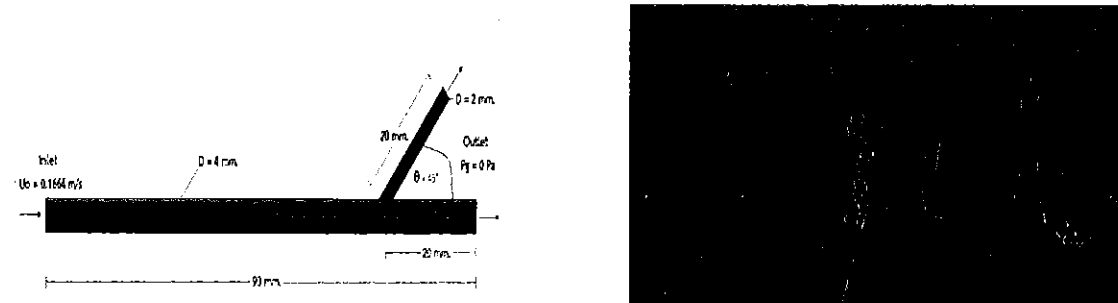
กรณีที่ 2 : ขดลวดมีความหนา 0.4 มิลลิเมตร แต่มีจำนวนเชลล์ของหลอดเลือดต่างกันคือ 15 , 28 และ 54 เชลล์ ลักษณะของขดลวดและรอยเชื่อมจะเหมือนกับกรณีที่ 1 แต่รูปแบบการวางตัวของขดลวดจะแตกต่างกันเป็นผลจากจำนวนเชลล์ของขดลวด ดังรูปที่ 4.5 – 4.7 โดยกำหนด สภาวะการไหลและของไหลให้เหมือนกับหลอดเลือดปกติที่ผิวน้ำได้ใส่ขดลวด ทั้งนี้สำหรับขดลวดที่มี 15 เชลล์ การเรียงตัวในแนวแกนมีจำนวน 5 เชลล์ และในแนวรอบเส้นรอบวงจำนวน 3 เชลล์ ดังแสดงในรูปที่ 4.5 ขดลวดที่มี 28 เชลล์ มีการเรียงตัวตัวในแนวแกนจำนวน 7 เชลล์ และรอบเส้นรอบวง 4 เชลล์ ดังแสดงในรูปที่ 4.6 และสำหรับขดลวดที่มี 54 เชลล์ มีการเรียงในแนวแกนจำนวน 9 เชลล์ และรอบเส้นรอบวงจำนวน 6 เชลล์ ดังรูปที่ 4.7



(a) ขดลวดมีจำนวนเชลล์ 15 เชลล์

(b) ขนาดและมุมของขดลวด

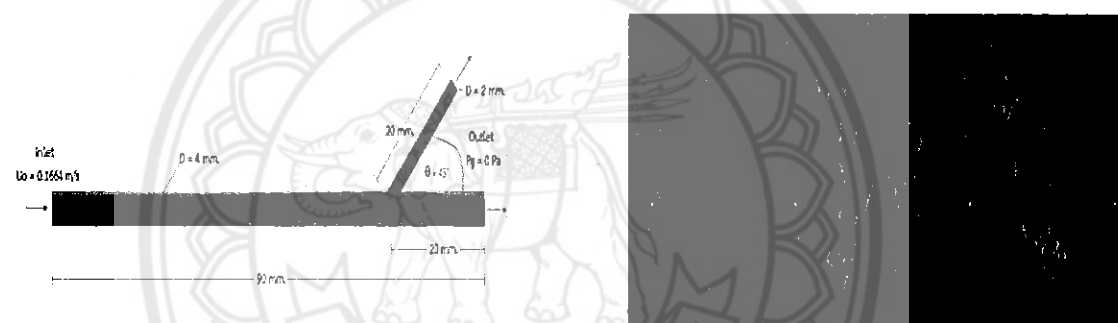
รูปที่ 4.5 ໂດມນการคำนวณสำหรับหลอดเลือดที่ใส่ขดลวดความหนา 0.4 mm จำนวนเชลล์ 15 เชลล์



(a) ขดลวดมีจำนวนเซลล์ 28 เซลล์

(b) ขนาดและมุมของขดลวด

รูปที่ 4.6 ໂດມນการคำนวณสำหรับหลอดเลือดที่สีขดลวดความหนา 0.4 mm จำนวนเซลล์ 28 เซลล์



(a) ขดลวดมีจำนวนเซลล์ 54 เซลล์

(b) ขนาดและมุมของขดลวด

รูปที่ 4.7 ໂດມນการคำนวณสำหรับหลอดเลือดที่สีขดลวดความหนา 0.4 mm จำนวนเซลล์ 54 เซลล์

4.2 สมการควบคุม (Governing Equation)

สมการที่เกี่ยวข้องกับโครงงานนี้เป็นสมการควบคุม (Governing Equations) สำหรับการไหลใน 3 มิติที่สภาวะคงที่ (Steady state) การไหลเป็นแบบราบเรียบ (Laminar Flow) และการอัดตัวไม่ได้ (Incompressible) ซึ่งในโครงงานนี้จะประกอบไปด้วยสมการดังต่อไปนี้

4.2.1 สมการอนุรักษ์มวล (Conservation of mass)

$$\frac{\partial u}{\partial x} + \frac{\partial v}{\partial y} + \frac{\partial w}{\partial z} = 0 \quad (4.1)$$

4.2.2 สมการอนุรักษ์โมเมนตัม (Momentum Equations)

โมเมนตัมในแนวแกน x :

$$\rho(u \frac{\partial u}{\partial x} + v \frac{\partial u}{\partial y} + w \frac{\partial u}{\partial z}) = -\frac{\partial P}{\partial x} + \nabla(\mu \nabla u) + \rho g_x \quad (4.2)$$

โมเมนตัมในแนวแกน y :

$$\rho(u \frac{\partial u}{\partial x} + v \frac{\partial u}{\partial y} + w \frac{\partial u}{\partial z}) = -\frac{\partial P}{\partial y} + \nabla(\mu \nabla v) + \rho g_y \quad (4.3)$$

โมเมนตัมในแนวแกน z :

$$\rho(u \frac{\partial u}{\partial x} + v \frac{\partial u}{\partial y} + w \frac{\partial u}{\partial z}) = -\frac{\partial P}{\partial z} + \nabla(\mu \nabla w) + \rho g_z \quad (4.4)$$

เมื่อ u, v, w คือ ความเร็วในแกน x, y, z ตามลำดับ มีหน่วยเป็น m/s

ρ คือความหนาแน่นของเลือด มีหน่วยเป็น kg/m^3

μ คือความหนืดของเลือด มีหน่วยเป็น $\text{Pa}\cdot\text{s}$ โดยเป็นไปตาม
แบบจำลองของ Carreau-Yasuda ในหัวข้อที่ 4.2.3

g_x, g_y, g_z คือ ความเร่งโน้มถ่วงในแกน x, y, z ตามลำดับ มีหน่วยเป็น m/s^2

4.2.3 สมการของ Carreau-Yasuda

โดยกำหนดให้ค่าความหนืดพลวัตในสมการโมเมนตัม (4.2) – (4.4) เป็นไปตามสมการแบบจำลอง Carreau-Yasuda ดังต่อไปนี้

$$\mu = \mu_\infty + (\mu_0 - \mu_\infty)(1 + (\lambda\dot{\gamma})^2)^{(\eta-1)/2} \quad (4.5)$$

เมื่อ	μ_∞	คือ ความหนืดที่อัตราเฉือนอนันต์ โดยมีค่าเท่ากับ $22 \times 10^{-3} Pa \cdot s$ [6]
	μ_0	คือ ความหนืดที่อัตราเฉือนเป็นศูนย์ โดยมีค่าเท่ากับ $2.2 \times 10^{-3} Pa \cdot s$ [6]
	$\dot{\gamma}$	คือ อัตราความเค้นเฉือน (Shear rate)
	η	ค่าคงที่เรหنمวย โดยมีค่าเท่ากับ 0.392 [6]
	λ	ค่าคงที่ โดยมีค่าเท่ากับ 0.110 s. [6]

4.3 เงื่อนไขขอบเขต (Boundary Condition)

การศึกษาการไหลของเลือดที่ส่งคลอด กำหนดให้ผนังของหลอดเลือดมีความแข็งเกร็ง เลือดมีสภาพการไหลแบบคงที่ การไหลของเลือดเป็นแบบร้าบเรียบและเป็นการไหลใน 3 มิติ ซึ่งจะ กำหนดค่าของเลขเรยโนลด์ส์เท่ากับ 233 ซึ่งค่าของเลขเรยโนลด์ส์จะคิดจากเส้นผ่านศูนย์กลางของ หลอดเลือดหลักจะทำให้ความเร็วที่ทางเข้าของหลอดเลือดเท่ากับ 0.1664 m/s และสภาพที่ ทางออกของหลอดเลือดทั้งสองสาขาให้ร้ายกาจที่ความดันเจาเป็นศูนย์

4.4 Data Reduction

จากสมการควบคุมที่ได้กล่าวมาแล้วในหัวข้อที่ 4.2 เราจะได้คำตอบในรูปของตัวแปรพื้นฐาน u, v, w, P เพื่อการคำนวณปริมาณอื่น ๆ ต่อไปที่จำเป็นในการแพทย์ดังนี้

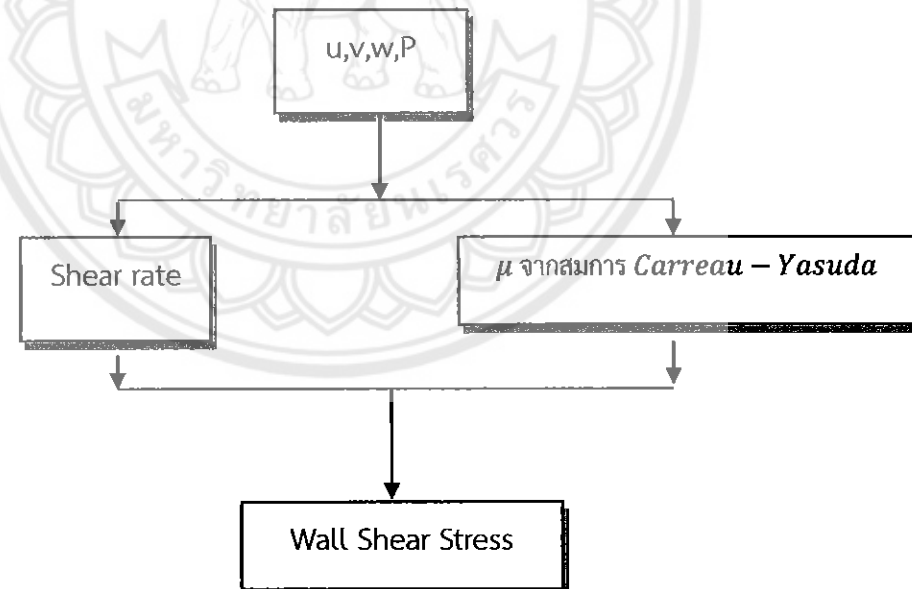
อัตราเฉือน (Shear rate) :

$$\gamma = \frac{\partial u_i}{\partial x_j} \quad (4.6)$$

ความเค้นเฉือนที่ผนัง (Wall Shear Stress) :

$$WSS = \mu \gamma = \mu \frac{du_i}{dx_j} \quad (4.7)$$

โดยขั้นตอนของทางการเดินทางของข้อมูลแสดงได้ในรูปที่ 4.8

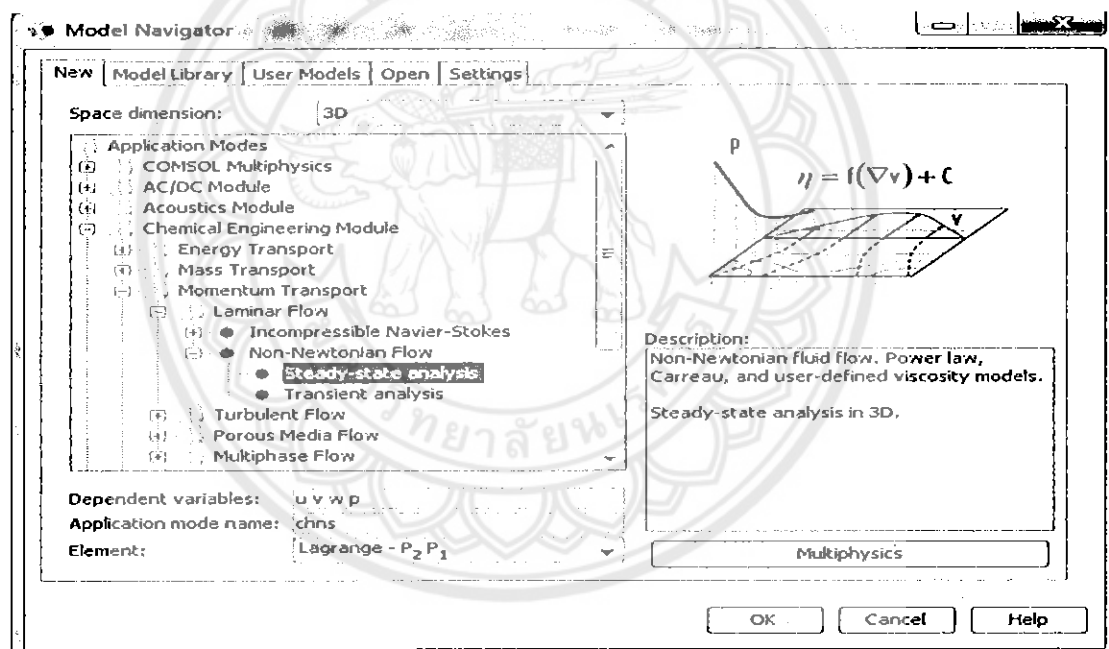


รูปที่ 4.8 ผังความคิดแสดงขั้นตอนการคำนวณความเค้นเฉือนที่ผนัง

4.5 การนำไฟล์เขียนแบบเข้าโปรแกรม COMSOL

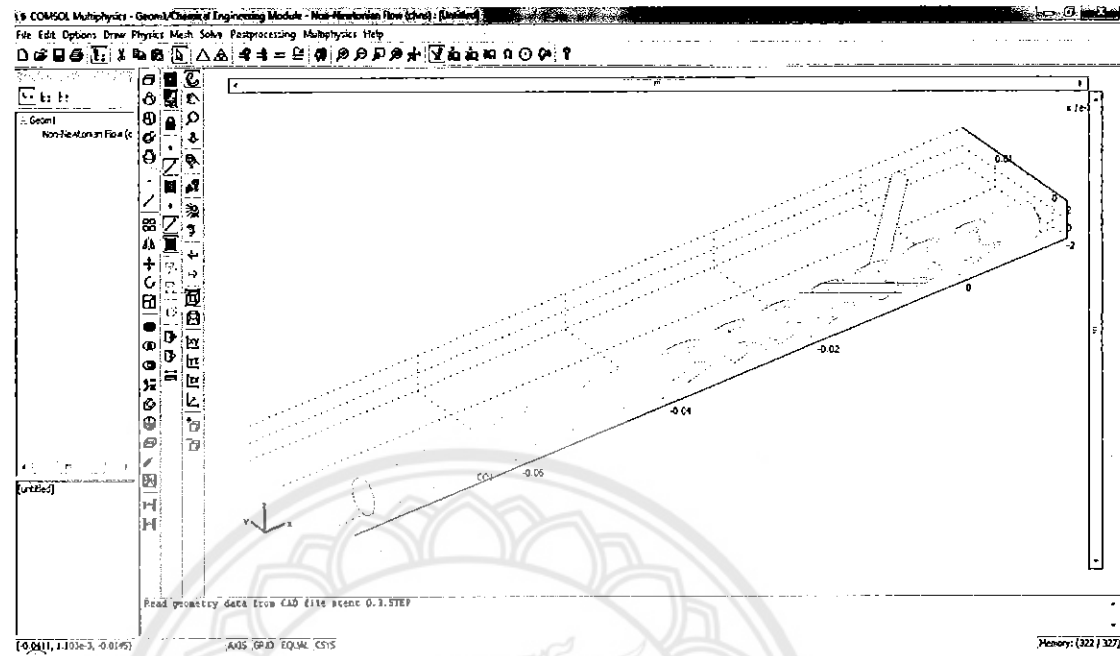
หลังจากที่ได้ทำการเขียนแบบหลอดเลือดเยกสองจัมแบบปกติและหลอดเลือดเยกสองจัมที่ใส่ขดลวดเรียบร้อยแล้ว ขั้นตอนต่อไปจะเป็นการนำไฟล์เขียนแบบดังกล่าวเข้าสู่โปรแกรมที่ใช้ในการคำนวณ โดยทำการบันทึกข้อมูลในรูปแบบนามสกุล .STEP AP203 หลังจากนั้นทำการ Import File ดังกล่าวเข้าสู่โปรแกรม COMSOL

- เปิดโปรแกรม COMSOL เลือกค่าต่าง ๆ ดังนี้ ที่คำสั่ง Space dimension เลือก 3D หลังจากนั้นเลือก Chemical Engineering Module เลือก Momentum Transport เลือก Laminar Flow เนื่องจากเป็นการไหลแบบราบเรียบและเลือก Non-Newtonian Flow จากนั้นเลือก Steady-state analysis สำหรับสภาพการไหลแบบคงที่ ดังรูปที่ 4.9



รูปที่ 4.9 การเลือก Model Navigator

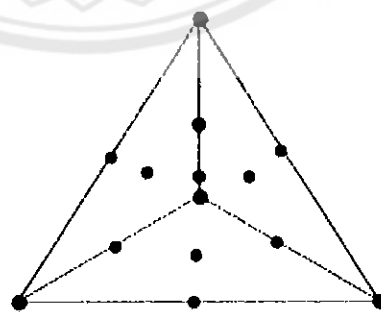
- หลังจากนั้นทำการ Import File แบบจำลองของหลอดเลือดเข้าสู่โปรแกรม COMSOL โดย ไปที่คำสั่ง File เลือก Import และเลือก CAD Data From File หลังจากนั้นทำการเลือกไฟล์ที่เชฟไว้จากโปรแกรม Solid Work (ไฟล์นามสกุล .STEP AP203) และจะได้ไฟล์ที่จะใช้ในการคำนวณต่อไป ดังรูปที่ 4.10 พร้อมที่จะคำนวณด้วยระบบเบี่ยบวิธีทางไฟไนต์อิลิเมนต์ต่อไป



รูปที่ 4.10 การ Import File เข้าสู่โปรแกรม COMSOL

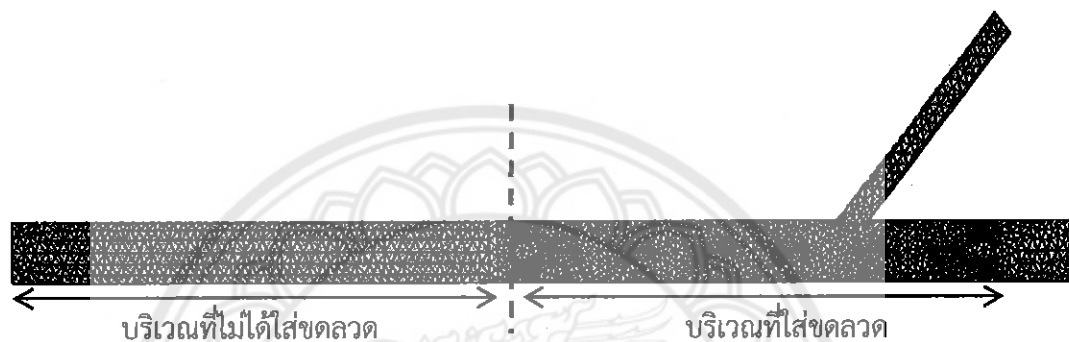
4.6 การสร้างและการตรวจสอบผลกระทบของความหนาแน่นของเมช

สำหรับซอฟต์แวร์ COMSOL ซึ่งใช้ระบบวิธีทางไฟไนต์элементในการคำนวณนั้น อาศัย เมช 3 มิติที่มีรูปร่างเป็นรูปทรง tetrahedral และมี 14 nodes โดยตำแหน่ง node จะอยู่ที่ที่มุมของ รูปทรง tetrahedral จำนวน 4 nodes อยู่ที่กึ่งกลางเส้นขอบจำนวน 6 nodes และอยู่ที่กลาง ด้านข้างจำนวน 4 nodes ดังรูปที่ 4.11



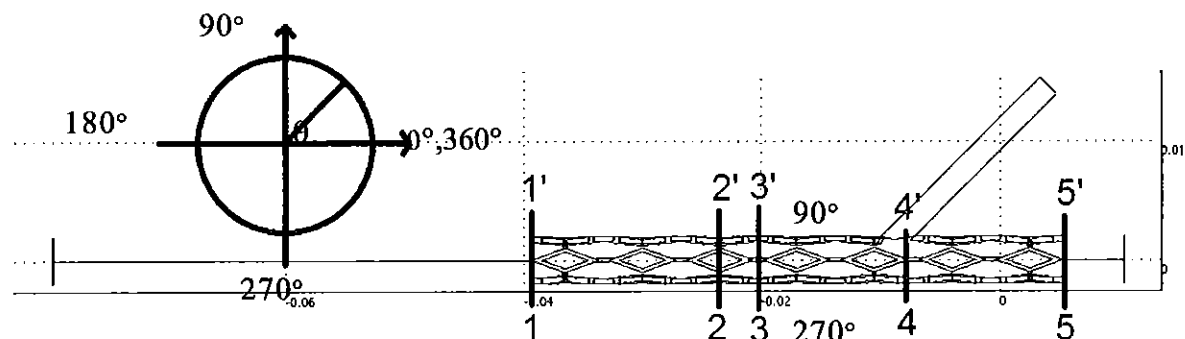
รูปที่ 4.11 รูปทรง tetrahedral

การสร้างmeshสามมิติใน COMSOL ใช้อัลกอริทึม Delaunay ซึ่งสร้างโดยการจัดเรียง ตำแหน่งอย่างไรรูปแบบของรูปทรง tetrahedral ให้เป็นปริมาตรของแบบจำลองที่สร้างไว้ ดังรูปที่ 4.12 โดยจะใช้ความหนาแน่นของmeshใกล้เคียงกันทุกแบบจำลองของหลอดเลือดเยื่อส่องง่ายที่ใส่ ขดลวดแบบต่าง ๆ จะเห็นได้ว่าความละเอียดของmeshขึ้นอยู่กับแบบจำลองของหลอดเลือดเยื่อส่อง ง่ายที่ใส่ขดลวด บริเวณที่มีความซับซ้อนจะทำให้ความละเอียดของmeshบริเวณนั้นมีความละเอียดมาก เช่น บริเวณที่ใส่ขดลวด ดังแสดงในรูปที่ 4.12



รูปที่ 4.12 การสร้างmeshในโ-modeการคำนวณ

การตรวจสอบผลกระทบของความหนาแน่นของmesh ทำการเปรียบเทียบกันโดยกำหนด ความละเอียดของmeshแบ่งเป็น 3 แบบจำลองได้แก่แบบจำลอง A มี 37,815 เมช, B มี 59,962 เมช และ C มี 89,173 เมชเนื่องจากปริมาตรของหลอดเลือดแต่ละแบบจำลองใกล้เคียงกันเราจึง กำหนดให้เท่ากับ $1,130.351 \text{ mm}^3$ จากนั้นทำการเปรียบเทียบข้อมูลของความคื้นเสื่อนที่ผนัง ของ ห้อง 3 แบบจำลอง ในที่นี้เราพิจารณาแบบจำลองหลอดเลือดเยื่อส่องง่ายที่ใส่ขดลวดที่มีความหนา เท่ากับ 0.4 มิลลิเมตรจำนวนเซลล์ 28 เซลล์ ดังรูปที่ 4.13 โดยจะดึงชุดข้อมูลของความคื้นเสื่อนที่ ผนัง จาก 5 หน้าตัด ได้แก่หน้าตัด 1-1' ของไอลเริ่มปะทะกับขดลวด หน้าตัด 2-2' บริเวณกึ่งกลาง ภายในขดลวด หน้าตัด 3-3' บริเวณกึ่งกลางรอยเชื่อม หน้าตัด 4-4' บริเวณทางแยกหลอดเลือดสาขา โดยที่มีการผ่านรอยเชื่อมของขดลวด และหน้าตัด 5-5' บริเวณทางออกของหลอดเลือดหลักที่ติดกับ ขดลวด ดังแสดงในรูปที่ 4.13



รูปที่ 4.13 หน้าตัดของหลอดเลือดที่นำมาคำนวณ

หลังจากคำนวณทางระเบียบวิธีไฟโนร์ต์เอลิเมนต์ด้วยโปรแกรม COMSOL โดยคอมพิวเตอร์ที่ใช้ในการคำนวณ Intel(R) Core(TM) i3-3217U CPU @ 1.80GHz , RAM 4.00 GB และใช้แบบจำลอง A , B และ C ที่มีความหนาแน่นของเมชแทกต่างกันดังแสดงในตารางที่ 4.1

ตารางที่ 4.1 แบบจำลองที่ใช้ในการเปรียบเทียบผลของความหนาแน่นของเมช

Model	Meshes/ปริมาตร (mm^3)	เวลาในการคำนวณ (s)
A	33.5	460.695
B	53.1	525.877
C	78.9	781.832

หลังจากดึงชุดข้อมูลความคื้นเนื่องที่ผ่านไปหน้าติดต่าง ๆ เราชำทำการวิเคราะห์เปอร์เซ็นต์ความแตกต่างเพื่อทำการเบรย์บันทึกความหนาแน่นของเมษทั้ง 3 แบบจำลองโดยที่

เปอร์เซ็นต์ความแตกต่างระหว่างแบบจำลอง A และ B ทางจาก

$$\% \text{difference} = \left| \frac{A - B}{A} \right| \quad (4.8)$$

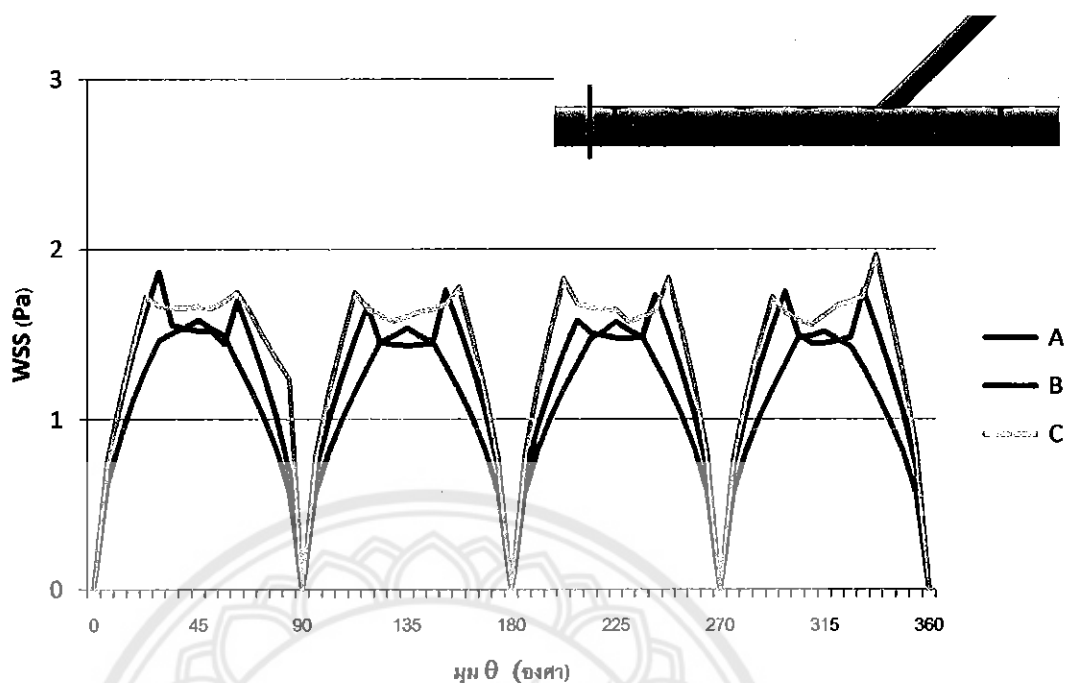
เปอร์เซ็นต์ความแตกต่างระหว่างแบบจำลอง A และ C ทางจาก

$$\% \text{difference} = \left| \frac{A - C}{A} \right| \quad (4.9)$$

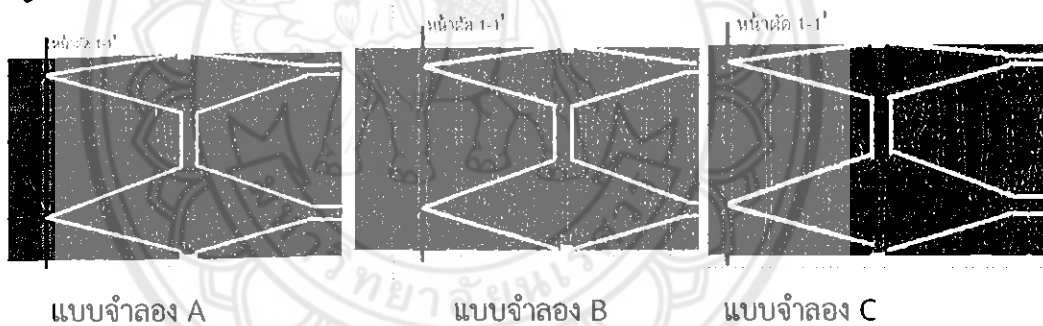
เปอร์เซ็นต์ความแตกต่างระหว่างแบบจำลอง B และ C หาก

$$\% \text{difference} = \left| \frac{B - C}{B} \right| \quad (4.10)$$

จากรูปที่ 4.14 แสดงค่าความเค้นเฉือนที่ผนังบริเวณทางเข้าของหลอดเลือดที่ของไอลเริ่ม ประทับกับชุดลวด จะพบบริเวณที่ให้ค่าความเค้นเฉือนที่ผนังเท่ากับศูนย์ซึ่งบริเวณนี้เป็นบริเวณที่ตรง กับตำแหน่งของชุดลวด และพบว่าค่าความเค้นเฉือนที่ผนังของแบบจำลองทั้ง 3 มีแนวโน้มไปใน ทิศทางเดียวกันแต่แบบจำลอง A , B และ C จะให้ค่าความเค้นเฉือนที่น้อยกว่าตามลำดับ และมี เปอร์เซ็นต์ความแตกต่างของแบบจำลองสูงถึง 50% ทั้งนี้อาจเป็นมาจากการเรียงตัวของเม็ดที่มีความ หนาแน่นต่างกัน ดังแสดงในรูปที่ 4.15 และอาจมาจากการนำค่าความเค้นเฉือนที่ผนังที่มีค่าน้อย ๆ มาเปรียบเทียบกันนั่นเอง แต่อย่างไรก็ตามค่าความเค้นเฉือนที่ผนังของแบบจำลองทั้ง 3 มีค่าต่างกัน ไม่เกิน 0.4 Pa

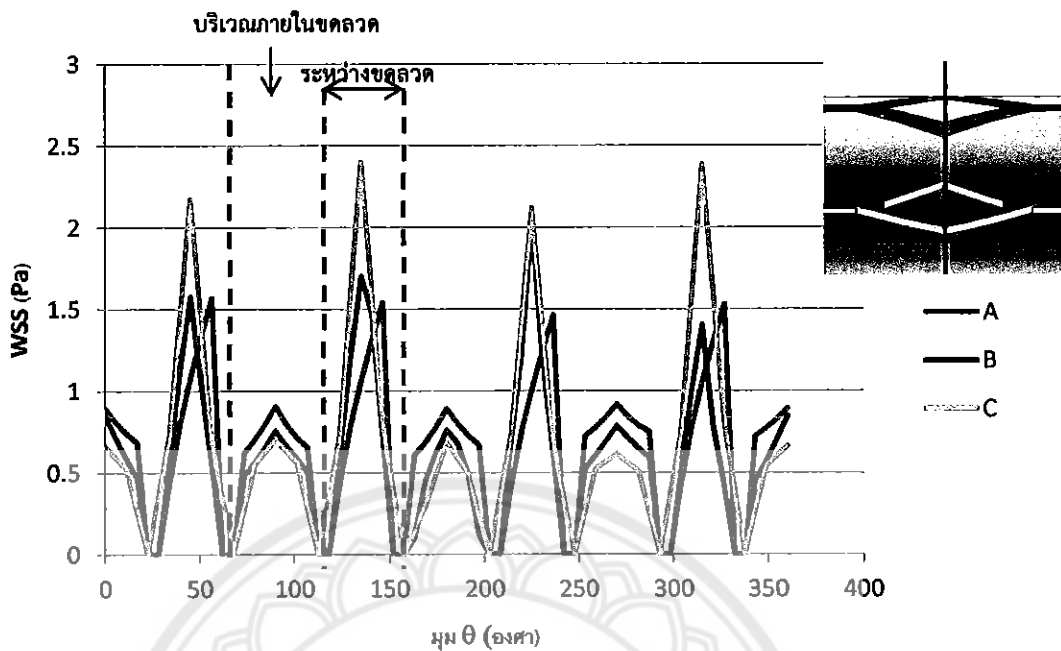


รูปที่ 4.14 การกระจายของความเค้นเฉือนที่ผนัง ตามผนังหลอดเลือดหลัก ที่หน้าตัด 1-1'



รูปที่ 4.15 การเรียงตัวของเมซจากอัลกอริทึม

จากรูปที่ 4.16 แสดงค่าความเค้นเฉือนที่ผนังบริเวณกึ่งกลางภายในขดลวดที่หน้าตัด 2-2' พบร่วมบริเวณที่ให้ค่าความเค้นเฉือนที่ผนังเท่ากับศูนย์ ซึ่งตรงกับตำแหน่งของขดลวด และจากรูป สังเกตได้ว่าแบบจำลอง C ที่มุม θ เท่ากับ 45° , 135° , 225° และ 315° จะให้มีลักษณะเป็น Outlier เมื่อเทียบกับแบบจำลองของ A และ B ที่บริเวณกึ่งกลางระหว่างขดลวดของห้อง 3 แบบจำลอง ส่วน บริเวณภายในให้ค่าความเค้นเฉือนที่ผนังประมาณ 0.7 Pa ให้เปอร์เซ็นต์ความแตกต่างของ แบบจำลองสูงสุด 33.376% ที่มุม θ เท่ากับ 270° ดังแสดงในตารางที่ 4.2 แต่ค่าความเค้นเฉือนที่ ผนัง ณ จุดนี้ต่างกันไม่เกิน 0.3 Pa ทั้งนี้การที่เปอร์เซ็นต์ความแตกต่างมีค่าสูงอาจเป็นผลมาจากการ นำค่าความเค้นเฉือนที่ผนังที่มีค่าน้อย ๆ มาเบรี่ยบเทียบกันนั่นเอง และเมื่อไม่คิดค่าความผิดปกติของ แบบจำลอง C ที่บริเวณกึ่งกลางระหว่างขดลวดมีค่าความเค้นเฉือนที่ผนังประมาณ 1.6 Pa

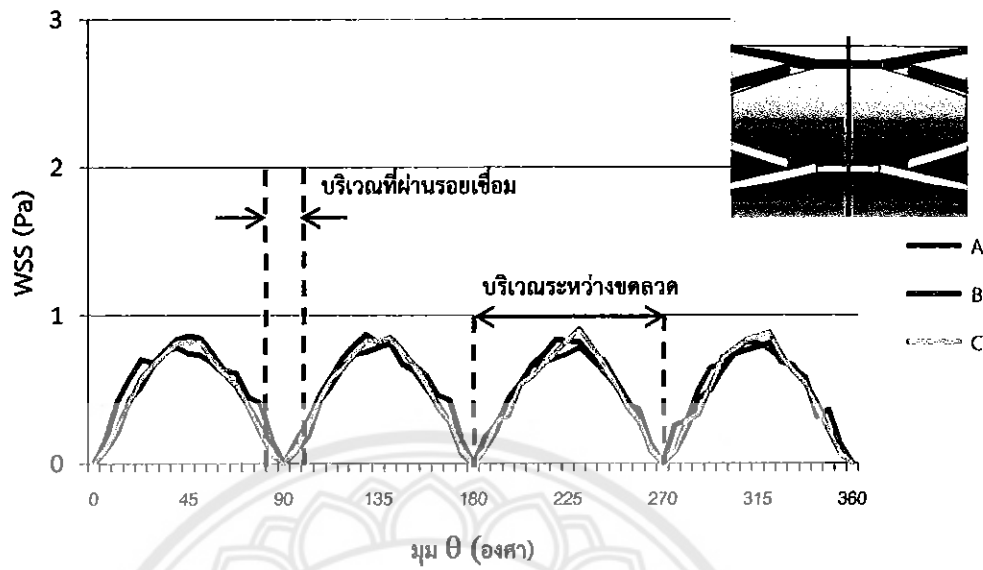


รูปที่ 4.16 การกระจายของค่าความเค้นเฉือนที่ผนัง ตามผนังหลอดเลือดหัก ที่หน้าตัด 2-2'

ตารางที่ 4.2 เปอร์เซ็นต์ความแตกต่างของค่าความเค้นเฉือนที่ผนัง ที่หน้าตัด 2-2'

มุม θ (องศา)	เปอร์เซ็นต์ความแตกต่าง (%)		
	แบบจำลอง A-B	แบบจำลอง B-C	แบบจำลอง A-C
0	5.120	21.910	25.908
90	16.481	7.511	22.754
180	14.848	9.537	22.969
270	14.274	22.283	33.376

จากรูปที่ 4.17 แสดงค่าความเค้นเฉือนที่ผนังบริเวณกึ่งกลางรอยเชื่อมที่หน้าตัด 3-3' พบว่าแบบจำลองทั้ง 3 ให้ค่าความเค้นเฉือนที่ผนังใกล้เคียงกัน คือ บริเวณที่ไม่มีชุดลวดจะให้ค่าความเค้นเฉือนที่ผนังประมาณ 0.7-0.8 Pa และให้ค่าความเค้นเฉือนที่ผนังเท่ากับศูนย์จะตรงกับตำแหน่งของรอยเชื่อมนั่นเอง และ 3 แบบจำลองให้เปอร์เซ็นต์ความแตกต่างระหว่างแบบจำลองไม่เกิน 13% ดังแสดงในตารางที่ 4.3

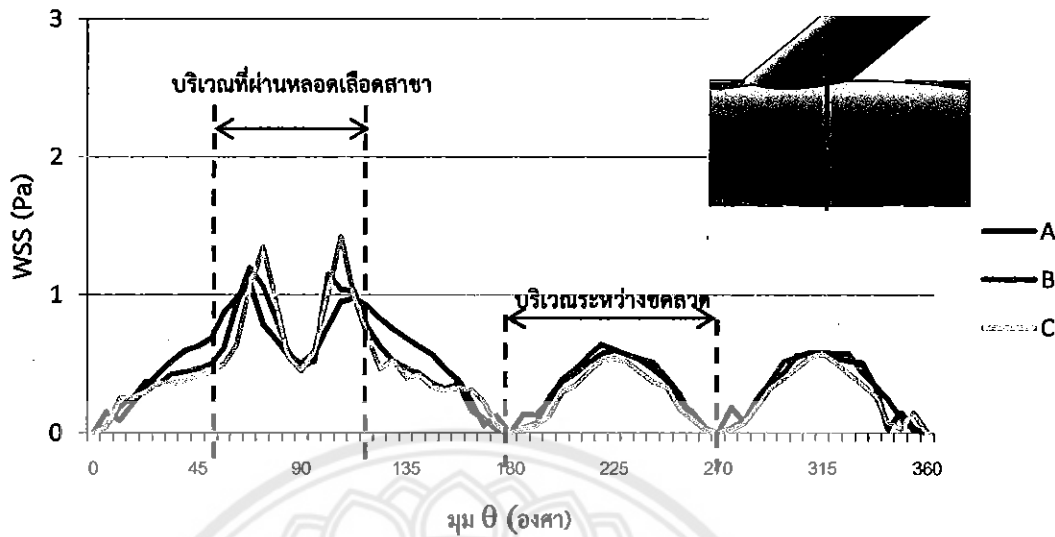


รูปที่ 4.17 การกระจายของค่าความเค้นเฉือนที่ผนัง ตามผนังหลอดเลือดหลัก ที่หน้าตัด 3-3'

ตารางที่ 4.3 เปอร์เซ็นต์ความแตกต่างของค่าความเค้นเฉือนที่ผนัง ที่หน้าตัด 3-3'

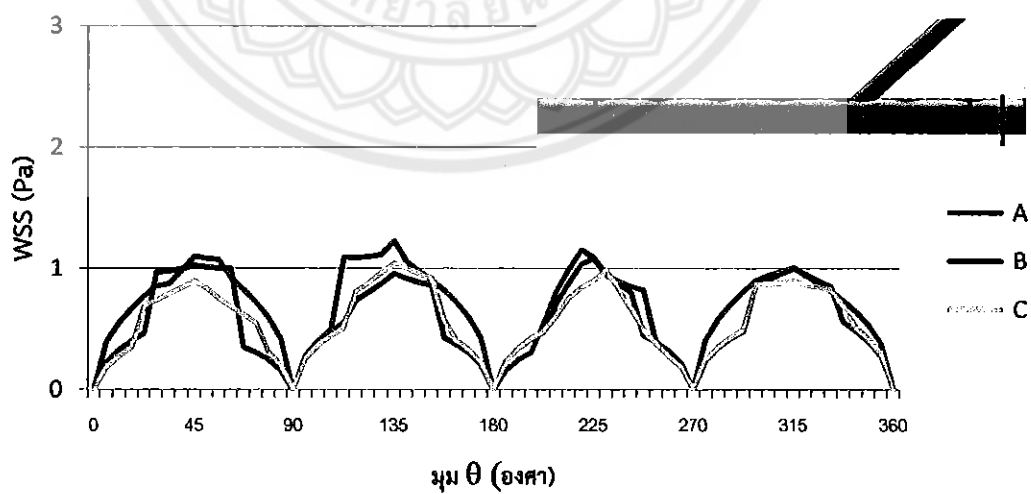
มุม θ (องศา)	เปอร์เซ็นต์ความแตกต่าง (%)		
	แบบจำลอง A-B	แบบจำลอง B-C	แบบจำลอง A-C
45	13.670	9.365	5.585
135	4.622	6.096	1.193
225	11.216	1.155	12.501
315	3.356	9.121	5.460

จากรูปที่ 4.18 แสดงค่าความเค้นเฉือนที่ผนังบริเวณทางแยกหลอดเลือดสาขาโดยที่มีการผ่านรอยเชื่อมของชุด漉ที่หน้าตัด 4-4' พบว่าบริเวณรอยเชื่อมของชุด漉ให้ค่าความเค้นเฉือนที่ผนังเท่ากับศูนย์และบริเวณระหว่างชุด漉ของทั้ง 3 แบบจำลองให้ค่าความเค้นเฉือนที่ผนังประมาณ 0.6 Pa บริเวณนี้มีเปอร์เซ็นต์ความแตกต่างระหว่างแบบจำลองไม่เกิน 15% ค่าความเค้นเฉือนที่ผนัง บริเวณที่ผ่านหลอดเลือดสาขาของ 3 แบบจำลอง มีค่าประมาณ 0.6 Pa ซึ่งตรงกับบริเวณกึ่งกลางของหลอดเลือดสาขาและที่มีค่าประมาณ 1-1.2 Pa ซึ่งตรงกับบริเวณขอบของหลอดเลือดสาขาที่เชื่อมติดกับหลอดเลือดหลัก



รูปที่ 4.18 การกระจายของค่าความเค้นเฉือนที่ผนัง ตามผนังหลอดเลือดหลัก ที่หน้าตัด 4-4'

จากรูปที่ 4.19 แสดงค่าความเค้นเฉือนที่ผนังบริเวณทางออกของหลอดเลือดหลักที่ติดกับขดลวด หน้าตัด 4-4' พบว่าค่าความเค้นเฉือนที่ผนังของแบบจำลองทั้ง 3 มีแนวโน้มไปในทิศทางเดียวกันแต่จะมีค่าค่อนข้างกว้าง ทั้งนี้อาจเป็นผลมาจากการพื้นที่ที่ตั้งจากกับการไหลเพิ่มขึ้น และบริเวณที่ให้ค่าความเค้นเฉือนที่ผนังเท่ากับศูนย์ตรงกับตำแหน่งของขดลวด แต่ที่ $\theta = 0$ เท่ากับ 16.875, 61.875, 106.875, 146.875, 196.875, 241.875, 286.875 และ 331.875 องศา ให้เบอร์เซ็นต์ความแตกต่างของแบบจำลองสูงถึง 48% ดังแสดงในตารางที่ 4.4 แต่ค่าความเค้นเฉือนที่ผนังต่างกันไม่เกิน 0.3 Pa ทั้งนี้อาจเป็นผลมาจากการนำค่าความเค้นเฉือนที่ผนังที่มีค่าน้อย ๆ มาเปรียบเทียบกันนั่นเอง



รูปที่ 4.18 การกระจายของค่าความเค้นเฉือนที่ผนัง ตามผนังหลอดเลือดหลัก ที่หน้าตัด 5-5'

ตารางที่ 4.4 เปอร์เซ็นต์ความแตกต่างของค่าความเค้นเฉือนที่ผนัง ที่หน้าตัด 5-5'

มุม θ (องศา)	เปอร์เซ็นต์ความแตกต่าง (%)		
	แบบจำลอง A-B	แบบจำลอง B-C	แบบจำลอง A-C
16.875	40.035	14.348	48.639
61.875	8.684	32.116	26.221
106.875	3.399	7.566	10.709
163.125	48.209	9.307	43.389
196.875	34.735	2.734	38.419
241.875	5.799	16.908	21.726
286.875	40.664	2.595	39.124
331.875	4.323	2.905	1.292

จากค่าความเค้นเฉือนที่ผนังข้างตันสังเกตได้ว่า ความหนาแน่นของเมช ส่งผลกระทบไม่มากนักต่อค่าความเค้นเฉือนที่ผนัง แต่แบบจำลอง B และ C จะส่งผลต่อการคำนวณในแบบจำลองหลอดเลือดที่ใส่ขาด漉วที่มีจำนวนเซลล์ 54 เซลล์ ก่าวกีอ แบบจำลอง B และ C จะมีความละเอียดในการสร้างเมชค่อนข้างสูง ดังนั้นแบบจำลองที่มีความซับซ้อนมาก ๆ เช่น หลอดเลือดที่ใส่ขาด漉ว ซึ่งทำให้พื้นที่ที่สัมผัสกับของใหม่ไม่เรียบและคอมพิวเตอร์ไม่สามารถสร้างเมชได้ โดยเฉพาะอย่างยิ่งบริเวณมุนแหลมภายใน ดังนั้นเราจะเลือกแบบจำลอง A ซึ่งใช้เวลาและหน่วยความจำในการคำนวณน้อยกว่าแบบจำลองอื่น ๆ และยังให้ค่าความเค้นเฉือนที่ผนังที่สภาวะปกติตามค่ามาตรฐาน 0.5-1.5 Pa [7] ของการไหลภายในหลอดเลือดอีกด้วย

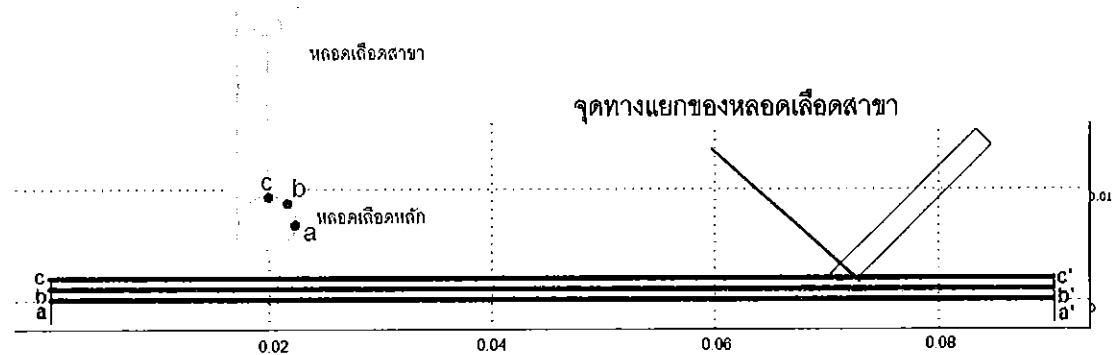
บทที่ 5

ผลการคำนวณและอภิปรายผล

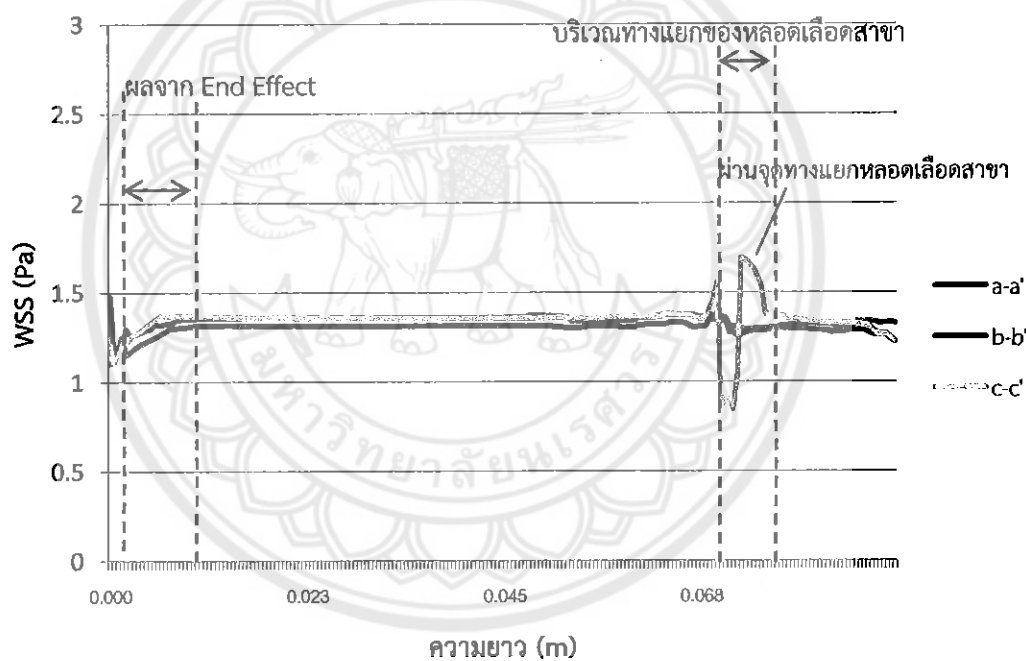
การอภิปรายผลในการวิจัยนี้เรารอภิปรายผลของค่าความเค้นเฉือนที่ผนัง (Wall Shear Stress) ของหลอดเลือดเยกสองข้างที่ไม่ได้ขาด漉ดและหลอดเยกสองข้างที่ได้ขาด漉ด แบ่งได้เป็นสามกรณี ได้แก่ กรณีแรกพิจารณาหลอดเลือดที่ไม่ได้ขาด漉ด กรณีที่สองพิจารณาหลอดเลือดที่ได้ขาด漉ดที่มีจำนวนเซลล์ของขาด漉ดเท่ากันคือ 28 เซลล์แต่มีความหนาต่างกัน ซึ่งได้แก่ ขาด漉ดที่มีความหนา 0.3, 0.4 และ 0.5 มิลลิเมตรและกรณีที่สามพิจารณาหลอดเลือดที่ได้ขาด漉ดที่มีความหนา 0.4 มิลลิเมตรแต่มีจำนวนเซลล์ของหลอดเลือดต่างกัน คือ 15, 28 และ 54 เซลล์

5.1 หลอดเลือดที่ไม่ได้ขาด漉ด

การแสดงผลของความเค้นเฉือนที่ผนังสำหรับการไหหล่อผ่านหลอดเลือดที่ไม่ได้ขาด漉ดโดยทำการวิเคราะห์การไหหล่อผ่านของหลอดเลือดผ่านเส้น a-a', b-b' และ c-c' โดยที่เส้น a-a' ผ่านผิวด้านข้างของหลอดเลือดหลัก เส้น b-b' ผ่านผิวหลอดเลือดหลักห่างจากเส้น a-a' ขึ้นไป 45° และเส้น c-c' ผ่านผิวด้านบนของหลอดเลือดหลักและตัดผ่านบริเวณทางแยกของหลอดเลือดสาขา ดังแสดงในรูปที่ 5.1 พบว่า ที่บริเวณทางเข้าของทั้ง 3 เส้น ให้ค่าความเค้นเฉือนที่ผนังประมาณ 1.2-1.5 Pa ทั้งนี้อาจเป็นผลมาจากการเกิด End Effect ที่บริเวณทางเข้าของหลอดเลือด หลังจากนั้นค่าความเค้นเฉือนที่ผนังของทั้ง 3 เส้นมีค่าระหว่าง 1.3-1.4 Pa โดยที่ค่าความเค้นเฉือนที่ผนังของเส้น c-c' ลดลงเป็น 0.8 Pa ที่บริเวณทางแยกเข้าหลอดเลือดสาขา เป็นผลมาจากการไหหล่อส่วนหนึ่งถูกแบ่งให้เหลือเข้าไปที่ทางแยกของหลอดเลือดสาขา เป็นเหตุให้ของไหหล่อหลอดเลือดหลักมีอัตราการไหลดลงทำให้ค่าความเค้นเฉือนที่บริเวณนั้นลดลงไปด้วย เมื่อของไหเหลือเข้าไปทางกับจุดทางแยกของหลอดเลือดสาขา มีผลทำให้ค่าความเค้นเฉือนที่ผนังเท่ากับ 1.6 Pa และค่อย ๆ ลดลงจนเท่ากับ 1.3 Pa ซึ่งค่าความเค้นเฉือนที่ผนังของเส้นทั้ง 3 นี้เป็นไปตามค่ามาตรฐานที่สากลระดับโลก 0.5-1.5 Pa [7] ดังแสดงในรูปที่ 5.2



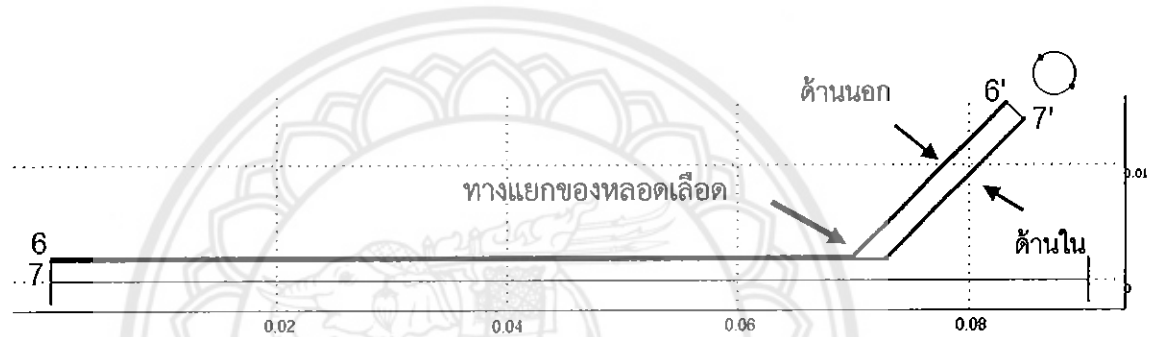
รูปที่ 5.1 ตำแหน่งในการดึงข้อมูลของค่าความเค้นเฉือนที่ผนัง เพื่อเปรียบเทียบผลของค่าความเค้นเฉือนที่ผนัง



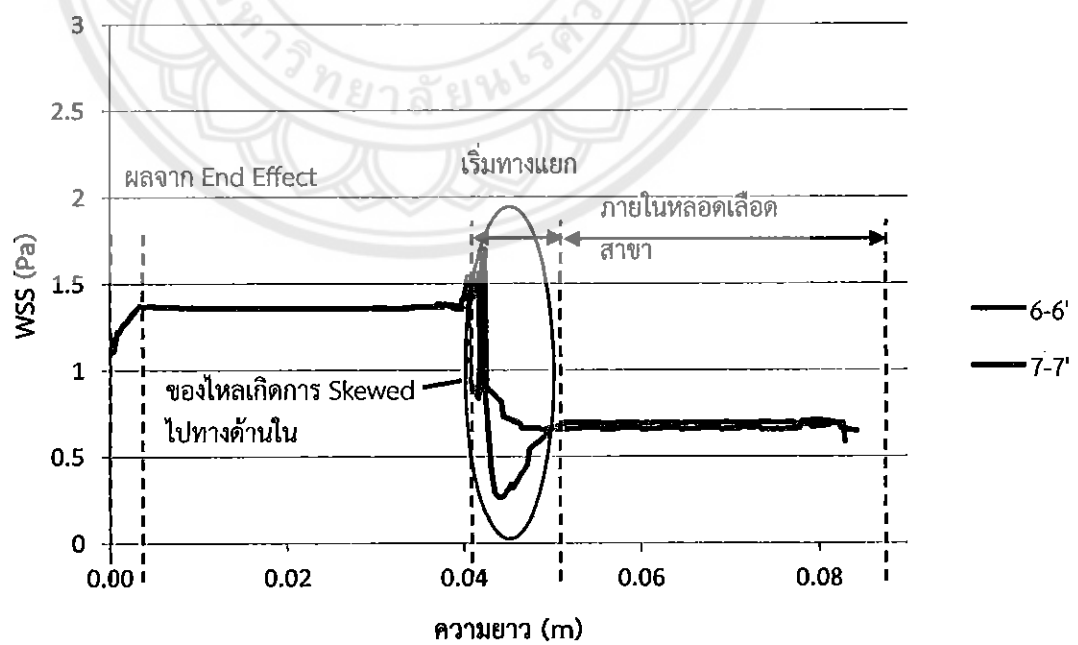
รูปที่ 5.2 ค่าความเค้นเฉือนที่ผนังของหลอดเลือดปกติที่ตำแหน่งดังแสดงในรูป 5.1

การวิเคราะห์การไหลที่ทางแยกของหลอดเลือดที่ไม่ได้ใส่ขาด漉ผ่านเส้น 6-6' และเส้น 7-7' โดยที่เส้น 6-6' ผ่านด้านนอกของหลอดเลือดสาขา และเส้น 7-7' ผ่านด้านในของหลอดเลือดสาขา ดังแสดงในรูปที่ 5.3 ให้ค่าความเค้นเฉือนที่ผนังแสดงในรูปที่ 5.4 พบร้า บริเวณทางเข้าของทั้งเส้น 6-6' และเส้น 7-7' มีค่าความเค้นเฉือนที่ผนังประมาณ 1.1 Pa และเพิ่มขึ้นจนถึง 1.3 Pa ทั้งนี้อาจเป็น ผลมาจากการเกิด End Effect ที่บริเวณทางเข้าของหลอดเลือด และเมื่อของไหลไหลเข้าไปจะกับจุดทางแยกของหลอดเลือดสาขา ของไหลส่วนหนึ่งถูกแบ่งให้ไหลเข้าไปในทางแยกของหลอดเลือดสาขา พบร้าที่บริเวณเริ่มต้นทางแยกของผนังด้านใน ให้ค่าความเค้นเฉือนที่ผนังสูงกว่าบริเวณเริ่มต้นทาง

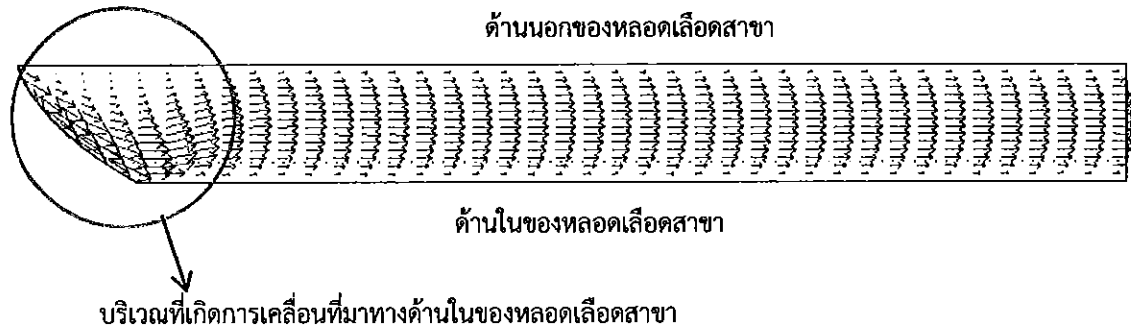
แยกของผนังด้านนอก ดังแสดงในรูปที่ 5.4 เนื่องจากหลอดเลือดสาขาทำมุมเอียงกับหลอดเลือดปกติ ทำให้เกิดแรงเหวี่ยงสูญญากาศ (Centrifugal Force) เป็นผลให้ของไหลเกิดการ Skew ไปทางด้านในของหลอดเลือดสาขาและให้ค่าความเค้นเฉือนที่ผนังกว้างอยู่ที่ประมาณ 0.7-1.6 Pa และบริเวณเริ่มต้นทางแยกของผนังด้านนอกเกิด Flow Separation ให้ค่าความเค้นเฉือนที่ผนังลดลงอย่างรวดเร็วจาก 1.6 Pa ไปเป็น 0.3 Pa ดังแสดงในรูปที่ 5.5 หลังจากที่ของไหลไหหล่นพ้นบริเวณทางแยกแล้ว ค่าความเค้นเฉือนที่ผนังของทั้ง 2 เส้น มีค่าใกล้เคียงกันอยู่ที่ประมาณ 0.7 Pa ดังแสดงในรูปที่ 5.4



รูปที่ 5.3 ตำแหน่งของข้อมูลของค่าความเค้นเฉือนที่ผนังที่ทางแยกของหลอดเลือด



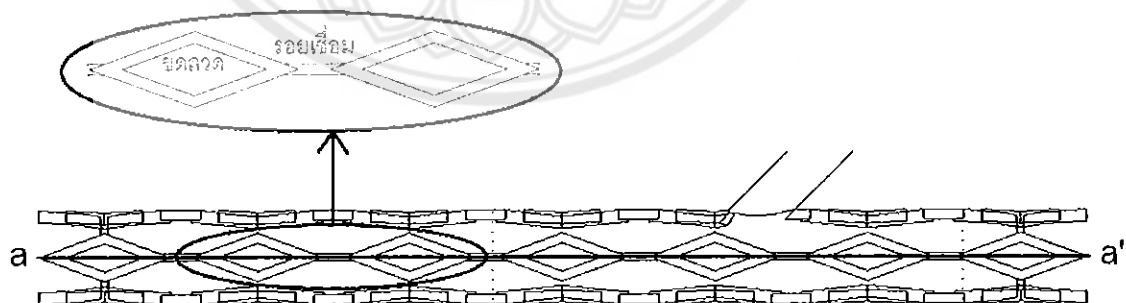
รูปที่ 5.4 ค่าความเค้นเฉือนที่ผนังของหลอดเลือดปกติที่ตำแหน่งดังแสดงในรูป 5.3



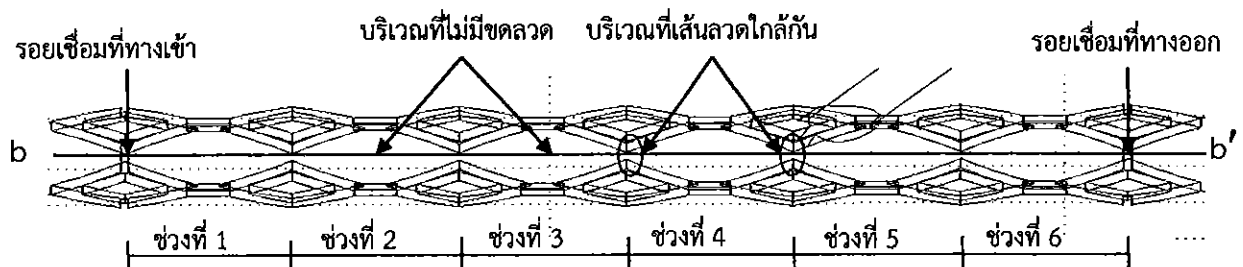
รูปที่ 5.5 การกระจายความเร็วภายในหลอดเลือดสาขา

5.2 ผลกระทบของความหนาของชด漉วด

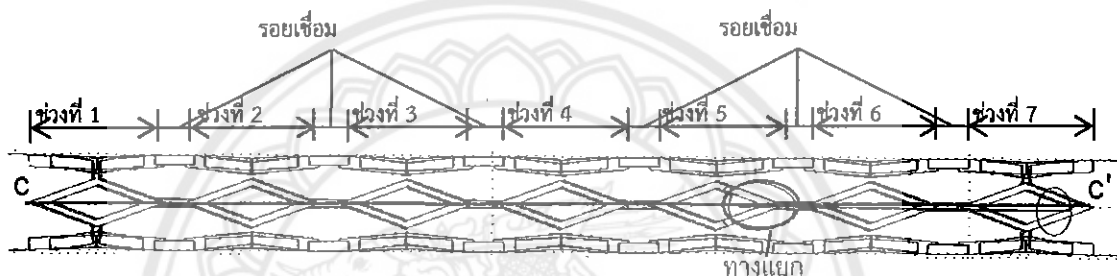
สำหรับการแสดงผลของค่าความเค้นเฉือนที่ผนังสำหรับการไฟล์ผ่านหลอดเลือดที่ใส่ชด漉วด เราจะแยกพิจารณาการไฟลอกออกเป็น 3 กรณีก่อตัวคือ การไฟล์ผ่านหลอดเลือดที่ใส่ชด漉วดที่มีจำนวน เชลล์ของชด漉วดเท่ากันคือ 28 เชลล์แต่มีความหนาของชด漉วดต่างกัน ซึ่งได้แก่ ชด漉วดที่มีความหนา 0.3, 0.4 และ 0.5 mm โดยทำการวินิเคราะห์การไฟล์ที่ผนังของหลอดเลือดผ่านเส้น a-a', b-b' และ c-c' โดยที่เส้น a-a' ผ่านบริเวณรอยเชื่อมหัวท้ายและบริเวณที่ไม่มีชด漉วด ดังแสดงในรูปที่ 5.8 เส้น b-b' ผ่านบริเวณรอยเชื่อมหัวท้ายและบริเวณที่ไม่มีชด漉วด ดังแสดงในรูปที่ 5.9 และเส้น c-c' ผ่านบริเวณ ชด漉วด รอยเชื่อมของชด漉วดและผ่านบริเวณทางแยกของหลอดเลือดสาขา ดังแสดงในรูปที่ 5.10



รูปที่ 5.8 ตำแหน่งของข้อมูลของค่าความเค้นเฉือนที่ผนังของหลอดเลือดที่ใส่ชด漉วด โดยผ่านชด漉วด และรอยเชื่อมของชด漉วด (a-a')



รูปที่ 5.9 ตำแหน่งของข้อมูลค่าความเค้นเฉือนที่ผนังของหลอดเลือดที่ใส่ช่องว่าง โดยผ่านรอยเชื่อมที่ทางเข้า บริเวณที่ไม่มีช่องว่าง บริเวณที่เส้นลวดใกล้กันและผ่านบริเวณรอยเชื่อมที่ทางออก (b-b')

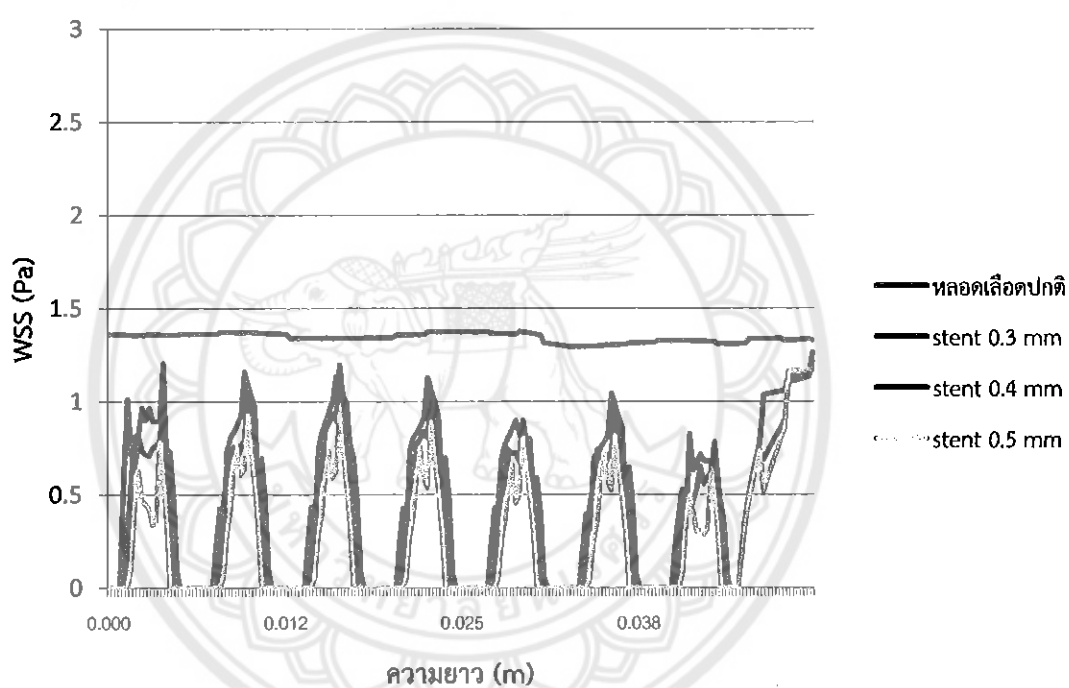


รูปที่ 5.10 ตำแหน่งของข้อมูลของค่าความเค้นเฉือนที่ผนังของหลอดเลือดที่ใส่ช่องว่างโดยผ่านบริเวณช่องว่าง รอยเชื่อมของช่องว่างและผ่านบริเวณทางแยกของหลอดเลือดสาขา (c-c')

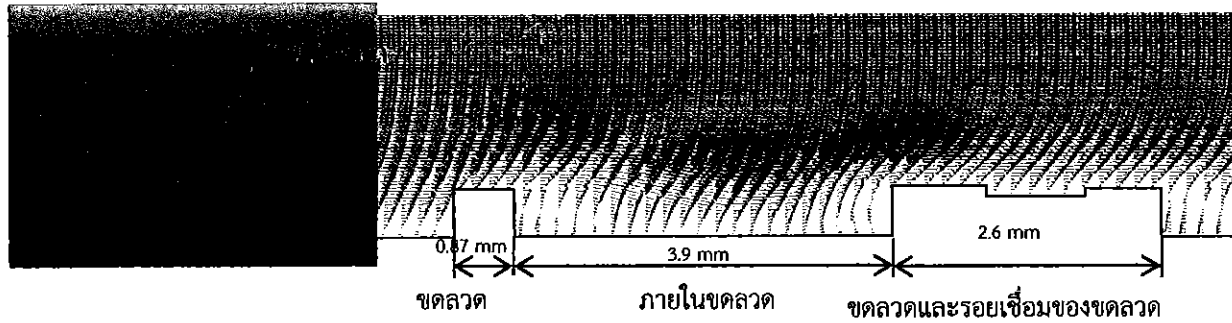
รูปที่ 5.11 แสดงค่าความเค้นเฉือนที่ผนังผ่านเส้น a-a' บริเวณที่ใส่ช่องว่างและรอยเชื่อมของช่องว่าง (ดูรูปที่ 5.8) เพื่อทำการเปรียบเทียบค่าความเค้นเฉือนที่ผนังของหลอดเลือดปกติกับหลอดเลือดที่ใส่ช่องว่างทั้ง 3 ความหนา พบว่าค่าความเค้นเฉือนที่ผนังของหลอดเลือดปกติ มีค่าเฉลี่ยเท่ากับ 1.3 Pa และค่าความเค้นเฉือนที่ผนังของช่องว่างทั้ง 3 ความหนา มีแนวโน้มไปในทิศทางเดียวกัน กล่าวคือ ภัยในเซลล์ที่ผนังหลอดเลือดที่สัมผัสกับเลือดจะเกิดการแกว่งของข้อมูลของค่าความเค้นเฉือนที่ผนัง โดยที่ความหนา 0.3 mm ให้ค่าความเค้นเฉือนที่ผนังสูงที่สุด รองลงมาคือที่ความหนา 0.4 mm และความหนา 0.5 mm ให้ค่าความเค้นเฉือนที่ผนังต่ำที่สุด โดยมีค่าเฉลี่ยบริเวณภัยในเซลล์ของช่องว่างเท่ากับ $0.91, 0.79$ และ 0.64 Pa ของช่องว่างที่มีความหนา $0.3, 0.4$ และ 0.5 mm ตามลำดับ บริเวณที่ให้ค่าความเค้นเฉือนที่ผนังเท่ากับศูนย์ซึ่งตรงกับตำแหน่งของช่องว่าง

รูปที่ 5.12 เป็นการแสดงໂປຣີຄວາມເຮົວຂອງหลอดเลือดທີ່ໄສ່ຊ່ດລວດ ທີ່ມີຄວາມໜານ $0.3, 0.4$ ແລະ 0.5 mm ເບີຍນເທິຍກັບຫຼອດເລືອດປົກຕິ ທີ່ໄສ່ໄດ້ໄສ່ຊ່ດລວດ ເມື່ອທຳກາວວິເຄຣາທີ່ໂປຣີຄວາມເຮົວຂອງຫຼອດເລືອດທີ່ໄສ່ຊ່ດລວດຂອງທັງ 3 ຄວາມໜານ ພບວ່າເມື່ອຂອງໄຫລໄຫລເຂົມປະທະກັບບຣິເວນທີ່ໄກ້ກັບຊ່ດລວດ ຮຳໃຫ້ເກີດການໄຫລຍັນກັບ (Back Flow) ຈຶ່ນທີ່ບຣິເວນນີ້ ຂອງທັງ 3 ຄວາມໜານ ແລະ ສັງຜູກໃຫ້

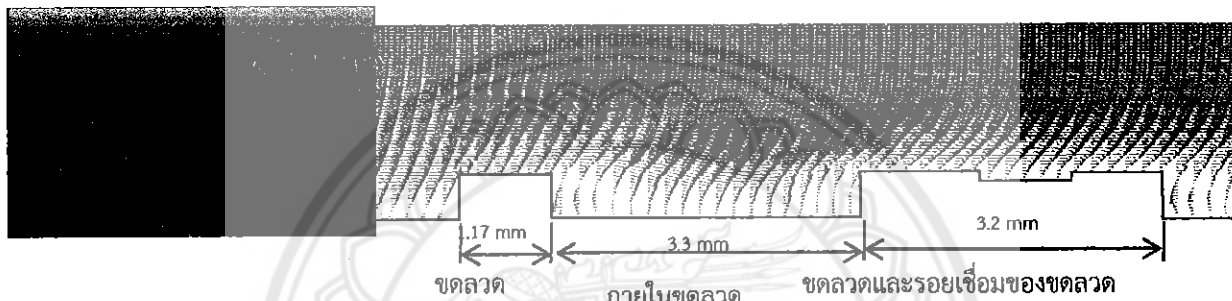
ค่าความเค้นเฉือนที่ผนังมีค่าต่ำลง หลังจากนั้นบริเวณภายในชุดลวดหง 3 จะค่อย ๆ เปลี่ยนจาก Back Flow ไปเป็น Flow Separation ที่บริเวณกึ่งกลางภายในชุดลวด สังเกตได้ว่า ความรุนแรงของ Flow Separation เกิดขึ้นในชุดลวดที่มีความหนา 0.5 mm รุนแรงที่สุด ตามมาด้วยชุดลวดที่มีความหนา 0.4 และ 0.3 mm ทั้งนี้เป็นผลมาจากการความหนาของชุดลวด จะเห็นได้ว่า ชุดลวดที่มีความหนา 0.5 mm ครอบคลุมพื้นที่ระหว่างชุดลวด ทำให้มีระยะระหว่างลวดน้อยกว่า กล่าวคือ จะให้พื้นที่ของผนังหลอดเลือดที่สัมผัสกับการไหลของเลือด (Wetted Area) น้อย และหลังจากนั้นไปรีเฟล์ ความเร็วจะกลับมาเป็นแบบ Back Flow อีกครั้งเมื่อใกล้กับบริเวณชุดลวด



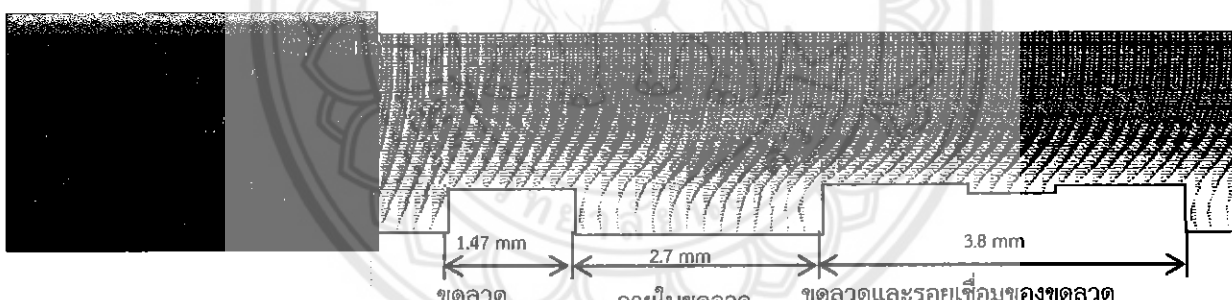
รูปที่ 5.11 ค่าความเค้นเฉือนที่ผนังของหลอดเลือดที่ใส่ชุดลวด ที่ตำแหน่งเส้น a-a'



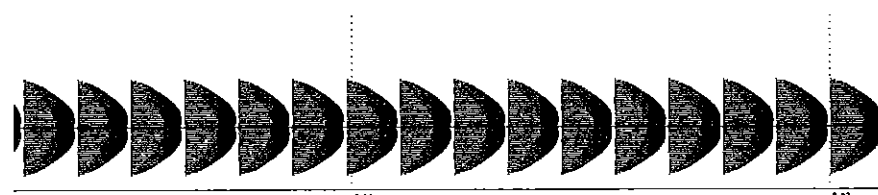
(a) หลอดเลือดที่ใส่ชุดลวด ที่มีความหนา 0.3 mm ผ่านหน้าตัด a-a'



(b) หลอดเลือดที่ใส่ชุดลวด ที่มีความหนา 0.4 mm ผ่านหน้าตัด a-a'



(c) หลอดเลือดที่ใส่ชุดลวด ที่มีความหนา 0.5 mm ผ่านหน้าตัด a-a'



(d) หลอดเลือดที่ไม่ได้ใส่ชุดลวด

รูปที่ 5.12 PROFILE ความเร็วภายในหลอดเลือดที่ใส่ชุดลวดความหนาต่าง ๆ ตามเส้น a-a' เปรียบเทียบกับหลอดเลือดปกติ

รูปที่ 5.13 แสดงค่าความเค้นเฉือนที่ผนังผ่านเส้น b-b' โดยการให้เริ่มจากผ่านรอยเชื่อมที่ทางเข้า แล้วจึงผ่านบริเวณที่ไม่มีขด漉ดของช่วงที่ 1 (ดูรูปที่ 5.9) พบว่า ค่าความเค้นเฉือนที่ผนังของขด漉ดทั้ง 3 มีแนวโน้มไปเป็นทิศทางเดียวกัน โดยเริ่มจากของไหลให้เข้าไปทางกับบริเวณรอยเชื่อมที่ทางเข้าของขด漉ด ซึ่งบริเวณนี้ ให้ค่าความเค้นเฉือนที่ผนังเท่ากับศูนย์ และในบริเวณที่ใกล้กับรอยเชื่อมนี้เอง สังเกตได้ว่าเกิดการ Flow Separation ขึ้น และความรุนแรงของ Flow Separation ขึ้นอยู่กับความหนาของขด漉ด ดังแสดงในรูปที่ 5.14

หลังจากนั้นของไหลเคลื่อนที่ผ่านบริเวณที่ไม่มีขด漉ดภายในช่วงที่ 1 ให้ค่าความเค้นเฉือนที่ผนังเฉลี่ยเท่ากับ 1.28, 1.02 และ 1.04 Pa ของขด漉ดที่มีความหนา 0.3, 0.4 และ 0.5 mm ตามลำดับ ดังแสดงในรูปที่ 5.13 และจากรูปที่ 5.15 จะสังเกตได้ว่า ความรุนแรงของ Flow Separation เกิดขึ้นในขด漉ดที่มีความหนา 0.5 mm รุนแรงที่สุด ตามมาด้วยขด漉ดที่มี ความหนา 0.4 และ 0.3 mm ทั้งนี้เป็นผลมาจากการความหนาของขด漉ด 漉ดที่หนากว่าจะครอบคลุมพื้นที่ของผนังหลอดเลือด ทำให้พื้นที่ของผนังหลอดเลือดที่สัมผัสถูกการไหลมีค่าน้อยลง

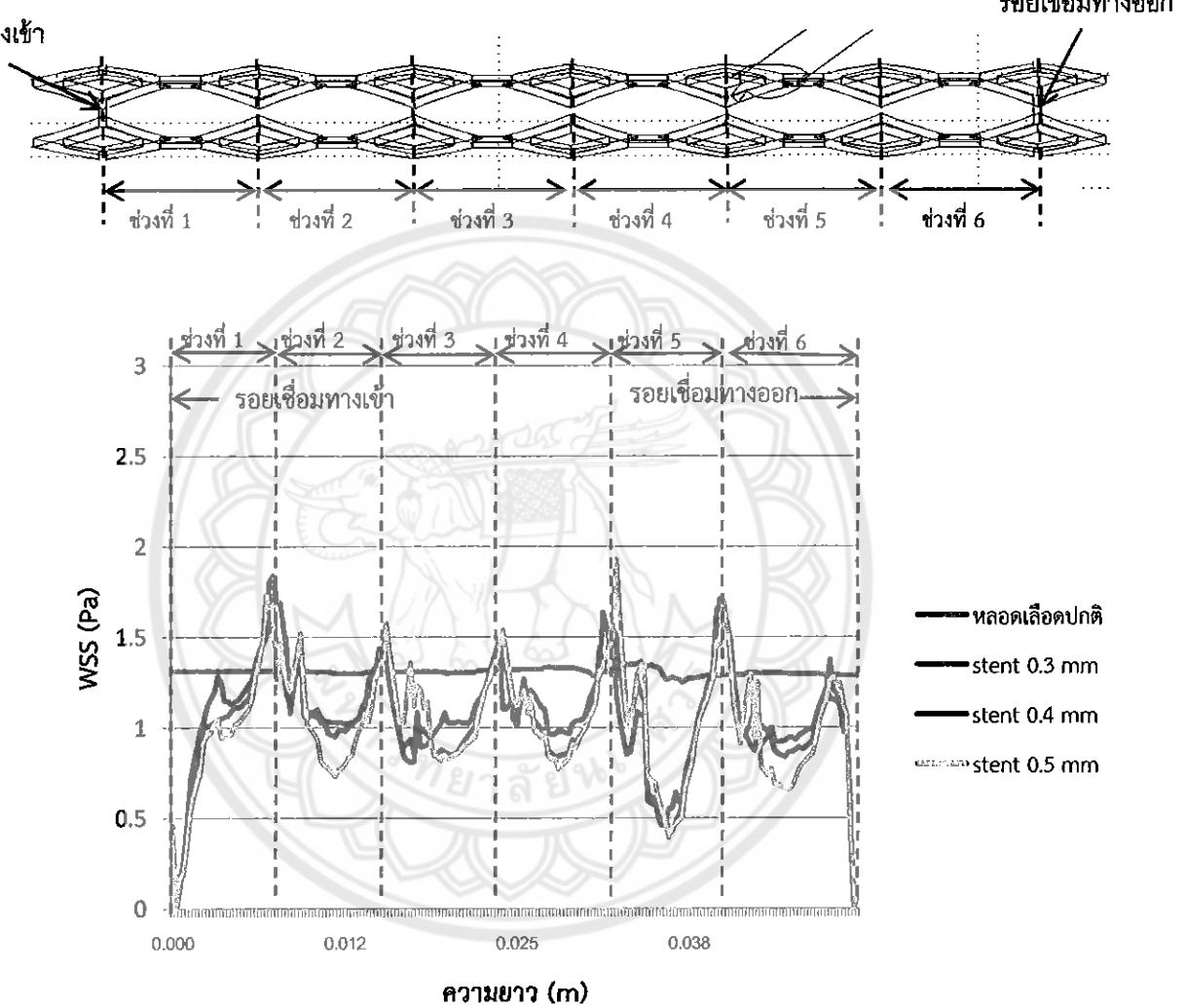
จากนั้นของไหลเคลื่อนที่ผ่านบริเวณที่เส้นขด漉ดใกล้กับภายในช่วงที่ 1 ในบริเวณนี้มีพื้นที่การไหลถูกบีบ ทำให้ค่าความเค้นเฉือนที่ผนังสูงกว่าบริเวณอื่น ๆ ซึ่งมีค่าเฉลี่ยเท่ากับ 1.7, 1.8 และ 1.7 Pa ของขด漉ดที่มีความหนา 0.3, 0.4 และ 0.5 mm ตามลำดับดังแสดงในรูปที่ 5.13 และการเกิด Flow Separation มีความรุนแรงมากที่สุดในขด漉ดที่มีความหนา 0.5 mm ตามมาด้วยขด漉ดที่มี ความหนา 0.4 และ 0.3 mm ดังแสดงในรูปที่ 5.16

ในทำนองเดียวกันกับช่วงที่ 1 ค่าของความเค้นเฉือนที่ผนังในช่วงที่ 2-4 ที่ให้ลักษณะของข้อมูลที่คล้ายกันกล่าวคือ บริเวณที่漉ดขิดกันจะได้จุดสูงสุด (Peak) ของค่าความเค้นเฉือนที่ผนัง และเมื่อการไหลเข้ามาสู่บริเวณที่漉ดห่างกันก็จะให้ค่าความเค้นเฉือนที่ผนังที่ต่ำลง นอกเหนือนี้ค่าความเค้นเฉือนที่ผนังเฉลี่ยในช่วงที่ 2 มีค่าเป็น 1.1, 0.98 และ 0.7 Pa สำหรับ漉ดหนา 0.3, 0.4 และ 0.5 mm ตามลำดับ ในช่วงที่ 3 มีค่าเป็นเป็น 1.1, 0.8 และ 0.7 Pa และในช่วงที่ 4 มีค่าเป็น 1, 0.8 และ 0.8 Pa

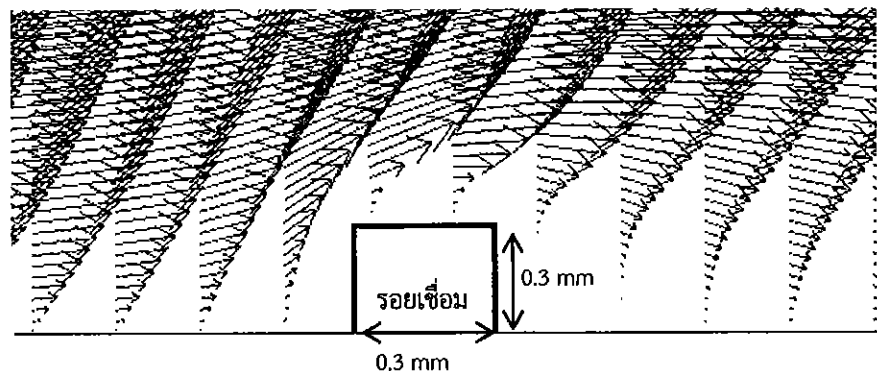
เมื่อของไหลเคลื่อนที่ผ่านบริเวณที่ใกล้กับทางแยกของหลอดเลือดสาขา ของไหลส่วนหนึ่งถูกแบ่งให้ไหลเข้าไปในหลอดเลือดสาขา ทำให้มีค่าความเค้นเฉือนที่ผนังของหลอดเลือดหลักภายในช่วงที่ 5 ลดต่ำกว่าบริเวณอื่น ๆ และมีค่าเฉลี่ยเท่ากับ 0.6, 0.4 และ 0.39 Pa สำหรับ漉ดที่มีความหนา 0.3, 0.4 และ 0.5 mm ตามลำดับดังแสดงในรูปที่ 5.13 สังเกตได้ว่า Flow Separation ที่เกิดขึ้นในขด漉ดที่มีความหนา 0.5 mm รุนแรงที่สุด ตามมาด้วยขด漉ดที่มี ความหนา 0.4 และ 0.3 mm ดังแสดงในรูปที่ 5.17

สุดท้าย ในช่วงที่ 6 ก็มีลักษณะของข้อมูลที่คล้ายกับในช่วงที่ 1-4 และให้ค่าความเค้นเฉือนที่ผนังเฉลี่ยในช่วงที่ 6 มีค่าเป็น 0.9, 0.8 และ 0.65 Pa ในช่วงที่ 6 นี้ ค่าความเค้นเฉือนที่ผนังมีการปรับตัวของการไหลเนื่องจากในช่วงก่อนหน้า (ช่วงที่ 5) ของไหลถูกแบ่งให้ไหลเข้าไปในหลอดเลือดสาขา จึงทำให้มีค่าความเค้นเฉือนที่ผนังต่ำกว่าบริเวณอื่นเพียงเล็กน้อย

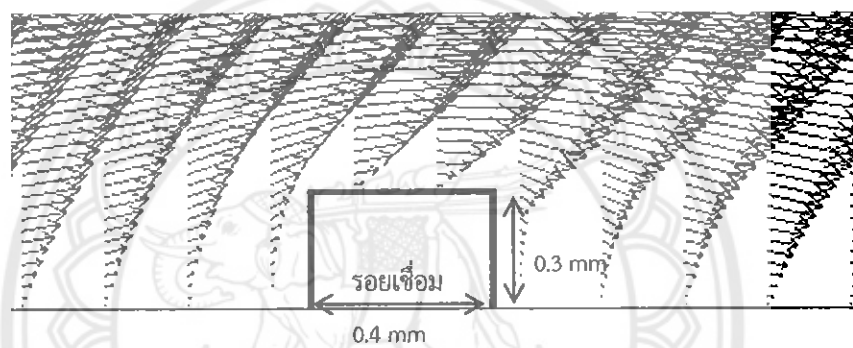
รอยเชื่อมทางเข้า



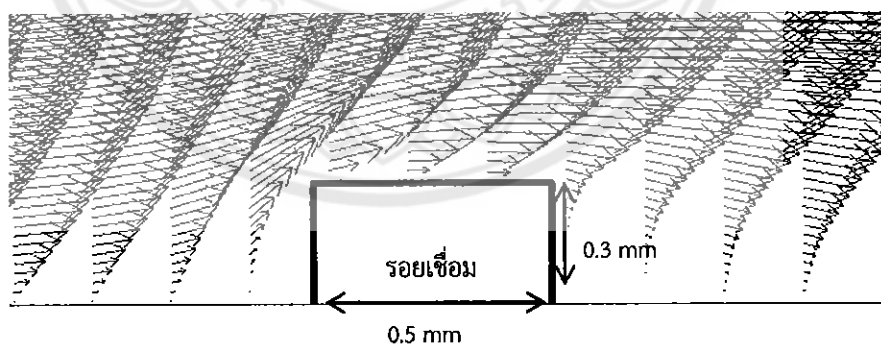
รูปที่ 5.13 ค่าความเค้นเฉือนที่ผนังของหลอดเลือดที่ใส่คลอด ที่ตำแหน่งเส้น b-b'



(a) หลอดเลือดที่ใส่ขดลวด ที่มีความหนา 0.3 mm ผ่านหน้าตัด b-b'

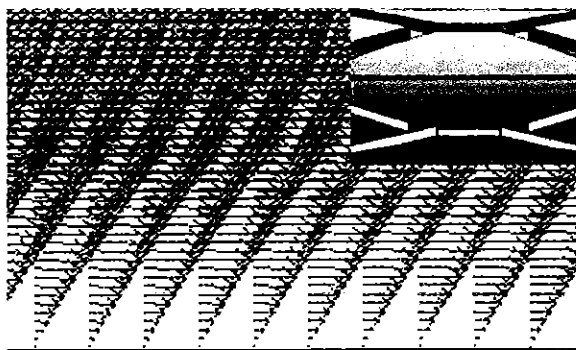


(b) หลอดเลือดที่ใส่ขดลวด ที่มีความหนา 0.4 mm ผ่านหน้าตัด b-b'

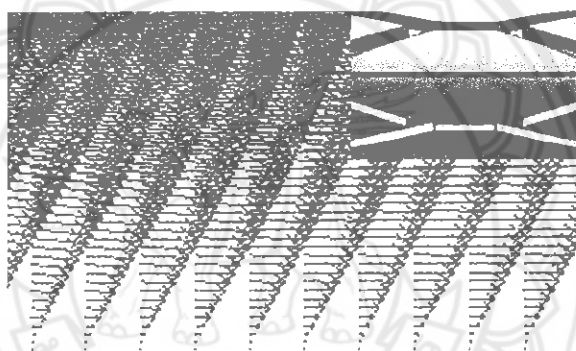


(c) หลอดเลือดที่ใส่ขดลวด ที่มีความหนา 0.5 mm ผ่านหน้าตัด b-b'

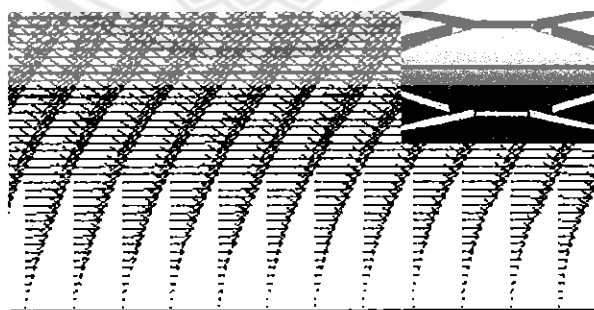
รูปที่ 5.14 ประเพิลความเร็วภายในหลอดเลือดที่ใส่ขดลวดความหนาต่าง ๆ ตามเส้น b-b'
โดยที่ผ่านรอยเชื่อมของขดลวด



(a) หลอดเลือดที่ใส่ชุดลวด ที่มีความหนา 0.3 mm ผ่านหน้าตัด b-b'

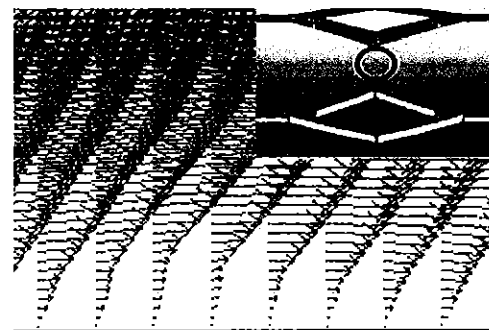


(b) หลอดเลือดที่ใส่ชุดลวด ที่มีความหนา 0.4 mm ผ่านหน้าตัด b-b'

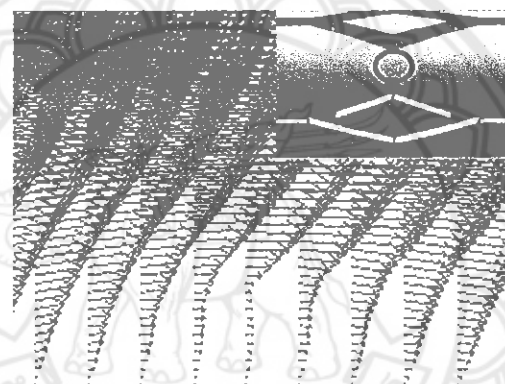


(c) หลอดเลือดที่ใส่ชุดลวด ที่มีความหนา 0.5 mm ผ่านหน้าตัด b-b'

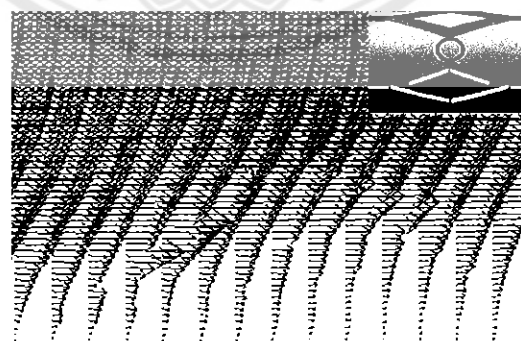
รูปที่ 5.15 ໂປຣໄຟລ໌ຄວາມເຮົວກາຍໃນหลอดເລືອດທີ່ໄສ່ຂົດລວດຄວາມໜາຕ່າງໆ ຕາມເສັ້ນ b-b'
ໂດຍທີ່ຜ່ານບັນລາຍການທີ່ໄນ້ມີຂົດລວດ



(a) หลอดเลือดที่ใส่ขดลวด ที่มีความหนา 0.3 mm ผ่านหน้าตัด b-b'

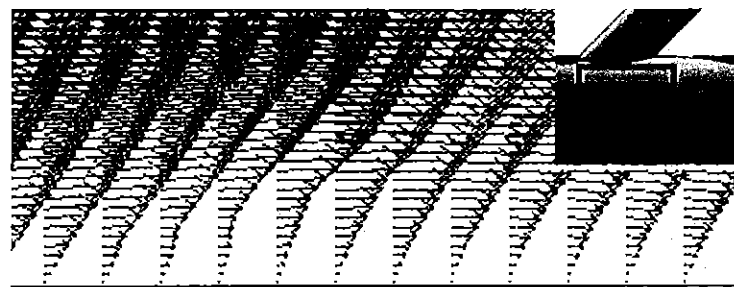


(b) หลอดเลือดที่ใส่ขดลวด ที่มีความหนา 0.4 mm ผ่านหน้าตัด b-b'

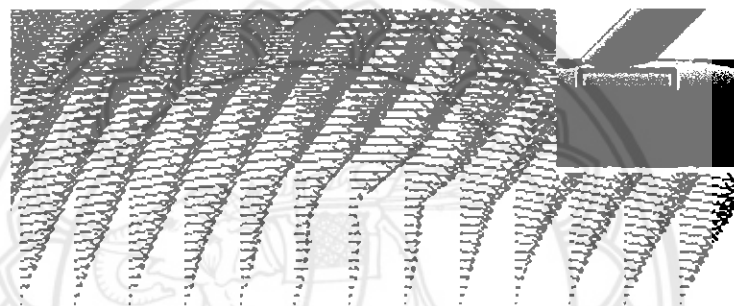


(c) หลอดเลือดที่ใส่ขดลวด ที่มีความหนา 0.5 mm ผ่านหน้าตัด b-b'

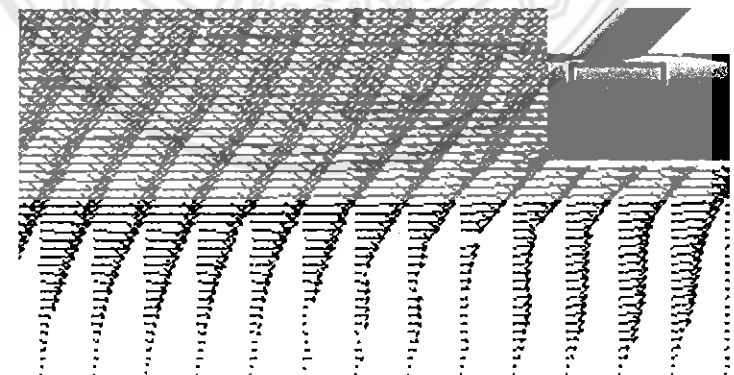
รูปที่ 5.16 PROFILE ความเร็วภายในหลอดเลือดที่ใส่ขดลวดความหนาต่าง ๆ ตามเส้น b-b' โดยที่ผ่านบริเวณเส้น漉ดใกล้กัน



(a) หลอดเลือดที่ใส่ขดลวด ที่มีความหนา 0.3 mm ผ่านหน้าตัด b-b'



(b) หลอดเลือดที่ใส่ขดลวด ที่มีความหนา 0.4 mm ผ่านหน้าตัด b-b'



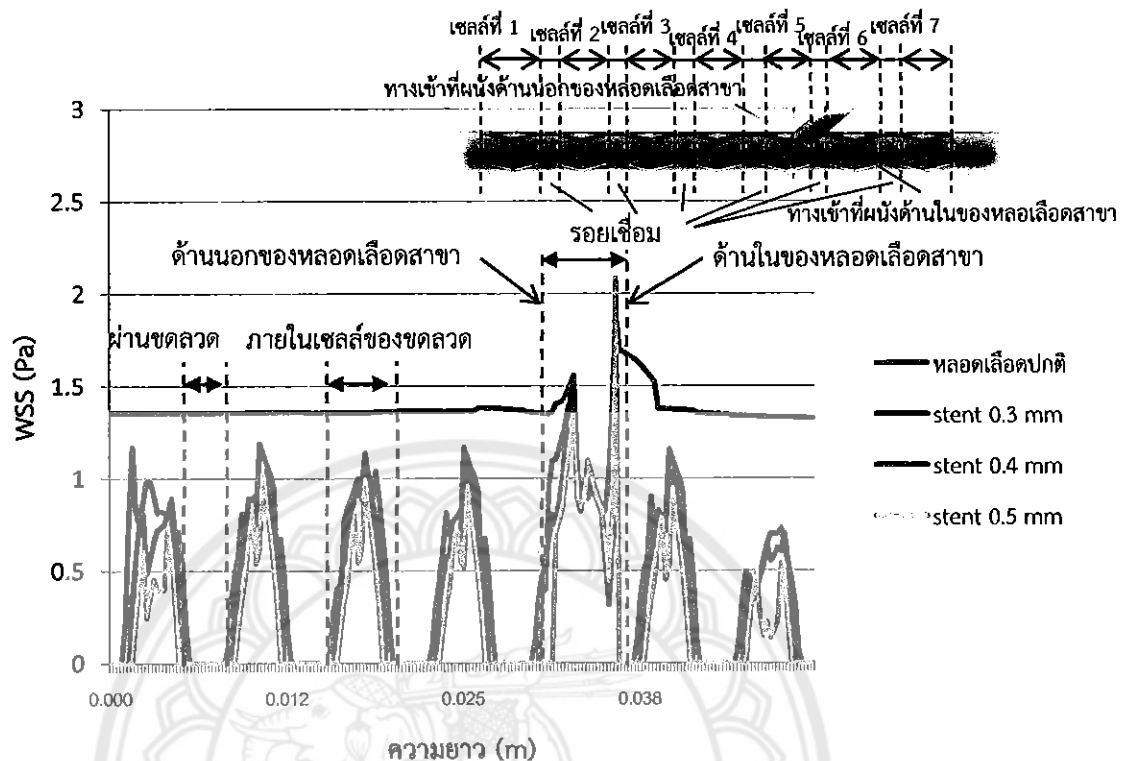
(c) หลอดเลือดที่ใส่ขดลวด ที่มีความหนา 0.5 mm ผ่านหน้าตัด b-b'

รูปที่ 5.17 ໂປຣີຟ້າຄວາມເຮົວກາຍໃນหลอดເລືອດທີ່ໄສ່ຂດລວດຄວາມໜາຕ່າງໆ ຕາມເສັ້ນ b-b'
ໂດຍທີ່ຜ່ານບຣິເວນໄກລ້ກັບທາງແຍກຂອງຫລອດເລືອດສາຫາ

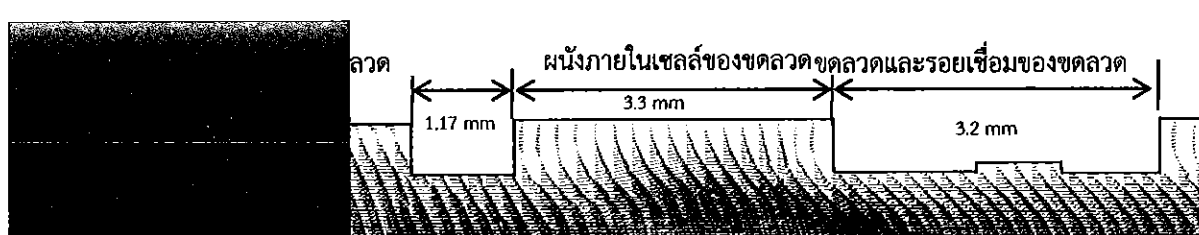
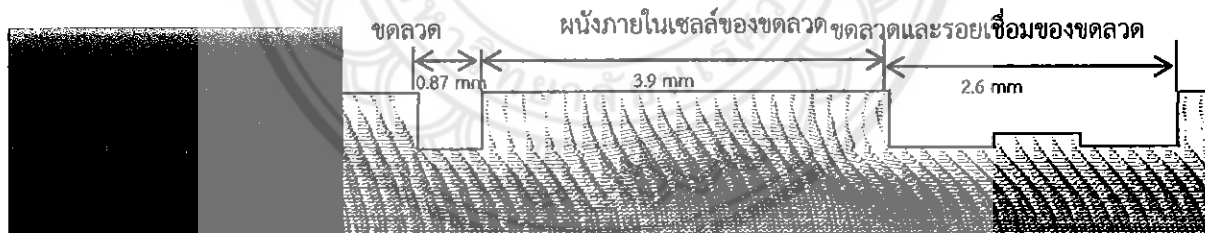
รูปที่ 5.18 แสดงค่าความเค้นเฉือนที่ผนังบนเส้น C-C' ผ่านบริเวณชุด漉วัต รอยเชื่อมของชุด漉วัต และผ่านบริเวณทางแยกของหลอดเลือดสาขา (ดูรูปที่ 5.10) เพื่อทำการเปรียบเทียบค่าความเค้นเฉือนที่ผนังของหลอดเลือดปกติกับหลอดเลือดที่ใส่ชุด漉วัตทั้ง 3 ความหนา พบว่าค่าความเค้นเฉือนที่ผนังของหลอดเลือดปกติ มีค่าเฉลี่ยเท่ากับ 1.3 Pa และชุด漉วัตที่มีความหนาทั้ง 3 ให้ค่าความเค้นเฉือนที่ผนังมีแนวโน้มไปในทิศทางเดียวกัน และค่าความเค้นเฉือนที่ผนังที่ผ่านบริเวณชุด漉วัตและรอยเชื่อมของชุด漉วัต ให้ค่าที่คล้ายคลึงกันกับการไหลผ่านที่เส้น a-a' ซึ่งค่าความเค้นเฉือนที่ผนังของเส้น C-C' บริเวณผนังภายในเซลล์ของชุด漉วัตมีค่าเฉลี่ยเท่ากับ 0.88 , 0.82 และ 0.64 Pa ของชุด漉วัตที่มีความหนา 0.3 , 0.4 และ 0.5 mm ตามลำดับ

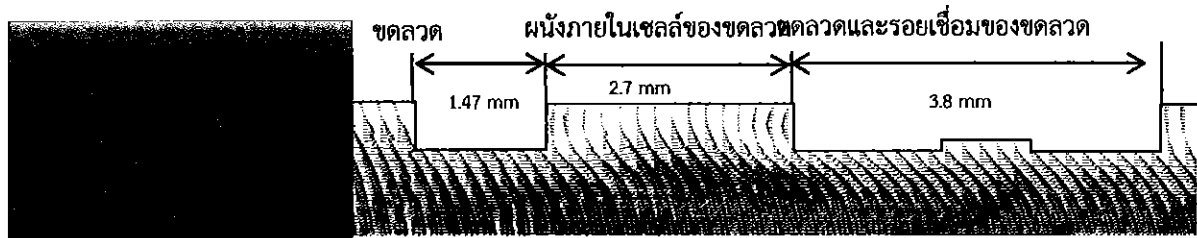
ชุด漉วัตทั้ง 3 ความหนา มีค่าความเค้นเฉือนที่ผนังต่างกัน สังเกตได้จากรูปที่ 5.19 เมื่อของไหลไหลเข้ามาปะทะกับบริเวณที่ไกล์กับชุด漉วัต ทำให้เกิดการไหลย้อนกลับ (Back Flow) ขึ้น ส่งผลให้ค่าความเค้นเฉือนที่ผนังมีค่าต่ำลง หลังจากนั้นบริเวณผนังหลอดเลือดภายในเซลล์ของชุด漉วัตจะค่อย ๆ ลดระดับความรุนแรงของ Back Flow ลงเป็น Flow Separation ที่บริเวณกึ่งกลางเซลล์ และการไหลพวยามปรับตัวให้เข้าสู่สภาวะปกติกล่าวคือ ให้ไกล์เคียงกับการไหลในหลอดเลือดปกติ ซึ่งจะส่งผลให้ค่าความเค้นเฉือนที่ผนังอยู่ที่ระดับปกติ (0.5 - 1.5 Pa) สังเกตได้ว่า ความรุนแรงของ Flow Separation เกิดขึ้นในชุด漉วัตที่มีความหนา 0.5 mm รุนแรงที่สุด ตามมาด้วยชุด漉วัตที่มีความหนา 0.4 และ 0.3 mm ทั้งนี้เป็นผลมาจากการความหนาของชุด漉วัตซึ่งกินพื้นที่บริเวณภายในเซลล์ของชุด漉วัตเข้าไป

นอกจากนี้ เส้น C-C' ยังมีการไหลผ่านบริเวณทางแยกของหลอดเลือดสาขา พบว่าค่าความเค้นเฉือนที่ผนังของชุด漉วัตทั้ง 3 ความหนา มีค่าไกล์เคียงกัน และในบริเวณนี้ของไหลส่วนหนึ่งถูกแบ่งให้ไหลเข้าไปที่ทางแยกของหลอดเลือดสาขา เป็นเหตุให้มีการไหลที่บริเวณหลอดเลือดหลักน้อยลง ผลของความเค้นเฉือนที่ผนังเกิดการแกร่งขึ้นลง โดยเฉพาะอย่างยิ่งบริเวณไกล์กับทางเข้าที่ผนังด้านในของหลอดเลือดสาขา ซึ่งให้ค่าความเค้นเฉือนที่ผนังสูงขึ้นจากประมาณ 0.3 - 0.5 Pa ไปเป็น 2.1 Pa ทั้งนี้เป็นผลมาจากการหลอดเลือดสาขาทำมุมเอียง 45° กับหลอดเลือดปกติ ทำให้เกิดแรงเหวี่ยงสูญญากาศ (Centrifugal Force) และของไหลเกิดการ Skew ไปทางด้านในของหลอดเลือดสาขาทำให้ค่าความเค้นเฉือนที่ผนังภายในหลอดเลือดหลักของชุด漉วัตทั้ง 3 สูงขึ้น ดังแสดงในรูปที่ 5.20 นอกจากนี้ ประโยชน์ความเร็วบ่งแสดง Flow Separation ที่ทางเข้าของผนังด้านนอกอีกด้วย



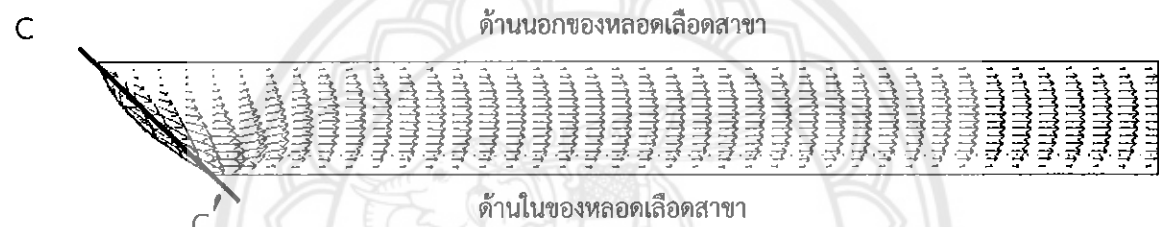
รูปที่ 5.18 ค่าความเค้นเฉือนที่ผนังของหลอดเลือดที่ใส่ชด漉ว ที่ตำแหน่งเส้น C-C'





(c) หลอดเลือดที่ใส่ขดลวด ที่มีความหนา 0.5 mm ผ่านหน้าตัด C-C'

รูปที่ 5.19 PROFILE ความเร็วภายในหลอดเลือดที่ใส่ขดลวดความหนาต่าง ๆ ตามเส้น C-C'



(a) บริเวณทางแยกของหลอดเลือดที่มีความหนา 0.3 mm



(b) บริเวณทางแยกของหลอดเลือดที่มีความหนา 0.4 mm



(c) บริเวณทางแยกของหลอดเลือดที่มีความหนา 0.5 mm

รูปที่ 5.20 PROFILE ความเร็วภายในหลอดเลือดสาขาของหลอดเลือดที่ใส่ขดลวด

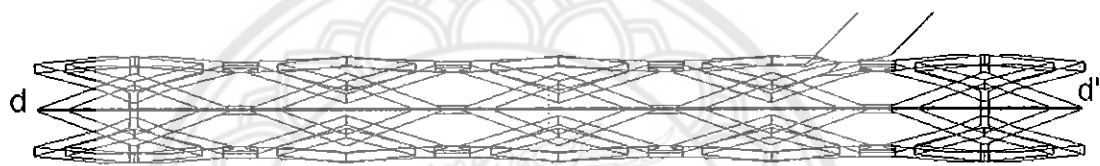
สรุปผลกรอบของความหนาของชด漉วด

เมื่อพิจารณาผลกรอบของความหนาของชด漉วดที่มีต่อค่าความเค้นเฉือนที่ผนังของหลอดเลือด阎แยกง่ายที่สุด โดยใช้ความหนา 0.3, 0.4 และ 0.5 mm พบร่วมกับบริเวณที่ใกล้กับชด漉วดและรอยเชื่อมของชด漉วดให้ค่าความเค้นเฉือนที่ผนังต่ำ สามารถอธิบายได้จากรูปไปรษณีย์ความเร็ว ดังนี้คือ เมื่อของไหลใน管มีความกว้างที่ใกล้กับบริเวณที่ใกล้กับชด漉วด จะเกิด Flow separation เมื่อพิจารณาบริเวณภายในช่องชด漉วดจะสังเกตได้ว่า漉วดที่มีความหนา 0.3 mm เกิด Flow separation ที่รุนแรงน้อยที่สุด และมีค่าความเค้นเฉือนที่ผนังใกล้เคียงกับของหลอดเลือดปกติมากที่สุด ทั้งนี้ชด漉วดที่มีความหนามาก ๆ จะทำให้มีพื้นที่บริเวณภายในช่องชด漉วดน้อยลง จึงทำให้ของไหลปรับตัวไม่ทันที่จะเข้าสู่สภาพภาวะปกติ และส่งผลให้ค่าความเค้นเฉือนที่ผนังมีค่าน้อยลงไปด้วย

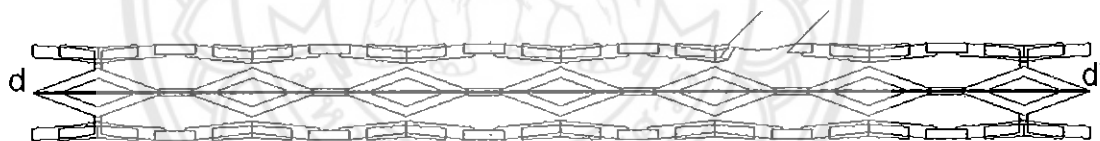


5.3 ผลกระทบของความหนาแน่นของจำนวนเซลล์

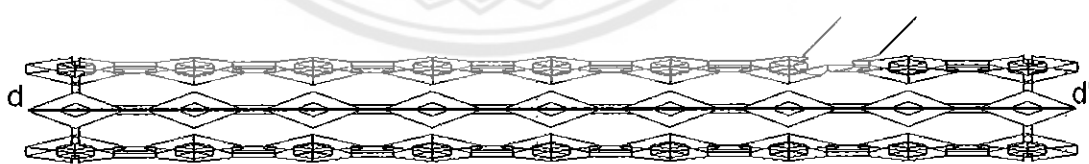
การแสดงผลของค่าความเค้นเฉือนที่ผนังสำหรับการไฟล์ผ่านหลอดเลือดที่ใส่ขดลวด กรณีที่มีความหนาของขดลวดเท่ากันคือ 0.4 mm แต่ความหนาแน่นของจำนวนเซลล์ต่างกัน ซึ่งเราจะแยกพิจารณาการไฟล์ออกเป็น 3 กรณีกล่าวคือ การไฟล์ผ่านหลอดเลือดที่ใส่ขดลวดที่มีจำนวนเซลล์ 15, 28 และ 54 เซลล์ โดยทำการวิเคราะห์การไฟล์ที่ผนังของหลอดเลือดผ่านเส้น $d-d'$ และ $e-e'$ โดยที่เส้น $d-d'$ ผ่านบริเวณขดลวดและรอยเชื่อมของขดลวด ดังแสดงในรูปที่ 5.21 เส้น $e-e'$ ผ่านบริเวณรอยเชื่อมหัวท้ายและบริเวณที่ไม่มีขดลวด ดังแสดงในรูปที่ 5.22 สำหรับการไฟล์ผ่านหลอดเลือดสาขา เราจะทำการวิเคราะห์ในรายละเอียดที่ท้ายหัวข้อนี้



(a) หลอดเลือดที่ใส่ขดลวด ที่มีความหนาแน่นของจำนวนเซลล์ 15 เซลล์

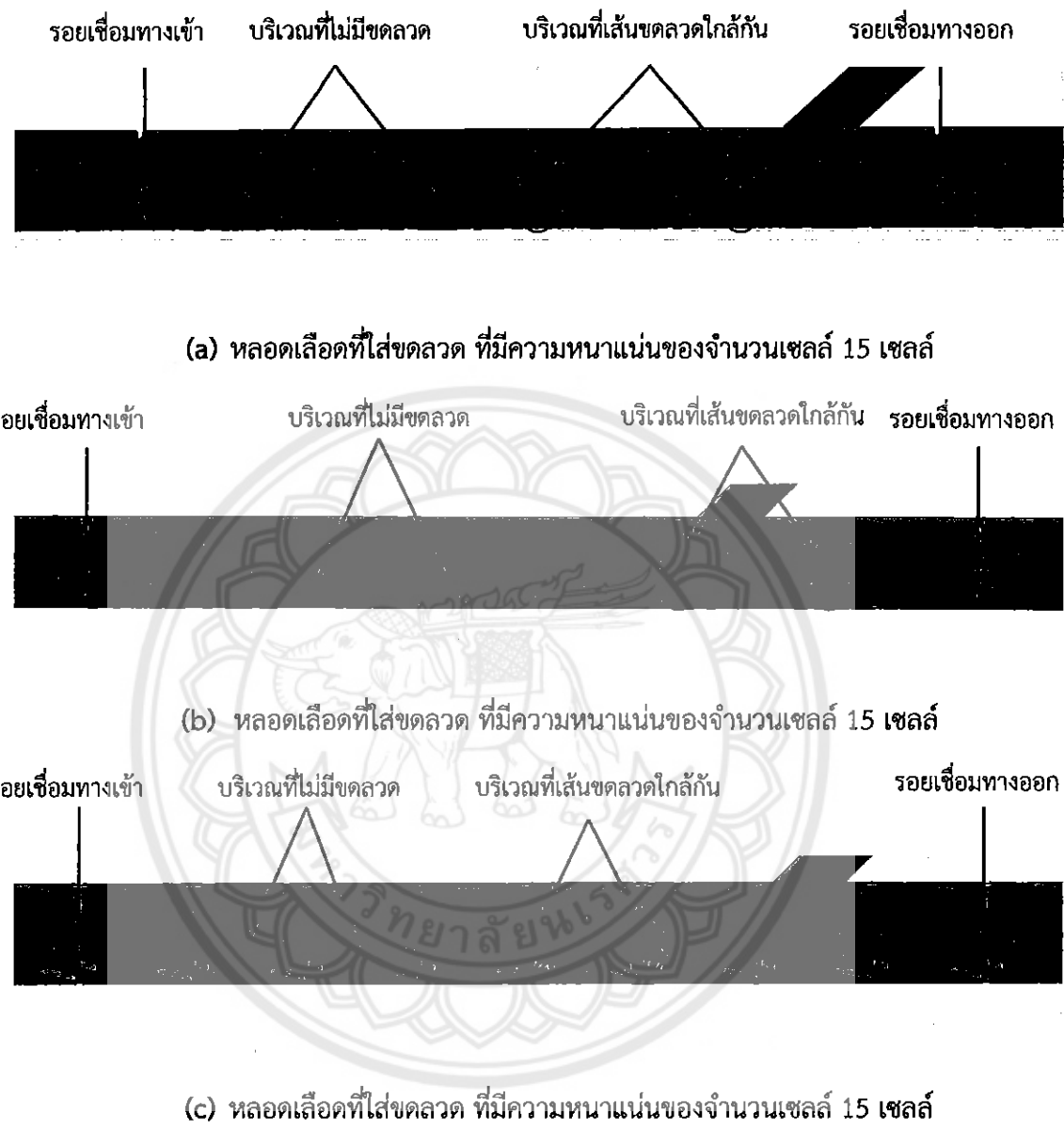


(b) หลอดเลือดที่ใส่ขดลวด ที่มีความหนาแน่นของจำนวนเซลล์ 28 เซลล์



(c) หลอดเลือดที่ใส่ขดลวด ที่มีความหนาแน่นของจำนวนเซลล์ 54 เซลล์

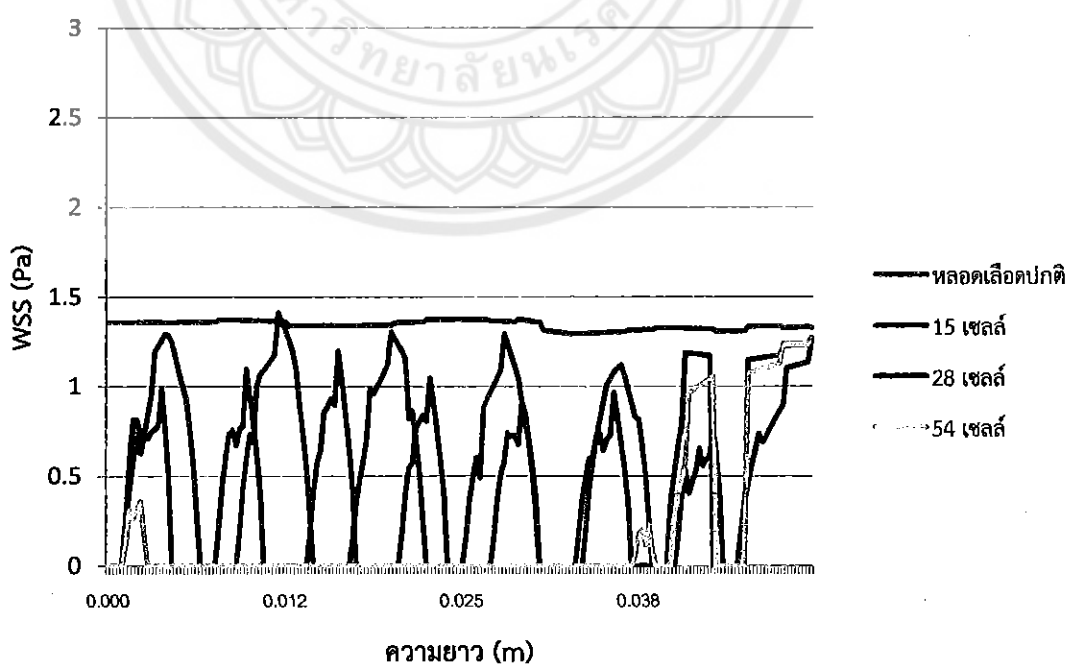
รูปที่ 5.21 ตำแหน่งข้อมูลของค่าความเค้นเฉือนที่ผนังของหลอดเลือดที่ใส่ขดลวดโดยผ่านขดลวดและรอยเชื่อมของขดลวด ($d-d'$)



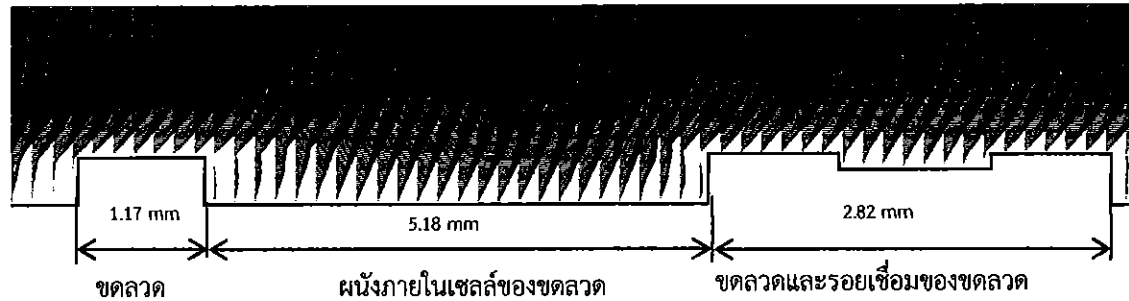
รูปที่ 5.22 ตำแหน่งข้อมูลของค่าความเค้นเฉือนที่ผนังของหลอดเลือดที่ใส่ชด漉วตโดยรอยเชื่อม
ทางเข้า-ออก และผ่านบริเวณที่ไม่มีชด漉วต ($e-e'$)

รูปที่ 5.23 แสดงค่าความเค้นเฉือนที่ผนังผ่านเส้น d-d' ผ่านบริเวณที่ใส่ชุด漉และรอยเชื่อมของชุด漉 (ดูรูปที่ 5.21) เพื่อทำการเปรียบเทียบค่าความเค้นเฉือนที่ผนังของหลอดเลือดปกติกับหลอดเลือดที่มีจำนวนเซลล์ต่างกัน 3 แบบ พบว่าค่าความเค้นเฉือนที่ผนังของหลอดเลือดปกติ มีค่าเฉลี่ยเท่ากับ 1.3 Pa และค่าความเค้นเฉือนที่ผนังของจำนวนเซลล์ทั้ง 3 มีค่าแตกต่างกัน คือ ชุด漉ที่มีจำนวนเซลล์ 15 เซลล์ ให้ค่าความเค้นเฉือนที่ผนังบริเวณภายในของชุด漉เฉลี่ยเท่ากับ 1.2 Pa ชุด漉ที่มีจำนวนเซลล์ 28 เซลล์ มีค่าความเค้นเฉือนที่ผนังเฉลี่ยเท่ากับ 1.01 Pa และ ชุด漉ที่มีจำนวนเซลล์ 54 เซลล์ ให้ค่าความเค้นเฉือนที่ผนังบริเวณภายในชุด漉น้อยมาก มีค่าเข้าใกล้ 0 Pa และค่าความเค้นเฉือนที่ผนังของชุด漉ทั้ง 3 จะเพิ่มขึ้นถึง 1.3 Pa อีกครั้งเมื่อผ่านบริเวณที่ไม่มีชุด漉ที่ใกล้กับทางออกของหลอดเลือดหลัก

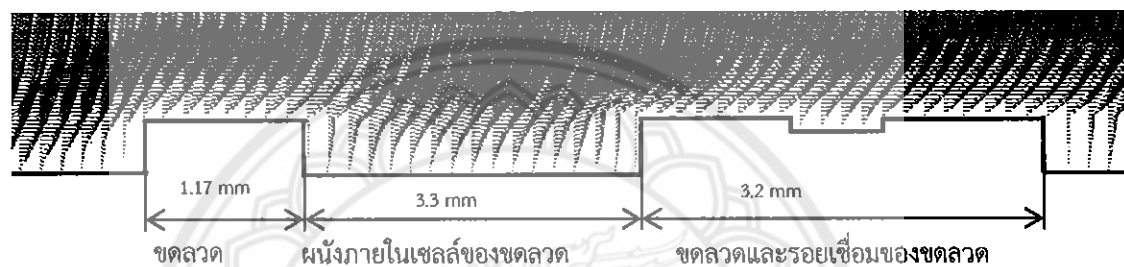
รูปที่ 5.24 เป็นการแสดง PROFILE ความเร็วของหลอดเลือดที่ใส่ชุด漉 ที่มีจำนวนเซลล์ 15, 28 และ 54 เซลล์ เปรียบเทียบกับหลอดเลือดปกติที่ไม่ได้ใส่ชุด漉 ทำการวิเคราะห์ PROFILE ความเร็วของจำนวนเซลล์ทั้ง 3 (ดูรูปที่ 5.24 (a), (b) และ (c)) พบว่า เมื่อของไหลไหลเข้ามาประทับกับบริเวณที่ใกล้กับชุด漉 ทำให้เกิด Flow Separation ขึ้นที่บริเวณนี้ ของทั้ง 3 จำนวนเซลล์ และส่งผลให้ค่าความเค้นเฉือนที่ผนังมีค่าต่ำลง สังเกตได้ว่า ชุด漉ที่มีจำนวนเซลล์ 54 เซลล์ มีระยะเวลาในชุด漉น้อยกว่าชุด漉อีก 2 แบบ เป็นผลให้การไหลภายในเซลล์ปรับตัวไม่ทันเพื่อที่จะเข้าสู่สภาพปกติ ($0.5-1.5 \text{ Pa}$) และเกิด Flow Separation และ Back Flow ตลอดพื้นที่ที่สัมผัสกับเลือด



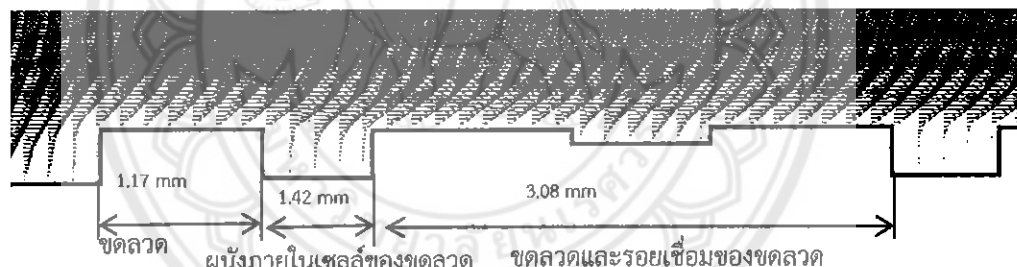
รูปที่ 5.23 ค่าความเค้นเฉือนที่ผนังของหลอดเลือดที่ใส่ชุด漉 ที่จำนวนเซลล์ต่าง ๆ ผ่านเส้น d-d'



(a) หลอดเลือดที่ใส่ขดลวด ที่มีความหนาแน่นของจำนวนชีล์ 15 ชีล์ ($d-d'$)



(b) หลอดเลือดที่ใส่ขดลวด ที่มีความหนาแน่นของจำนวนชีล์ 28 ชีล์ ($d-d'$)



(c) หลอดเลือดที่ใส่ขดลวด ที่มีความหนาแน่นของจำนวนชีล์ 54 ชีล์ ($d-d'$)



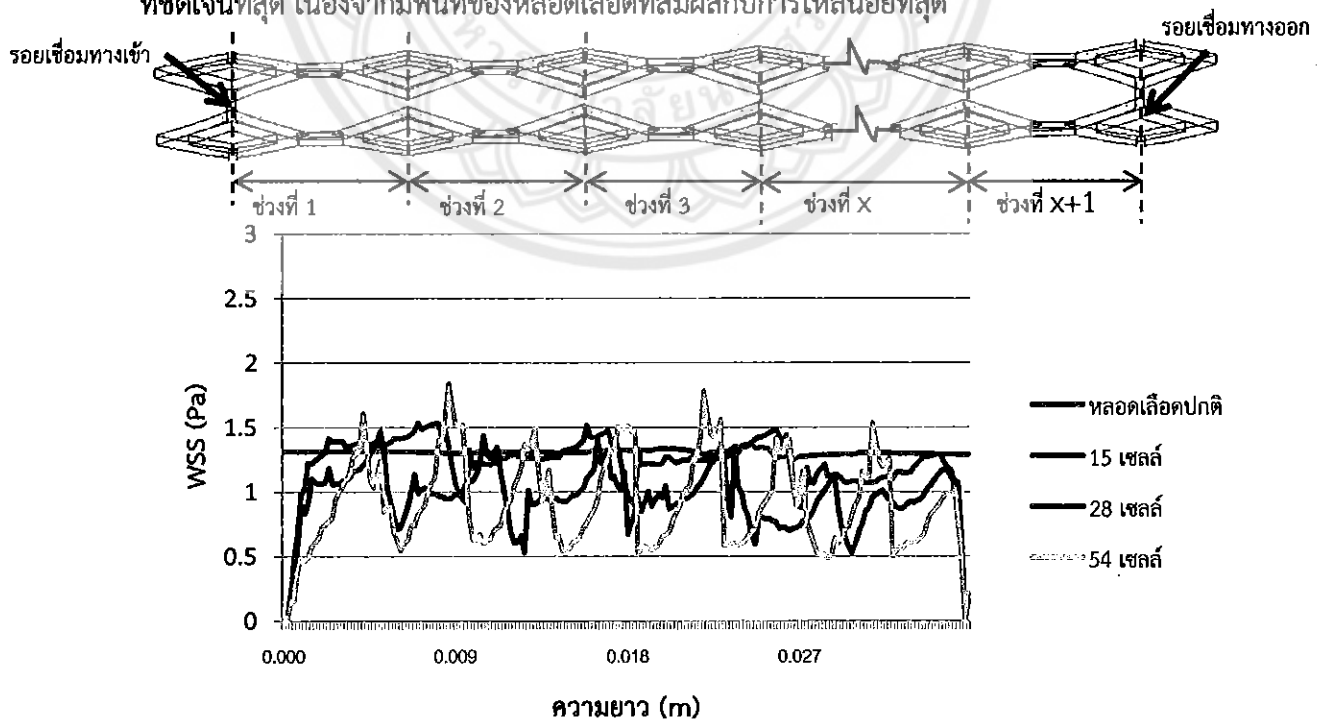
(d) หลอดเลือดที่ไม่ได้ใส่ขดลวด

รูปที่ 5.24 ໂປຣໄຟຄວາມເຮົາງາຍໃນຫລອດເລືອດທີ່ໄສ່ຂດລວດທີ່ຈຳນວນເຊີລ໌ຂອງຂດລວດຕ່າງກັນ
ຕາມເສັ້ນ $d-d'$ ເປົ້າຍບໍ່ເປົ້າຍກັບຫລອດເລືອດປົກຕິ

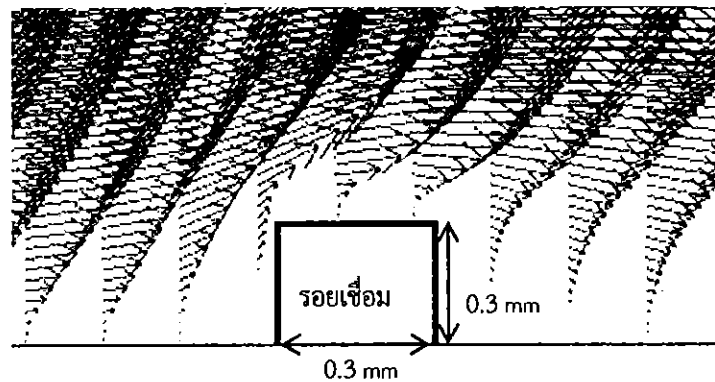
รูปที่ 5.25 แสดงค่าความเค้นเฉือนที่ผนังผ่านเส้น e-e' ผ่านรอยเชื่อมหัวท้าย และบริเวณที่ไม่มีขดลวด (ดูรูปที่ 5.22) พบว่า ค่าความเค้นเฉือนที่ผนังของจำนวนเซลล์ทั้ง 3 มีลักษณะคล้ายคลึงกัน คือ จะให้ค่าความเค้นเฉือนที่ผนังค่อนข้างต่ำ บริเวณพื้นที่ที่เส้นลวดห่างกัน และค่อนข้างสูงขึ้นที่บริเวณเส้นลวดใกล้กัน เนื่องจากพื้นที่การไหลถูกบีบ แต่จะเห็นได้ว่าตำแหน่งของ ค่าความเค้นเฉือนที่ผนัง แตกต่างกันเป็นผลมาจากการวางตัวของขดลวดในแต่ละจำนวนเซลล์นั้นเอง และในบริเวณที่ใกล้กับรอยเชื่อมนี้เอง สังเกตได้ว่าจะเกิด Flow Separation ขึ้น และความหนาแน่นของจำนวนเซลล์ ส่งผลต่อการเกิดความรุนแรงของ Flow Separation ตั้งรูปที่ 5.26 นอกจากนี้ สังเกตได้ว่าขดลวด 15 เซลล์ให้แนวโน้มของค่าความเค้นเฉือนที่ผนังที่เสียรุกกว่าอีก 2 แบบ และขดลวด 54 เซลล์ จะเกิดการแกว่งของข้อมูลค่าเค้นเฉือนที่ผนังพ

พิจารณาบริเวณที่ไม่มีขดลวด ในรูปที่ 5.27 จะให้ค่าความเค้นเฉือนที่ผนังเฉลี่ยประมาณ 0.9, 0.6 และ 0.5 Pa ของจำนวนเซลล์ 15, 28 และ 54 เซลล์ จะเห็นได้ว่าจำนวนเซลล์ 54 เซลล์ จะเกิด Flow Separation ชัดเจนที่สุด

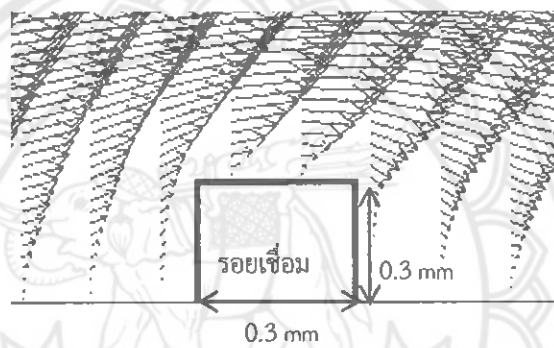
สำหรับบริเวณเส้นขดลวดใกล้กัน ให้ค่าเฉลี่ยความเค้นเฉือนที่ผนังประมาณ 1.5, 1.4 และ 1.7 Pa ของจำนวนเซลล์ 15, 28 และ 54 เซลล์ สังเกตได้ว่าความรุนแรงของ Flow Separation จะขึ้นอยู่กับจำนวนเซลล์ภายในหลอดเลือด ขดลวดที่มีจำนวนเซลล์ 54 เซลล์ จะเกิด Flow Separation ที่ชัดเจนที่สุด เนื่องจากมีพื้นที่ของหลอดเลือดที่สัมผัสกับการไหลน้อยที่สุด



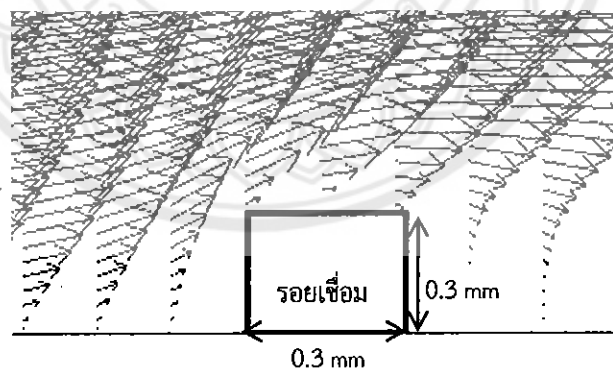
รูปที่ 5.25 ค่าความเค้นเฉือนที่ผนังของหลอดเลือดที่ใส่ขดลวด ที่จำนวนเซลล์ต่าง ๆ ที่ตำแหน่ง e-e'



(a) หลอดเลือดที่ใส่คลวด ที่มีความหนาแน่นของจำนวนเซลล์ 15 เซลล์ (e-e')

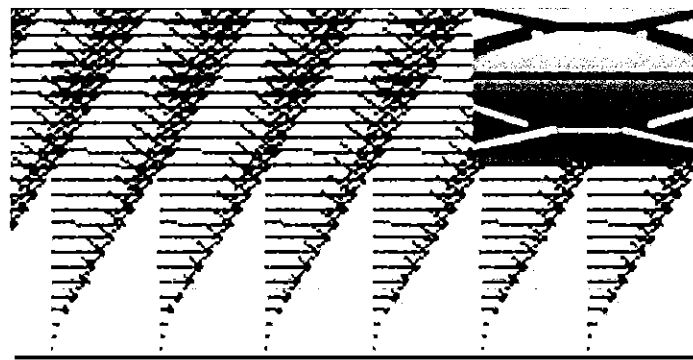


(b) หลอดเลือดที่ใส่คลวด ที่มีความหนาแน่นของจำนวนเซลล์ 28 เซลล์ (e-e')

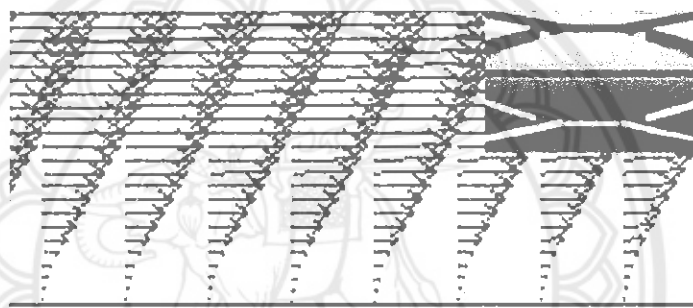


(c) หลอดเลือดที่ใส่คลวด ที่มีความหนาแน่นของจำนวนเซลล์ 54 เซลล์ (e-e')

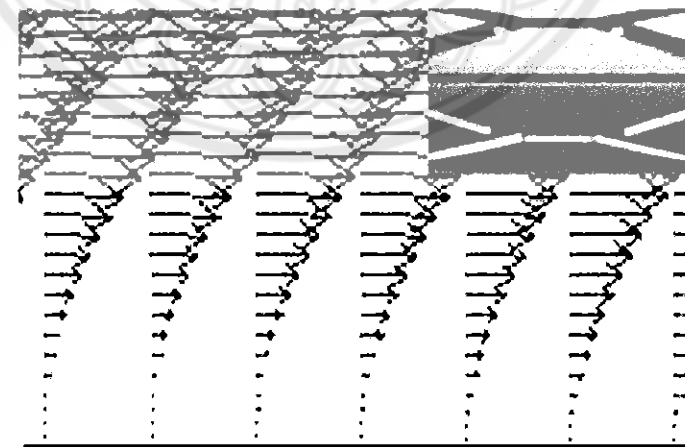
รูปที่ 5.26 ໂປຣີເຟ່ມເຮົວກາຍໃນຫລອດເລືອດທີ່ຈຳນວນເຊັ່ນຕ່າງໆ ຕາມເສັ້ນ e-e' ໂດຍທີ່ຜ່ານຮອຍ
ເຂື້ອມຂອງຂດລວດ



(a) หลอดเลือดที่ใส่ขดลวด ที่มีความหนาแน่นของจำนวนเซลล์ 15 เซลล์ ($e-e'$)

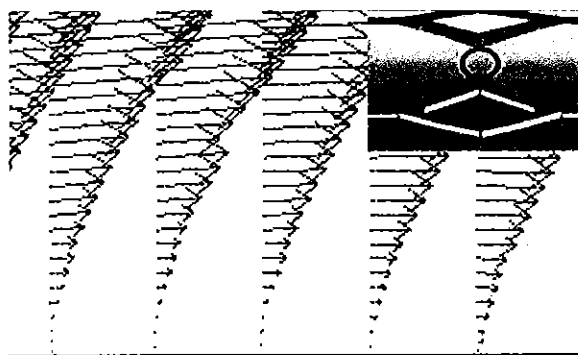


(b) หลอดเลือดที่ใส่ขดลวด ที่มีความหนาแน่นของจำนวนเซลล์ 28 เซลล์ ($e-e'$)

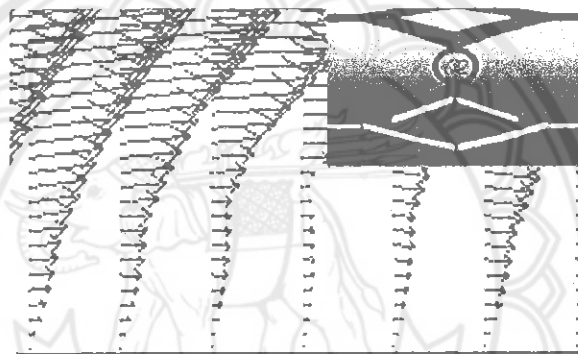


(c) หลอดเลือดที่ใส่ขดลวด ที่มีความหนาแน่นของจำนวนเซลล์ 54 เซลล์ ($e-e'$)

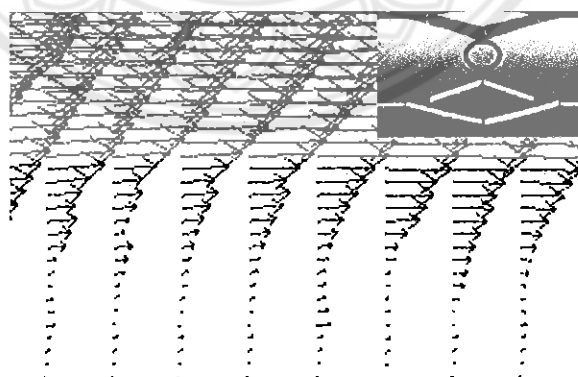
รูปที่ 5.27 ໂປຣໄຟລ໌ຄວາມເຮົວກາຍໃນหลอดເລືອດທີ່ຈຳນວນເຊັລ໌ຕ່າງໆ ຕາມເສັ້ນ $e-e'$ ໂດຍທີ່ຜ່ານບຣິເວນ
ທີ່ໄມ່ມີຂດລວດ



(a) หลอดเลือดที่ใส่ขดลวด ที่มีความหนาแน่นของจำนวนเซลล์ 15 เซลล์ (e-e')



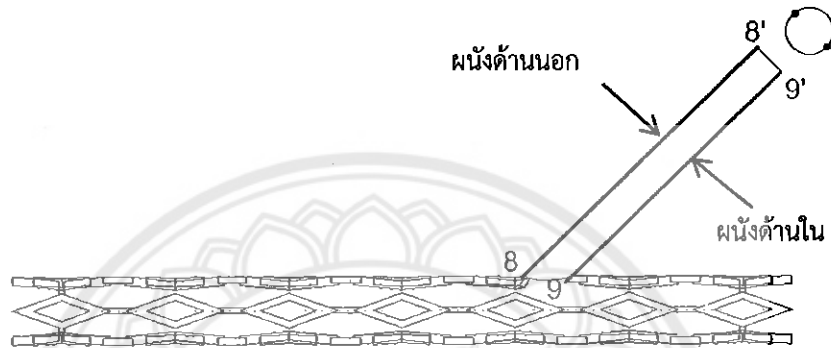
(b) หลอดเลือดที่ใส่ขดลวด ที่มีความหนาแน่นของจำนวนเซลล์ 28 เซลล์ (e-e')



(c) หลอดเลือดที่ใส่ขดลวด ที่มีความหนาแน่นของจำนวนเซลล์ 54 เซลล์ (e-e')

รูปที่ 5.28 PROFILE ความรื้วภายในหลอดเลือดที่จำนวนเซลล์ต่าง ๆ ตามเส้น e-e' โดยที่ผ่านบริเวณ
เส้นลวดไกล์กัน

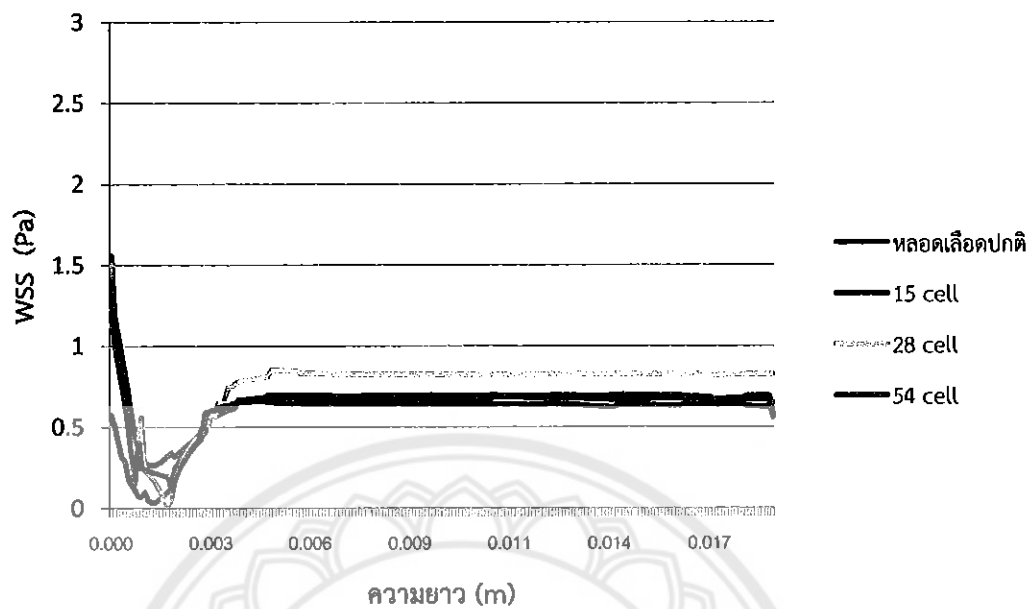
การวิเคราะห์การไหลที่ทางแยกของหลอดเลือดที่ใส่ชุด漉 ที่มีจำนวนเซลล์ของชุด漉ติดกัน ผ่านเส้น 8-8' และเส้น 9-9' โดยที่เส้น 8-8' ผ่านด้านนอกของหลอดเลือดสาขา และเส้น 9-9' ผ่านด้านในของหลอดเลือดสาขา ดังแสดงในรูปที่ 5.29



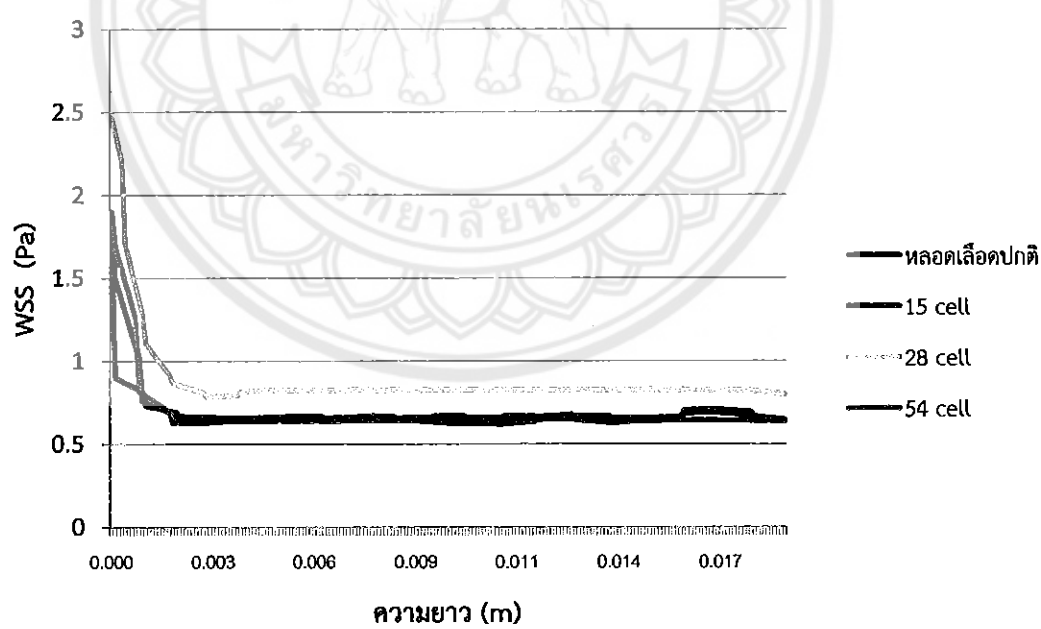
รูปที่ 5.29 ตำแหน่งข้อมูลความเค้นเฉือนที่ผนังที่ทางแยกของหลอดเลือดที่ใส่ชุด漉

รูปที่ 5.30 แสดงค่าความเค้นเฉือนที่ผนังด้านนอกของหลอดเลือดสาขา (8-8') พบว่าที่ทางเข้าของหลอดเลือดสาขา ให้ค่าความเค้นเฉือนที่ผนังแตกต่างกัน คือ 0.5, 1.5 และ 1.4 Pa ของชุด漉ที่มีจำนวนเซลล์ 15, 28 และ 54 เซลล์ ซึ่งค่าความเค้นเฉือนที่ผนังด้านนอกของหลอดเลือดปกติมีค่าเท่ากับ 1.6 Pa หลังจากนั้นค่าความเค้นเฉือนที่ผนังจะต่ำลงเข้าใกล้ศูนย์ที่บริเวณผนังด้านนอกของหลอดเลือดสาขา (0.1-0.3 Pa) เนื่องจากหลอดเลือดสาขาทำมุมเอียง 45° กับหลอดเลือดปกติ ทำให้เกิดแรงเหวี่ยงสู่ศูนย์กลาง (Centrifugal Force) เป็นผลให้ของไหลเกิดการ Skew ไปทางด้านในของหลอดเลือดสาขา ส่งผลให้ค่าความเค้นเฉือนที่ผนังด้านใน (9-9') ของหลอดเลือดสาขาสูงขึ้นถึง 1.7, 2.4 และ 1.8 Pa ตามลำดับ ดังแสดงในรูปที่ 5.31 และเกิด Flow Separation ขึ้นที่ผนังด้านนอกของหลอดเลือดสาขาซึ่งมีผลทำให้ค่าความเค้นเฉือนที่ผนังด้านนอกมีค่าต่ำลง ดังแสดงในรูปที่ 5.32 หลังจากที่ของไหลไปผ่านพื้นบริเวณทางแยกแล้ว ค่าความเค้นเฉือนที่ผนัง มีค่าใกล้เคียงกันอยู่ที่ประมาณ 0.7-0.8 Pa

สังเกตได้ว่าค่าความเค้นเฉือนที่ผนังของชุด漉ที่มีจำนวน 28 เซลล์ มีค่าสูงกว่าอีกสองกรณี อาจเป็นเพราะ การวางแผนตัวของชุด漉ก่อนทางเข้าของหลอดเลือดสาขาโดยที่ชุด漉ไปเกิดขวางการไหลเข้าสู่หลอดเลือดสาขา ดังแสดงในรูปที่ 5.33

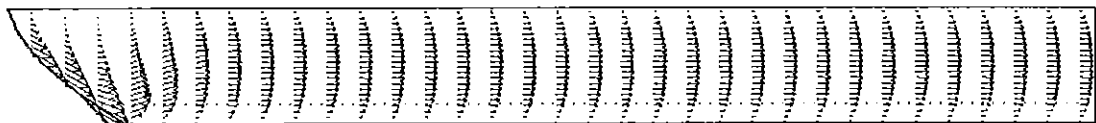


รูปที่ 5.30 ค่าความเค้นเฉือนที่ผนังของหลอดเลือดสาขา ที่หน้าตัด 8-8'



รูปที่ 5.31 ค่าความเค้นเฉือนที่ผนังของหลอดเลือดสาขา ที่หน้าตัด 9-9'

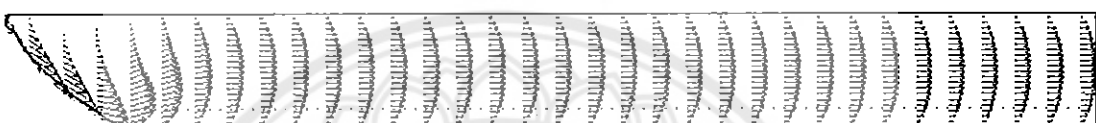
ด้านนอกหลอดเลือดสาขา



ด้านในหลอดเลือดสาขา

(a) บริเวณทางแยกหลอดเลือดสาขาที่มีจำนวนเซลล์ 15 เซลล์

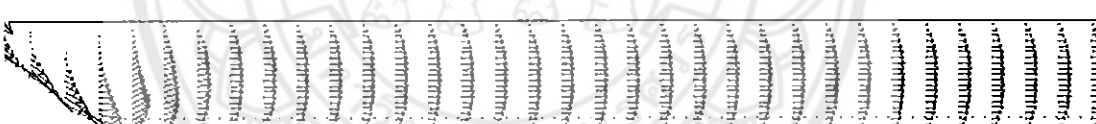
ด้านนอกหลอดเลือดสาขา



ด้านในหลอดเลือดสาขา

(b) บริเวณทางแยกหลอดเลือดสาขาที่มีจำนวนเซลล์ 28 เซลล์

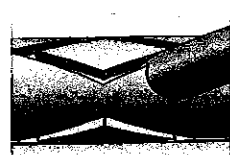
ด้านนอกหลอดเลือดสาขา



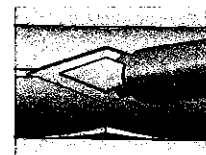
ด้านในหลอดเลือดสาขา

(c) บริเวณทางแยกหลอดเลือดสาขาที่มีจำนวนเซลล์ 54 เซลล์

รูปที่ 5.32 ໂປຣີເພື່ອຄວາມເງິນຫາໃນຫດລວດທີ່ໄສ່ຂະລວດ



จำนวน 15 เซลล์



จำนวน 28 เซลล์



จำนวน 54 เซลล์

รูปที่ 5.33 ກາຮວາງຕ້າວຂອງຂດລວດກ່ອນທາງເຂົາຫດລວດເລືອດສາຂາທີ່ຈຳນວນເສດລ໌ຕ່າງໆ

สำหรับการไหลผ่านหลอดเลือดที่ใส่ชุด漉ที่มีจำนวนเซลล์ 15, 28 และ 54 เซลล์ สังเกตได้ว่าชุด漉ที่มีจำนวนเซลล์ 54 เซลล์ ให้พื้นที่ภายในชุด漉น้อยกว่าชุด漉อีก 2 แบบ และพื้นที่ของหลอดเลือดที่สัมผัสกับการไหลมีค่าน้อยกว่าชุด漉อีก 2 แบบ ทำให้มีระยะในการไหลที่จะปรับตัวสู่ภาวะปกติน้อยกว่า ส่งผลให้ชุด漉ที่มีจำนวนเซลล์ 54 เซลล์ เกิด Flow Separation และ Back Flow ที่ชัดเจนที่สุด เมื่อเทียบกับชุด漉อีก 2 แบบ และค่าความเค้นเฉือนที่ผนังมีค่าต่ำเข้าสู่ 0 สำหรับเส้น d-d' ในรูปที่ 5.21

สรุปผลกระทบของความหนาแน่นของจำนวนเซลล์ของชุด漉

เมื่อพิจารณาผลกระทบของความหนาแน่นของจำนวนเซลล์ของชุด漉ที่มีต่อค่าความเค้นเฉือนที่ผนังของหลอดเลือดเยกสองข้างที่ใส่ชุด漉จำนวนเซลล์ 15, 28 และ 54 เซลล์ พบร่วมชุด漉ที่มีจำนวนเซลล์ 15 เซลล์ให้ค่าความเค้นเฉือนที่ผนังใกล้เคียงกับหลอดเลือดปกติมากที่สุด และมีการแกว่งขึ้นลงของข้อมูลน้อยที่สุด เนื่องจากชุด漉ที่มีจำนวนเซลล์ 15 เซลล์ มีการวางแผนตัวของชุด漉ที่มีความหนาแน่นน้อยกว่าอีก 2 แบบ ทำให้มีอุปสรรคที่มาขัดขวางการไหลของของไอลน้อยกว่า จึงทำให้ค่าความเค้นเฉือนที่ผนังเกิดการแกว่งน้อยกว่า และมีพื้นที่ภายในเซลล์ของชุด漉มากกว่าอีก 2 แบบ ทำให้ของไอลมีพื้นที่ในการปรับตัวให้เข้าสู่ภาวะปกติมากกว่า จึงทำให้มีค่าความเค้นเฉือนที่ผนังใกล้เคียงกับหลอดเลือดปกติมากที่สุด

บทที่ 6

สรุปผลการคำนวณ

การศึกษาเชิงตัวเลขของการไหลของเลือดผ่านชุด漉วท์ที่ใส่ในหลอดเลือดเยกสองชั้นแบบ One-Stent Technique ที่สภาวะการไหลคงที่ โดยพิจารณาผลของความหนาของ漉วท์ 0.3, 0.4 และ 0.5 mm และผลของจำนวนเซลล์ของชุด漉วท์ 15, 28 และ 54 เซลล์ ในรูปของค่าความเค้นเฉือนที่ผนัง และรูปแบบการไหล สามารถสรุปได้ดังนี้

1. เมื่อพิจารณาค่าความเค้นเฉือนที่ผนังของหลอดเลือดเยกสองชั้นที่ใส่ชุด漉วท์ ที่มีจำนวนเซลล์เท่ากันคือ 28 เซลล์ แต่มีความหนาของชุด漉วท์ต่างกันคือ 0.3, 0.4 และ 0.5 mm พบร้า ค่าความเค้นเฉือนที่ผนังของชุด漉วท์หั้ง 3 มีรูปแบบคล้ายคลึงกัน ชุด漉วท์ที่มีความหนา 0.3 mm ให้ค่าไกล์เคียงกับค่าความเค้นเฉือนที่ผนังของหลอดเลือดปกติ (0.5-1.5 Pa) มากที่สุด กล่าวคือ ความหนาของชุด漉วท์จะส่งผลต่อค่าความเค้นเฉือนที่ผนัง ยิ่งชุด漉วท์มีความหนามากเท่าไร จะครอบคลุมพื้นที่ของผนังหลอดเลือด ทำให้มีพื้นที่ของผนังหลอดเลือดที่สัมผัสกับการไหลน้อยลงเท่านั้น ของไหลจึงมีพื้นที่ในการปรับตัวให้เข้าสู่สภาวะปกติน้อยลงไปด้วย ทำให้ค่าความเค้นเฉือนที่ผนังมีค่าน้อย

2. เมื่อพิจารณาค่าความเค้นเฉือนที่ผนังของหลอดเลือดเยกสองชั้นที่ใส่ชุด漉วท์ ที่มีความหนาของชุด漉วท์เท่ากันคือ 0.4 mm แต่มีความหนาแน่นของจำนวนเซลล์ต่างกันคือ 15, 28 และ 54 เซลล์ พบร้า ค่าความเค้นเฉือนที่ผนังของชุด漉วท์หั้ง 3 มีแนวโน้มไปในทิศทางเดียวกัน แต่ชุด漉วท์ที่มีจำนวนเซลล์ 15 เซลล์ ให้ค่าไกล์เคียงกับค่าความเค้นเฉือนที่ผนังของหลอดเลือดปกติมากที่สุด กล่าวคือ ชุด漉วท์ที่มีจำนวนเซลล์มาก ๆ เช่น 54 เซลล์ จะมีระยะ跚ยในชุด漉วท์น้อยลง เป็นผลให้การไหลภายในเซลล์ปรับตัวไม่ทันเพื่อที่จะเข้าสู่สภาวะปกติ (0.5-1.5 Pa) และเกิด Flow Separation และ Back Flow ทั่วพื้นที่ที่สัมผัสกับการไหลภายในเซลล์ของชุด漉วท์

3. เมื่อพิจารณาค่าความเค้นเฉือนที่ผนังของหลอดเลือดสาขา พบร้าให้ค่าความเค้นเฉือนที่ผนังสูงที่บริเวณเริ่มต้นทางแยกของผนังด้านในของหลอดเลือดสาขา เนื่องจากหลอดเลือดสาขาทำมุมเอียง 45° กับหลอดเลือดปกติ ทำให้เกิดแรงเหวี่ยงสูญญากาศ (Centrifugal Force) เป็นผลให้ของไหลเกิดการ Skew ไปทางด้านในของหลอดเลือดสาขา และบริเวณเริ่มต้นทางแยกของผนังด้านนอกเกิด Flow Separation ส่งผลให้ค่าความเค้นเฉือนที่ผนังลดลงอย่างรวดเร็วและมีค่าเข้าไกล์ 0 Pa

4. เมื่อทำการพิจารณาค่าความเค้นเฉือนที่ผนังที่สภาวะปกติ เปรียบเทียบกับค่าความเค้นเฉือนที่ผนังของหลอดเลือดเยกสองชั้นที่ใส่ชุด漉วท์ พบร้า บริเวณที่ไกล์กับชุด漉วท์และรอยเชื่อมหัวท้ายของชุด漉วท์ ให้ค่าความเค้นเฉือนที่ผนังต่ำกว่า 0.5 Pa บริเวณเริ่มต้นทางแยกของผนังด้านในของ

หลอดเลือดสาขาและบริเวณที่เส้นขด漉วต์ใกล้กัน ให้ค่าความเค้นเฉือนที่ผนังมากกว่า 1.5 Pa ค่าความเค้นเฉือนที่ผนังจะส่งผลโดยตรงต่อเซลล์เยื่อบุผิวของผนังหลอดเลือดที่สัมผัสกับการไหล กล่าวคือ ค่าความเค้นเฉือนที่ผนังต่ำกว่า 0.5 Pa Endothelial Cell จะเกิดการแบ่งตัวและทำให้มีแนวโน้มของ การกลับมาตีบอีกครั้งของหลอดเลือดและเมื่อค่าความเค้นเฉือนที่ผนังมีค่ามากกว่าหรือเท่ากับ 1.5 Pa Endothelial Cell จะผลิตไนตริกออกไซด์ (NO) โดยไนตริกออกไซด์จะเป็นตัวยับยั้งการเจริญเติบโต ของเซลล์เยื่อบุผิว จึงทำให้บริเวณดังกล่าว มีแนวโน้มว่าจะเกิดการกลับมาตีบอีกครั้งของหลอดเลือด [8]

ข้อเสนอแนะ

จากรูปผลการทดลองที่กล่าวมาข้างต้น ขด漉วต์ที่มีความหนาน้อยและมีจำนวนเซลล์ของ ขด漉วน้อย ทำให้มีค่าความเค้นเฉือนที่ผนังใกล้เคียงกับหลอดเลือดปกติมากที่สุด และจากการศึกษา ในครั้งนี้ มีการจัดการเรียนตัวของขด漉วต์แบบ One-Stent Technique และรูปแบบของขด漉วต์เป็น แบบสี่เหลี่ยมขนมเปียกปูน เพียงอย่างเดียว หากมีการศึกษาการเรียนตัวของขด漉วต์และรูปแบบของ ขด漉วต์เป็นไปตามเทคนิคอื่น ๆ ก็จะให้ข้อมูลเกี่ยวกับรูปแบบของความเค้นเฉือนที่ผนังและรูปแบบ การไหล

เอกสารอ้างอิง

- [1] Price, M.J., *Coronary Stenting: A Companion to Topol's Textbook of Interventional Cardiology*
- [2] วสันต์ อุทัณณเดลีม. (1กรกฎาคม 2553). การขยายหลอดเลือดด้วยการใช้บอลลูน. สืบค้นจาก http://www.ram-hosp.co.th/balloon_n.html, สืบค้นเมื่อ 5 พฤษภาคม 2557
- [3] สุรพงษ์ จำพันวงศ์. ม.ป.ป. เส้นเลือดหัวใจตีบ...การรักษาอะไรที่เหมาะสมที่สุด. สืบค้นจาก http://www.phyathai.com/medicalcenterdetail_article/1/41/pyt2/th, สืบค้นวันที่ 5 พฤษภาคม 2557
- [4] Truskey, George A., Fan Yuan and Katz, David F, 2008, *Transport Phenomena in biological System*, 2nd Edition, Prentice Hall.
- [5] White, F.M., 1994, *Fluid Mechanics*, 4 Th Edition, McGraw-Hill.
- [6] Gijzen, F.J.H., van de Vosse, F.N. and Janssen, J.D., 1999, "The influence of the non-Newtonian properties of blood on the flow in large arteries: steady flow in a carotid bifurcation model", *Journal of Biomechanics* 32, 601-608.
- [7] Gijzen, F.J.H., Allanic, E., van de Vosse, F.N., Janssen, J.D., 1999, "The influence of the non-Newtonian properties of blood on the flow in large arteries: unsteady flow in a 90° curved tube", *Journal of Biomechanics* 32, 705-713.
- [8] Bernard, N., Coisne, D., Donat, E and Perrault, R., 2003., "Experimental study of laminar blood flow through an artery treated by a stent implantation: characterization of intra-stent wall shear stress", *Journal of Biomechanics* 36, 991-998.

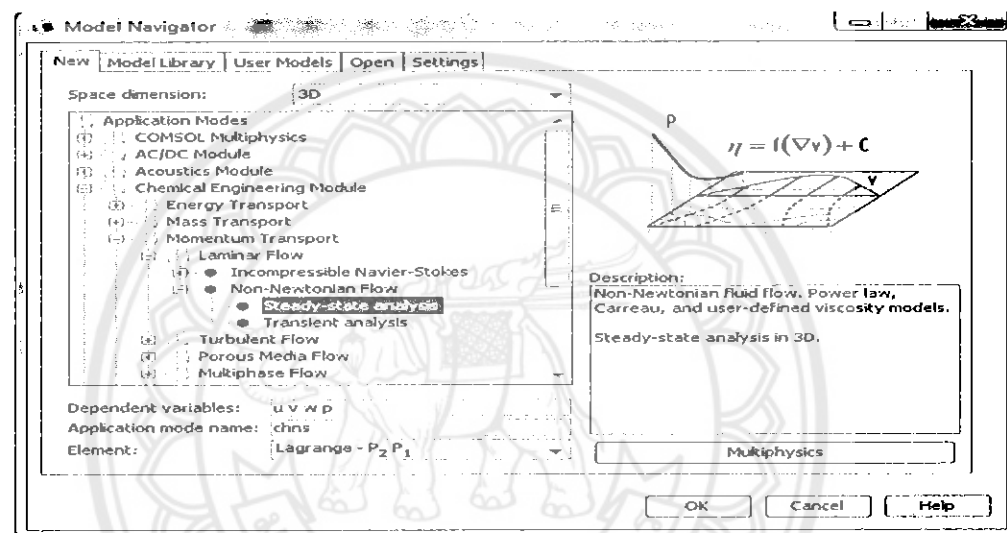


ภาควิชานวัตกรรม

การ Import file การสร้างเมชและการคำนวณในโปรแกรม COMSOL

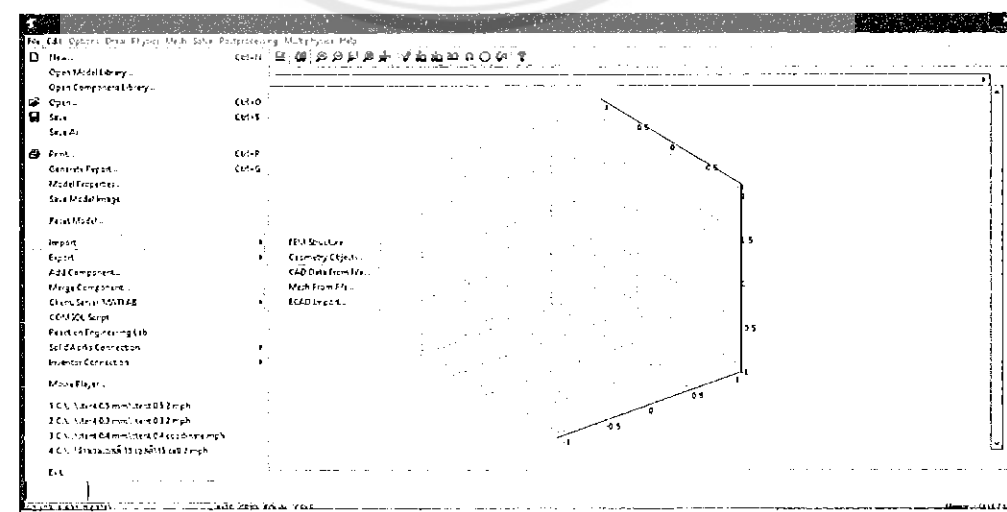
1. การ Import file เข้า COMSOL

1.1 เปิดโปรแกรม COMSOL เลือกค่าต่าง ๆ ดังนี้ ที่คำสั่ง Space dimension เลือก 3D หลังจากนั้นเลือก Chemical Engineering Module เลือก Momentum Transport เลือก Laminar Flow เนื่องจากเป็นการไหลแบบรูปเรียบและเลือก Non-Newtonian Flow จากนั้นเลือก Steady-state analysis สำหรับสภาพการไหลแบบคงที่ และเลือกคำสั่ง OK



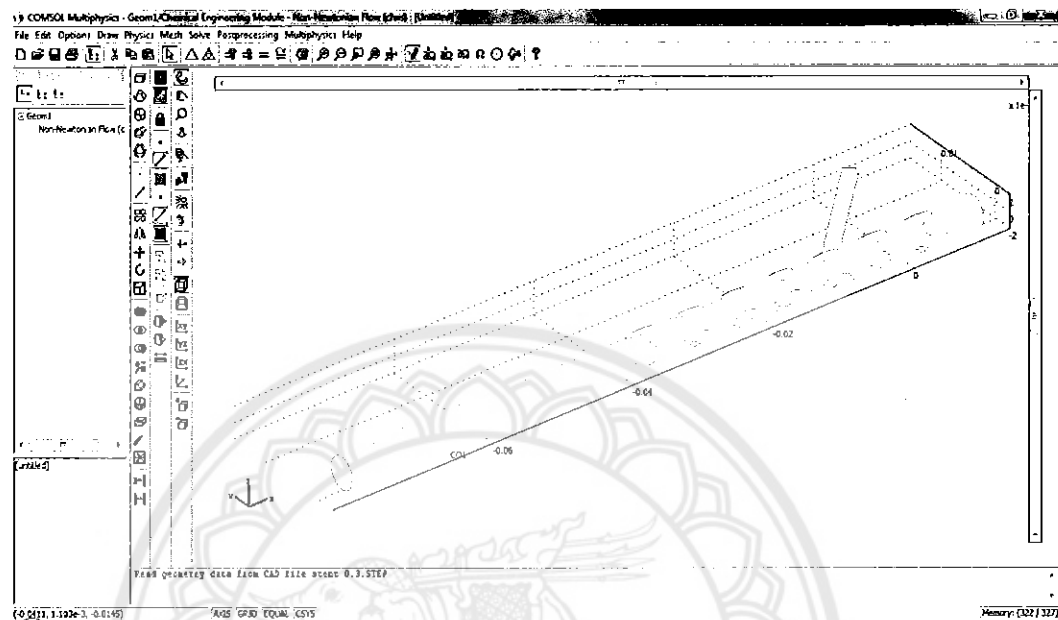
รูปที่ ก.1 การเข้าโปรแกรม COMSOL

1.2 หลังจากนั้นทำการ Import File แบบจำลองของหลอดเลือดเข้าสู่โปรแกรม COMSOL โดยไปที่คำสั่ง File เลือก Import และเลือก CAD Data From File



รูปที่ ก.2 การ Import file เข้า COMSOL

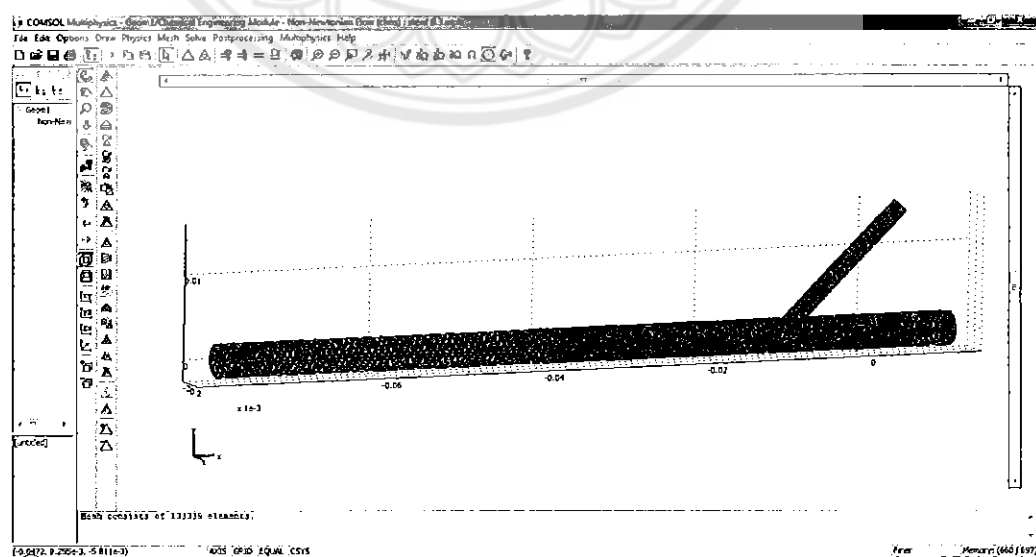
1.3 เลือกไฟล์ที่เชื่อมโยงจากโปรแกรม Solid Work (ไฟล์นามสกุล .STEP AP203) และจะได้ไฟล์ที่จะใช้ในการคำนวณด้วยระบบเชิงวิเคราะห์ทางไฟในตัวอิเล็กทรอนิกส์ต่อไป



รูปที่ ก.3 การแสดงแบบจำลองที่ Import file เข้า COMSOL

2. การสร้างメช

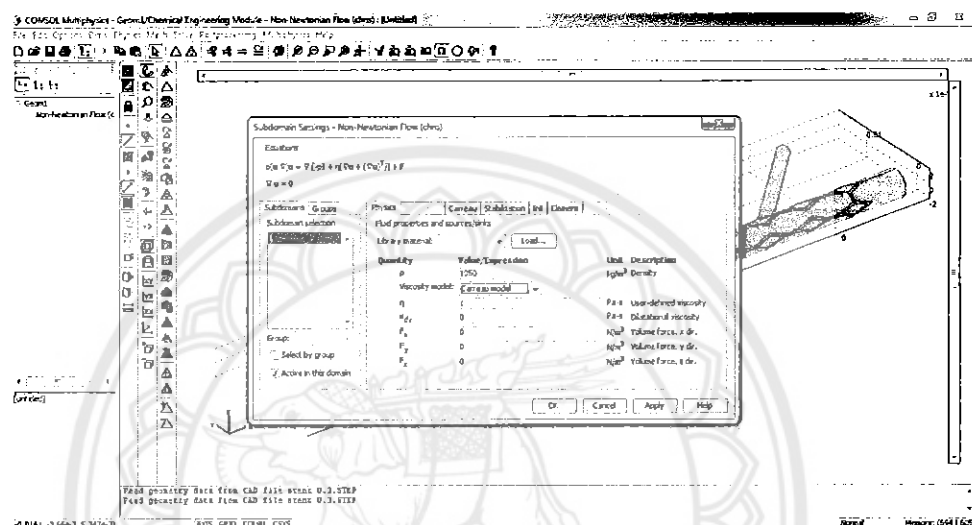
เมื่อนำไฟล์เข้าโปรแกรม COMSOL เสร็จแล้ว จึงทำการสร้างเมชโดยการคลิกที่ปุ่มคำสั่ง Mesh และเลือก Initialize Mesh หรือคำสั่งที่มีสัญลักษณ์เป็นรูปสามเหลี่ยม



รูปที่ ก.4 แบบจำลองที่มีการสร้างเมช

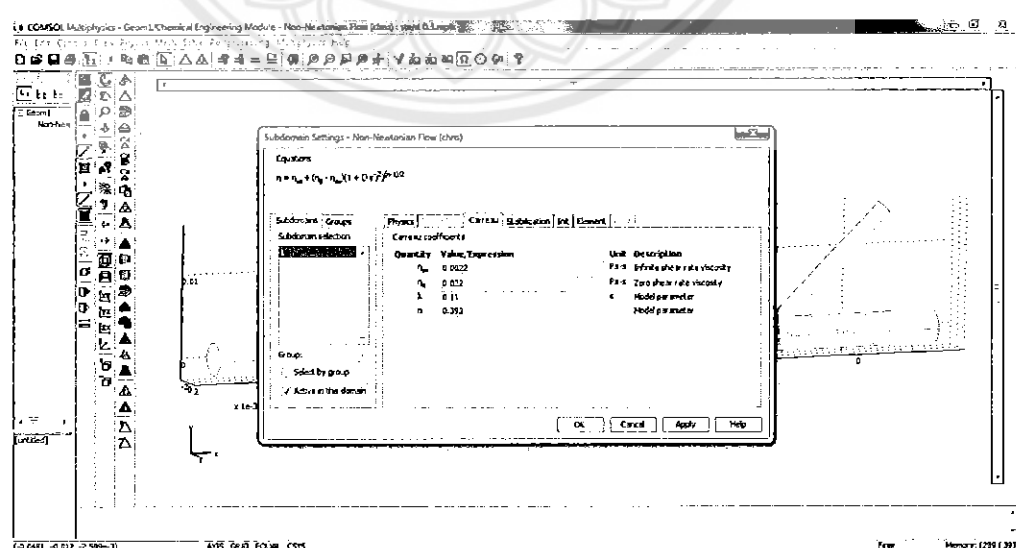
3. วิธีการคำนวณใน COMSOL

3.1 หลังจากที่ได้ทำการ Import File เข้าสู่โปรแกรม COMSOL เป็นที่เรียบร้อยแล้ว ต่อไปจะเป็นการกำหนดค่าสมบัติทางกายภาพของการคำนวณที่ແ已被เมนู เลือก Physics → Subdomain Setting → ในช่อง Physics ใส่ค่าต่าง ๆ ดังนี้ Subdomain Selection เลือก 1 , Viscosity model เลือก Carreau model , $\rho = 1050 \text{ kg/m}^3$



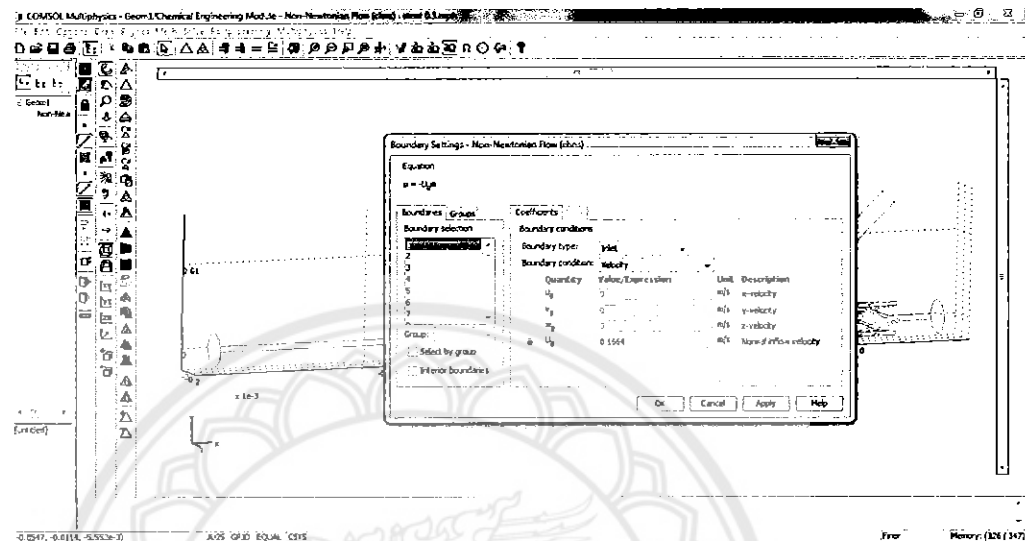
รูปที่ ก.5 วิธีคำนวณข้อมูลใน COMSOL

3.2 คลิกในช่อง Careau ใส่ค่าต่าง ๆ ดังนี้ $\eta_\infty = 0.0022 \text{ Pa.s}$, $\eta_0 = 0.022 \text{ Pa.s}$, $\lambda = 0.11$, $n = 0.392$ และคลิก OK ตามรูป



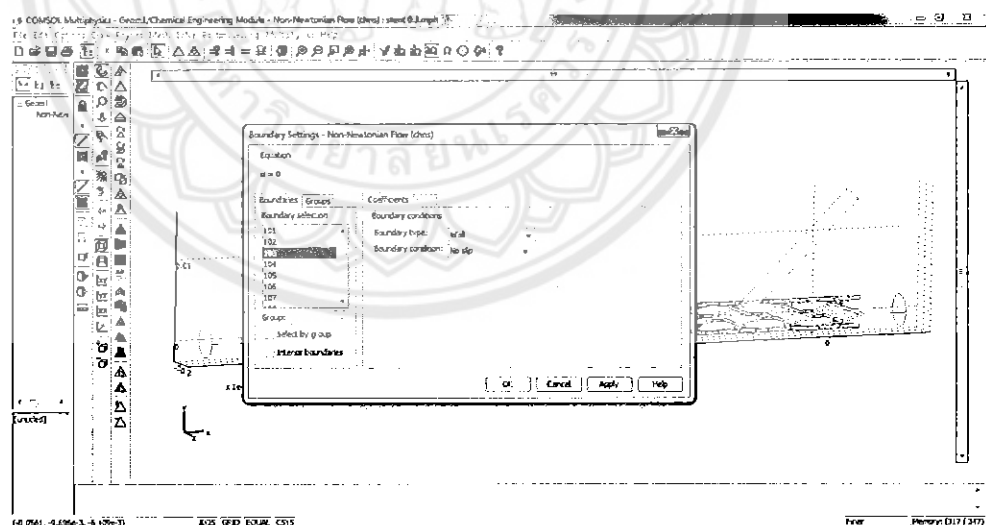
รูปที่ ก.6 วิธีคำนวณข้อมูลใน COMSOL เมื่อใส่ค่า

3.3 ต่อไปทำการกำหนด Boundary ของหลอดเลือด เลือกคำสั่ง Physics → Boundary Setting ตำแหน่งที่ 1 กำหนดให้เป็นพื้นที่ขาเข้าเลือด = 0.1664 m/s



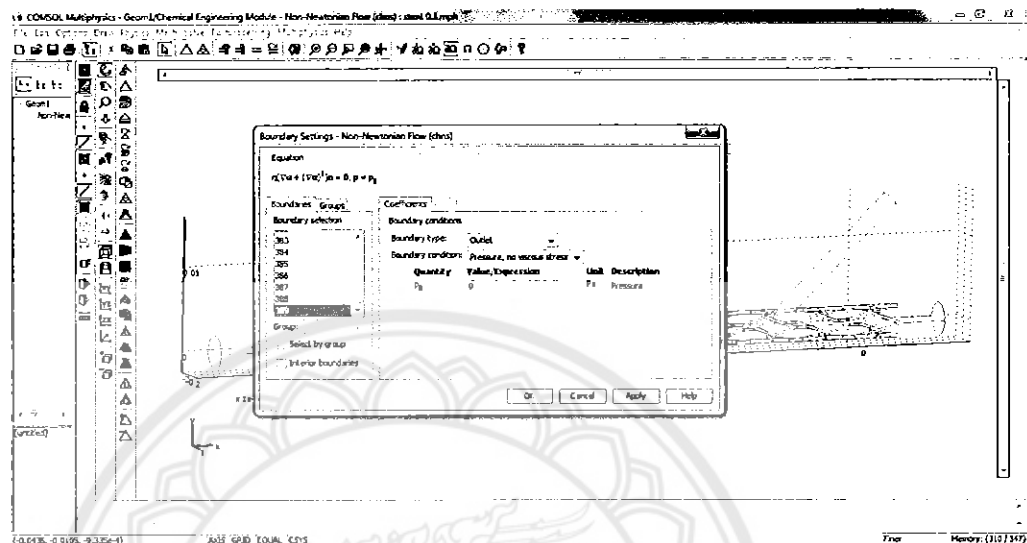
รูปที่ ก.7 หน้าต่างการกำหนดพื้นผิวของแบบจำลอง

3.4 ตำแหน่งอื่นที่เป็นผนังของหลอดเลือดกำหนดให้เป็น Wall และ No Slip Condition



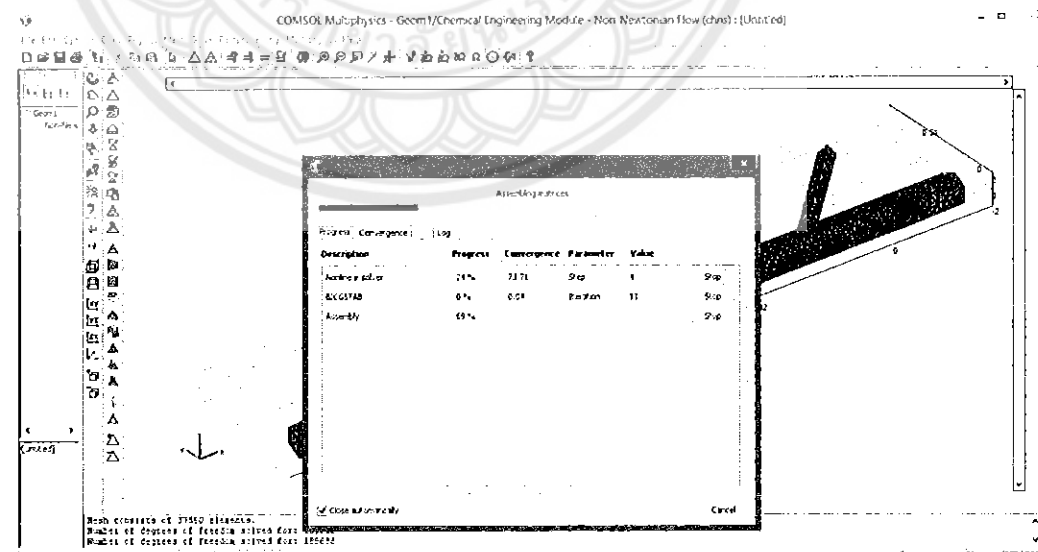
รูปที่ ก.8 ตำแหน่งใดๆ ของผนังหลอดเลือด

3.5 ตำแหน่งที่เป็นทางออกของหลอดเลือดทั้งสองแขนง กำหนดให้เป็น No viscous stress และความดันเกจเท่ากับศูนย์



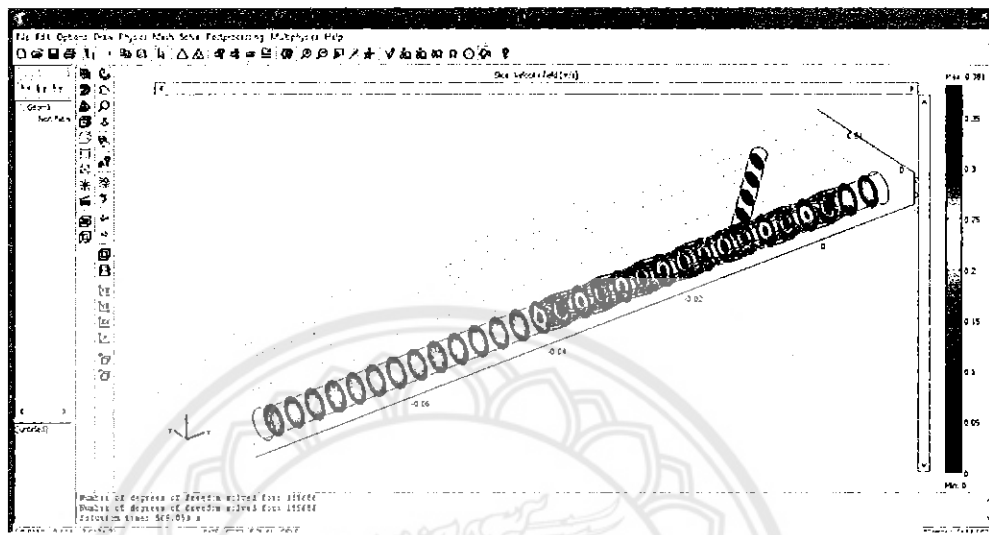
รูปที่ ก.9 ตำแหน่งทางออกของหลอดเลือดหลัก

3.6 จากนั้นรันโปรแกรมโดยคลิกปุ่มคำสั่ง Solve ต่อด้วย Solve Problem หรือคำสั่งคำสั่งที่มีสัญลักษณ์เป้าเครื่องหมายเท่ากับ แล้วจะมีหน้าต่างขึ้นมาเพื่อให้ทราบถึงความคืบหน้าของการคำนวณ ทั้งนี้ระยะเวลาในการคำนวณขึ้นอยู่กับจำนวน Mesh และความซับซ้อนของตำแหน่ง



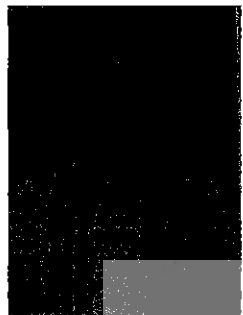
รูปที่ ก.10 หน้าต่างแสดงความคืบหน้าของการคำนวณ

3.8 เมื่อกำนัณเสร็จแล้วหน้าต่างการคำนวณจะหายไปและแบบจำลองที่เราคำนวณจะมีผลการคำนวณในรูปแบบต่าง ๆ ที่เรากำหนด ในรูปจะเป็นการแสดง Slice Olot



รูปที่ ก.11 ผลการคำนวณแบบจำลองของโปรแกรม COMSOL

ประวัติผู้ดำเนินโครงการ



ชื่อ/สกุล : นายมนต์ชัย คงสุจริต
เกิดเมื่อ : 13 มิถุนายน พ.ศ. 2535
ภูมิลำเนา : 170/7 หมู่ 2 ตำบลบ้านคลอง อำเภอเมือง จังหวัดพิษณุโลก 65000
การศึกษา : สำเร็จการศึกษาระดับมัธยมศึกษาตอนปลายจากโรงเรียนพิษณุโลกพิทยาคม อ.เมือง จ.พิษณุโลก 65000
E-mail : Kbs2_nk@hotmail.com